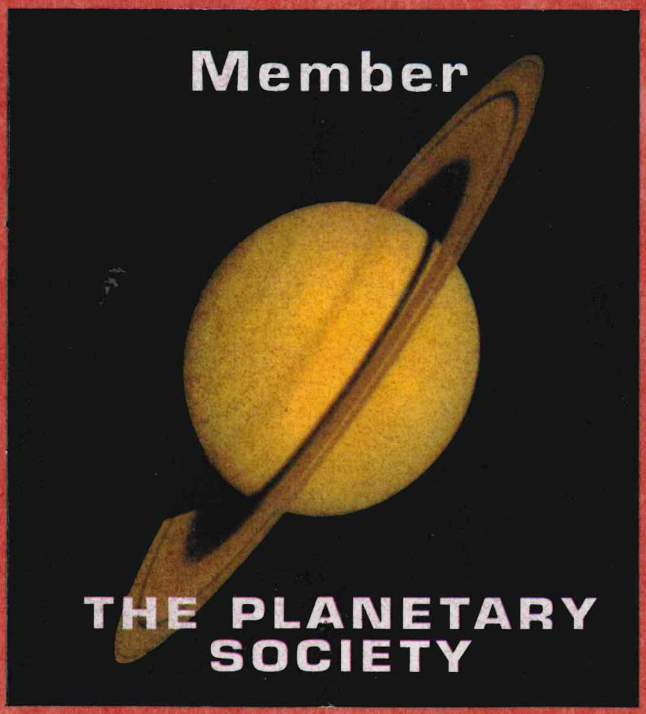
OSSERVAZIONI



S. Cortesi

Specchio 6" (150 mm)

- 1952 -

1ª oss. Giove: 8 sett. '52 ore 04[30]



---

13 sett. 52 ore 23 (Terrasso a nord):



---

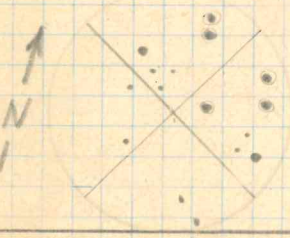
20 sett. ore 21: oss. neb. M57 (Lambore Lyrae):

spazio interno non molto nero: aspetto confuso

---

20 sett. ore 23: oss. neb NGC 6853 M 27 (Dumbell)

direzione occhio mondo: (Frecce)



Campo cercheur 7x

Condizioni poco buone (rem.)

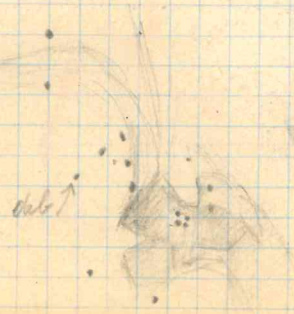
---

21 sett. ore 04[30] ☁ Cattive oss. forte vento (rem.

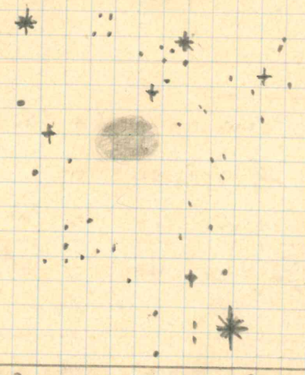
20-24 sett. ore 05[00]: neb. Orionis

oss. dbl 52 Orionis:

e tratti nett. sdopp. (1".5

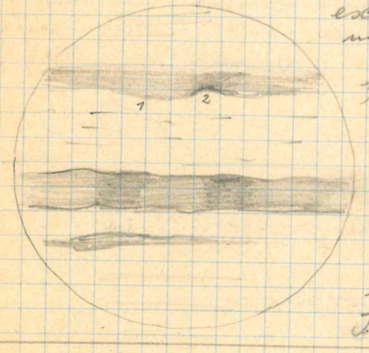


23 sett. ore 21 neb. Dumbbell (Nubécola)



Ingrandim. 70× e 190×
campo stellare (stelle fino alla ? (13) grand.

24 sett. ore 03^{30} – 04^{10} : ♆. Condizioni buone (medie) dalle 03^{30} alle 03^{50}, pochi remous distanziati; l'imm. del disco si vede chiaramente per ~ 10 sec. di seguito. Dopo le 04^{00} cond. meno buone (legg. vento). Immagine extrafoc.: a tratti forti ondulaz., in genere medie, roram. piccole



1) ingrossam. colore molto debole. 2) stringim. sup. memorizz.
2 zone più scure
zone chiare
bande scure

Impressione: bande scure più basse delle zone chiare
Ingrandim. 190 (Imm. 3)

7 ott. '52 ore 22^{15} – 22^{45} (Imm. 5)



ombre sat. 4?
eclisse sat. 3?
nebbia alta

Condiz. mediocri
remous medi +

11 e 12 ott. ore 06^{00} e 04^{30} : condiz. orribili: forti onde (Imm. 8)

14 ott. ore 21^{3} – 22 - Tempo calmo, nebbia bassa + legg. velo alto (e tratti) ε' ε'' Eyrac diff.^{e} sdoppi (Imm. 5)



zone scure

♆: bordo ondulato; imm. mediocri

16 ott. ore 23^{30} – 24^{00}. Condizioni: remous normali, poi per 1-2^{s} imm. nettissima e satelliti dischetti molto fermi (troppo brevi i momenti favorevoli per uno studio fine) (Imm 4)

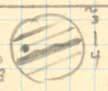


12 nov. '52 - ore 23 - 23^{40}: condiz. medie (buone) fino alle 23^{30}



N^{i} in ordine d'importanza.
NB Occhio non ancora educato. (Imm 3)

15 nov. - ore 21^{30} – 22



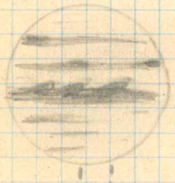
a proies. sat. (4 o 5?) emersione ore 21^{54} (Imm. 4)

24-25 nov. ore 24^{00} – 00^{40}; Cond. buone; imm. nett. ~ 1-2^{m}, poi legg. variazioni: ondulazioni ecc.



(ore 0^{00}) (ore 0^{30}) (Imm 3)
Macchie rosse: nessuna traccia
NB Occhio non ancora educato. J 190 e 280

26 nov. ore 21^{30}: Cond. buone imm. nett. ~ 10^{sec} poi si confonde per ca 2-3^{s}. Nonostante le continue ondulaz. del bordo l'occhio si adatta bene alla visione delle particolarità:



Obbiettivo 6". Ingr. 190× e 280× (meno buono)
poi un po' esagerat.
NB. Rotaz. da pos. 1-2 ca ½^{h}
macchie rosse: invisibile (Imm. 3)

28 nov. ore 22^{30} Condiz. mediocri: remous abb. forti con ondulaz. continue, poi improvv. condiz. medie con imm. buone per 10^{s}.



NB. I satelliti sono sempre circondati da un pieca- alone (nebbia) di luce che dalle fasce arriva fino a 24^{h} e 28^{h}
J 190× e 280× (piena) (Imm. 4)
A partire dalle 23^{40} condiz. pessime (legg. vento) (52 oscillaz. diff. sdoppi)

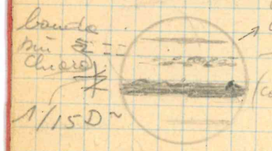
(24) Giove Rotazioni sistema II (zone temperate sud; macchie r.)

N° 1	rotaz. =	$9^h\ 55^m\ 40^s$
2		$19^h\ 51^m\ 20^s$
3		$1^g\ 5^h\ 47^m\ 00^s$
4		$1^g\ 15^h\ 42^m\ 40^s$
5		$2^g\ 1^h\ 38^m\ 20^s$
6		$2^g\ 11^h\ 34^m\ 00^s$
7		$2^g\ 21^h\ 29^m\ 40^s$
8		$3^g\ 7^h\ 25^m\ 20^s$
9		$3^g\ 17^h\ 21^m\ 00^s$
10		$4^g\ 3^h\ 16^m\ 40^s$
20		$8^g\ 6^h\ 33^m\ 20^s$
30		$12^g\ 9^h\ 50^m\ 00^s$
40		$16^g\ 13^h\ 6^m\ 40^s$
50		$20^g\ 16^h\ 23^m\ 20^s$
100		$41^g\ 8^h\ 46^m\ 40^s$

Ciclo di 12g circa (limite indet.)
precisione ± 10m:

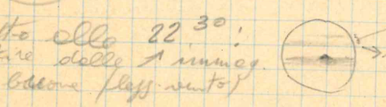
Medesimo aspetto dopo:
1 giorno 4h 8m prima
→ 2 giorni . 1h 40m dopo (5 r.)
3 " . 2h 30m prima (7 r.)
4 " . 3h 15m dopo (10 r.)
5 " . 1h 00m prima (12 r.)
7 " . 0h 45m dopo (17 r.)
8 " . 3h 30m prima (19 r.)
9 " . 2h 20m dopo (22 r.)
10 " . 1h 45m prima (24 r.)
12 " . 0h 00m — (29 r.)
→ 4 " . 1h 30m dopo (34 r.)
ecc. ecc.

2.XII ore ~21 : Condiz. normali a intervalli: molto buone (ore 22: filiforme)



coroll. remous; dischet. sott. e hell. vibrons per la sovrapposizione per un attimo

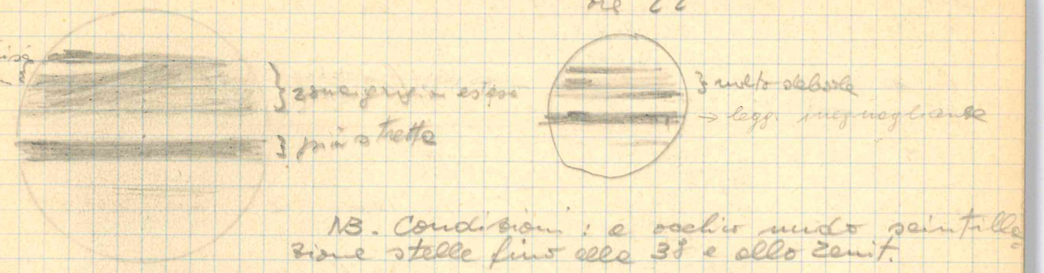
aspetto alle 22 30: a partire dalle ↑ immag. meno buone (leggermente)



Ingr. ottico 190×

Imm. 2

5.XII.52 - ore 21 30 ~1952~ ore 22 30



NB. Condizioni: a occhio nudo pennellate zone stelle fino ecc 3ª e allo zenit.

Condiz. gen. poco buone: cosmo difficoltoso, affaticante (leggermente)

Macchie rosse: invisibile — Sospeso oss. 23h (Imm. 6)

6.XII. ore 06 ~ Oss. Saturno: visibile ottima, rumori continui.



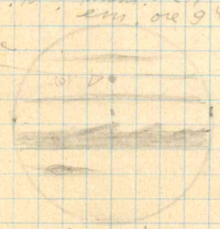
Sul disco: 1 banda ~~su~~ Nord molto non sfoggiata.
N° 2 satelliti: 1, 2
NB. Spica Virgo sentita forte

obb. 7"

8.XII.52 ore 21 ore 23

sat. n° 2 imm. ore 7 20 dist. ombra - sat = ¼ ⌀ ♄
em. ore 9 40 ~10"

Imm. 3





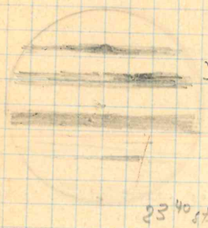
ore 23 ore 21

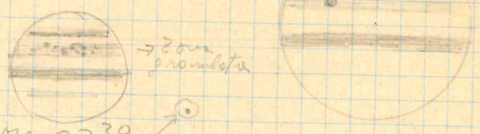
NB. 52 Orion: da più d.t. sera nonostante i tel. da 2mm, (2 comp. =) n Orion: separate facilm. (*)

Regol: molto sereni —

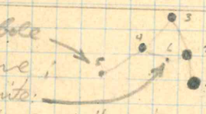
Ore 17: Venere: (1) rumors terribili

9 dic. '52 ♀ — Sat.; ore 22 — Condizioni g.li attive fino alle 23[30] più buone



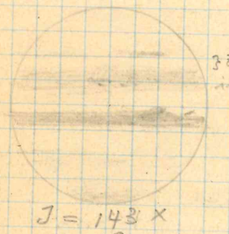


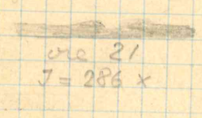
Θ^2 Neb. Orione: debole al limite. non si vede a fissarla direttamente



Parte più luminosa della neb. aspetto di nube temporalesca/spugnosa con

12 dic. '52 ♀ ore 20[30] Condiz. mediocri. Aspetto disco: a tratti netto, a tratti dischetti in vibrazione continua con "sigarette" irregolari, e tratti forte, scie istantanee nulle



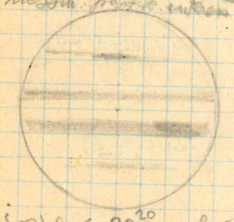


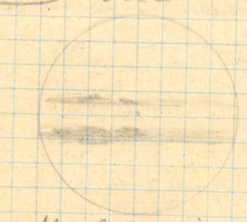
Jm. 5

Alle 21[30] si annuvola; sospensione

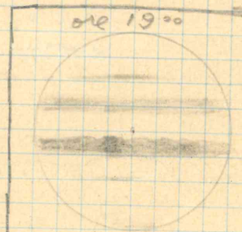
$J_{optimum}$ = 143 x delle 20[30] – 21
190 x " 21 – 21[30]

13 dic. ♀ ore 20 forti vibrazioni (scuotono tutto il disco) vento Sp. Jm 7 ore 22



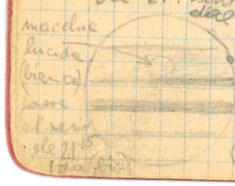


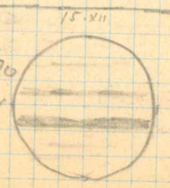
Sospens 20[20]: nuvoli Macchie R.: invisibili



15. XII. 52 Seeing ottimo. Nessuno dettaglio anche invisibile a occhio nudo. zone più scure Ingr. 143 x Jm 7

ore 21: vento forte da Nord

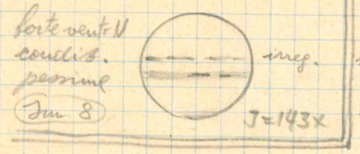




16. XII ore 05[40] – Vento forte N (cirdin stellari 10 volte il normale) nessuno; visibilità pessima difficile vedere l'anello staccato dal disco, tutto l'insieme ribolle e trema

NB. Castor non si doppia ore 6[30]

16. XII ore 20[00]



in 1952 — 7

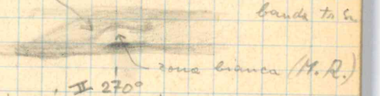
17. XII ore 20[30] Jm. 4 ore 21[40]



A partire dalle 21[50]: forte vento in altitudine, scomparse delle nubi ma remous intollerabili

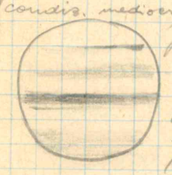
NB. L'aspetto alle 21[40] è quello del 5. XII. ore 21[30] (v. dis.) dopo ~ 29 rotazioni.

Particolare. Zona temperata sud alle 22[10] (cessaz. vento, condiz. buone per > 10[m])



Ore 23[00]: visibil. buona. La perturbaz. di cui sopra è vicina al bordo e diventa invisibile; bande abb. regolari con qualche leggero ingrossamento, nessun particolare interessante. Jm. 4

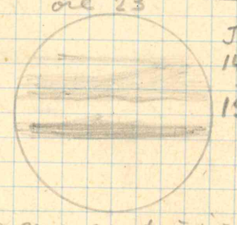
18. XII. ore 22[30] Jm 6 (condiz. mediocri) Nessun particolare degno di rilievo. W. 52 e η Orionis non si doppiano! (dischi stellari in continuo movimento)



ore 24[00]



19. XII. Cond. normali ore 23 (Jm. 4) percepito il meridiano della perturbazione ore 23[20] in presenza in longit. ~ 1/3 D ♀ zona più scura



Notare la varia forma della perturbaz. nello spazio di 5 rotazioni (2[d])

La zona equat. è più chiara delle altre.

Neb. Orione: parte zona Huygens: parte più scura (nuclei) ore 24

20. XII. ore 0[15] – 0[30]: osservaz. a occhio nudo ottima, visibilità perfetta – Orione – Sirio – Toro – Pleiadi, Procione ecc. ecc. Spettacolo magnifico

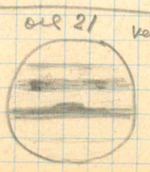
20. XII. ore 20[30] Jm. 5



zona chiara

ore 22: nessun particolare interessante

ore 21 vento 21. XII



ore 22 nessun particolare remous forte Jm 7

Giove - Rotazioni sistema I (zona equatoriale)

N°1 rotaz. = $9^h\ 50^m\ 30^s$ - Ciclo di 168 ~ { precisione ± 10s / limite 1 mese

Medesimo aspetto dopo:

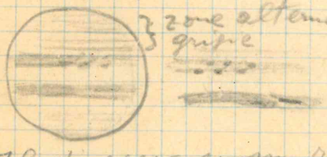
→ 2 giorni	$1^h\ 10^m$ (dopo)	(5)	4 giorni	$2^h\ 20^m$ (dopo)	(10)
5 "	$2^h\ 00^m$ (prima)	(12)	6 "	$3^h\ 30^m$ (dopo)	(15)
7 "	$0^h\ 45^m$ (prima)	(17)	9 "	$0^h\ 30^m$ (dopo)	(22)
11 "	$1^h\ 45^m$ (dopo)	(27)	12 "	$2^h\ 40^m$ (prima)	(29)
14 "	$1^h\ 20^m$ (prima)	(34)	16 "	$0^h\ 10^m$ (prima)	(39)
→ 18 "	$1^h\ 00^m$ (dopo)	(44)	ecc. ecc. (avanzato di 10^m)		

24.XII.52 ore 24 (Jm. 4)



25.XII - ore 20^{45} - 21^{00} Fotografia della Luna (il termometro pesa per Copernico) Obiettivo 18 cm. oculare 20 mm Kellner, base Agfa (menisco semplice) camera posta dietro l'oculare (in luogo dell'occhio). Foto N°1 (zona sud) istantanea, N°2 (zona nord) istantanea, N°3 (S) pose ~ 1/2 sec, N°4 (N) 1/2" N°5 (S) 1" - N°6 (N) 1" - N°7 (S) 2" - N°8 (N) 2" - Pellicola (6x9) Kodak «pancro plus X.»

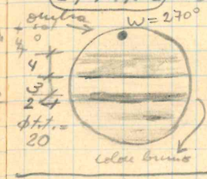
25.XII. Cond. buone ore 23 J. 190 × 2330 (Jm. 3-2)

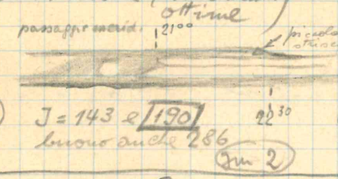


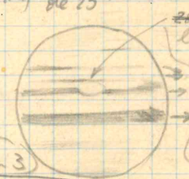


Il disegno non rende l'esatto aspetto più contrastato ove le varie regioni e i loro particolari osservabili nei momenti di calma assoluta.

27.XII - Cond., buone (a momenti) dalle 21 alle 24 (un velo) ore 23^{40}



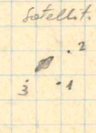




27.XII ore 18 Venere ○ cond. abb. buone rispetto alla mia altezza sull'orizz. nessuna macchia (spruzzata leggera verso il terminatore)

28.XII, Saturno ore 06°° - 07°° - La divisione di Cassini non si vede a prima vista, ma solo dopo alcuni minuti di osservazione e soltanto sulle anse, l'anello di garza si scorge lungo il disco ma non alle anse





1953

1°-I-53 ore 20°° - 21°° - 22°°: condizioni cattive, nessun particolare annuvolamenti irreg. (Jm. 8)

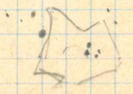
4.I.53



ore 20-21: cond. mediocri
1- disdetto satellite II
2- ombra ④ (inizio 20^{35} ~)
Stesso istante: uscita ①
entrata ②. Durata emersione disdetto ~ 7^m

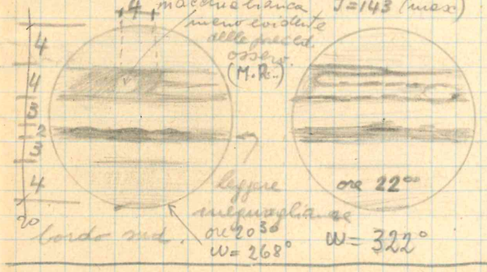
(Jm. 5)

4.I.53 ore 21^{30} Neb. Orione



parte più luminosa

8-I.53 Ore 20-21 Cond. Mediocri - mezzo



(Jm. 4)



10.I. Inizio osserv. ore 20°°. Cielo nettissimo condizioni pessime fino alle 22° poi un po' migliori

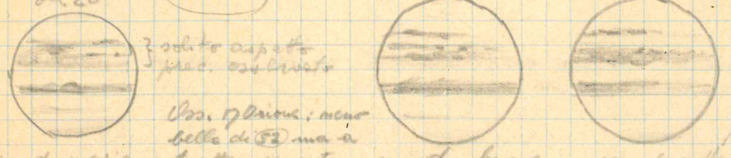


← inizio eclisse (penetraz. sat. nel disco) ore 22^{30} ~
inizio proiezione ombra: ore _?
Nessun particolare (Jm. 7)

11-I. Cielo completamente libero. Condizioni orribili, ogni osservazione impossibile, sopra alle 21^h e rinunciato. (Imm. 8)

NB. Previsioni meteorol.: ..anticiclone - venti nordici rotanti al settore est. (causa dei fortissimi "remous" in altitudine)

13-I ore 20^40 (Imm. 4) — W=351° ore 22 — W=27° ore 23



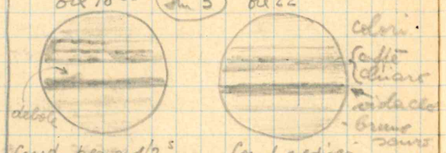
Durante tutta la sera: Imm. migliore 143×. Oss. Oppia 52 Orionis con J=286 - Separazione netta (2 punti sono lontani)

Cond. medie 143× — Oss. Orione: meno belle di 52 ma a tratti appaiono i "tipici" fortissimi — cond. buone 143× e 190× — cond. cattive e poi veli di fil. sino a 23 — filamenti brillanti in continuo movimento

14-I ore 21 — J 143 — Cond. cattive (Imm. 7)

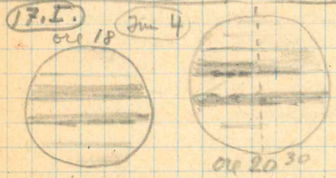
15-I solito aspetto — 27^h0 ore 21^30 — W=328° ore 23 — Cond. mediocri J=143 — (Imm. 5)

16-I 328° ore 18^50 — (Imm. 3) ore 22^40 — colori: soffio chiaro, violaceo, bruno, rosso



debole — Cond. per ~1/2^h ogni minuto ottimo J=190× — Cond. mediocri J 143

17-I. ore 18 (Imm. 4) — 23^00 W=268° — ore 23^30



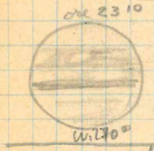
più allungata (passaggio al meridiano) J. 143 e raram. 190



Doppia 52 Orionis generalm. mal definita. Id. un po' meno.

cond. medie W=68° — ore 20^30 W=178° — (J=4)

ore 23^10



W=270°

18-I Oss. Settimo ore 06^m-06^40. Condizioni migliori. Div. cammi difficile, si vede solo a tratti - Resto come prima osservaz. J=143, 190, 286 (buone). Sat.: 1: 2: molto debole 3:

NB. Spica sentibile moderatamente.

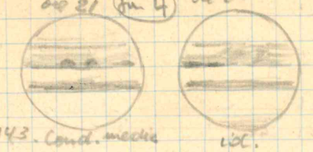
16-17-18/I: oss. cong. Venere-Marte: distanza 17 ore 18^m: ½ ϕ campo oculare m. 7.5

17-18/I. Oss. Luna età 2-3^g. Circo di Petavius, (doppio cratere Messier) ecc. (Imm. 8)

18-I ore 18^m Giorno cond. pessime. Ore 20: migliorate.

19-20-21: Condizioni pessime nonostante il cielo limpido. Nessuna oss. possibile. (vento)

22.I ore 21 (Imm. 4) ore 22



J.143. Cond. medie — ott.

22.I. Dalle 20^30 alle 22:

Osservazione Luna: regioni Triesnecker, rotture e screpolature della superficie - Regione delle Alpi, Cauca. Appennini.

Condizioni sbb. buone. Ingr. 143, 190 e 286 (meno)

Specchietto delle condizioni di visibilità nelle osservazioni planetarie. (obb. ϕ 18 cm)

Visib. 1: ottima, disco nettissimo e sat. fermi, senza alcun raggio di diffrazione o altri disturbi. (ingr. fino a 286 e oltre)

(J 286 e 190) 2: molto buona: come sopra, ma a intervalli di ~20^s ondula leggermente, con fenomeni passeggeri di diffrazione attorno ai satelliti. (remous rapidi in altitudine)

(J 190) 3: buona, c.s. intervalli ~5^s-10^s.

(J 190 e 143) 4: media: vibra quasi continuam. ma si ferma ogni ~5 sec. e con immagini ancora utilizzabili.

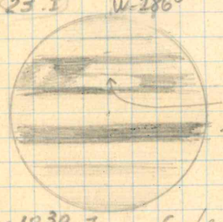
(J 190 e 143) 5: media, come 4 ma ogni 10 sec.

(J=143) 6: mediocre: remous lenti e rapidi alternati, rare momenti utilizzabili.

(J=143) 7: cattiva: remous lenti continui, ondulazioni di tutto il disco ampie, associati a remous rapidi.

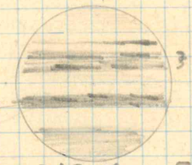
(J-) 8: pessima: remous rapidi continui: immagine ribollente, completam. impossibile rilevare dettagli di sorta

23.I W=286° — molto sottile — e partire dalle 20^m annuvolandosi totalmente.



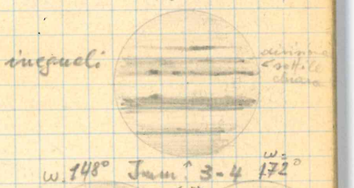
ore 18^30 + nebbia alta (Imm. 6 (esame difficoltoso))

24.I W=49° — 3 zone ineguali.



ore 17^45. Imm. 5

W=76° ore 18^30 — W=148° — Imm. 3-4 — W=172°



ore 20^30 — ore 21^10

A tratti immagini ottime da apo. interessanti bande tropicali ecc. però J=143.

24.I Oss. Marte: ⊕ macchietta scura al centro. ϕ disdotto 4".8

Oss. Venere: ♀ zona un po' più scura rispetto al resto brillante (molto piccolissimo in contrasto) ϕ 22",6

18-18^30 Imm. 6. 143×

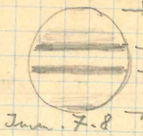
24-I ; ω = 211° ore 22[15]



ore 23 : nuvolaz

Imm. 3 + nebbia leg.

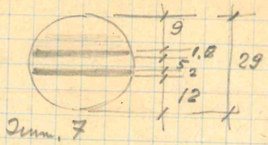
28.I.



Misure al micrometro fisso (1 mm : 100 part.) Molto approssimative Misure molto difficili anche per la pessima condizione di visibilità.

Imm. 7-8

29.I-7 Misure al micr.



Imm. 7

Unità = 0.01 mm = 10 μ nel piano focale

29-I. Eclisse tot. Luna. (Ora di Parigi + 1[h]) inizio totalità 0[h]5[m].

L'ombra (bordo più scuro) tocca Tycho alle ore 23[15] (metà circo)
" Copernico " " 23[20] (" ")
" Platone " " 23[43] (" ")

v. altri particolari pag. 106 "Les Planètes" (note in Lapis.)

Condizioni di turbol. atm. pessime imm. 8. ✱ stelle 10 volte il normale. (Castor non si sdoppia)

30-I ore 18[45] ω = 266°



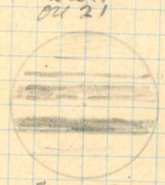
Imm. 4

ω = 311° ore 20



Imm. 4.

ω = 347° ore 21



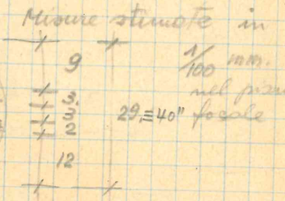
Imm. 6

ω = 23° ore 22



Imm. 6

Misure stimate in 1/100 mm. nel piano focale



29 ≡ 40"

3-II ω = 209° ore 20[30]



Imm. 6-7

Dalle 21 in avanti ogni osserv. impossibile imm. 8 (vento tot.)

Oss. ammasso Perseo M.1, 111 oculare 70×

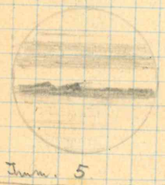
"Crabnebula" del Toro:

18. L'oss. delle nebulose è molto difficile a causa delle lampade stradali



campo ehercheen

4-II ω = 17° ore 21



Imm. 5

5-II ω = 167° ore 21



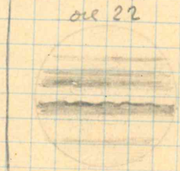
Imm. 6 poi 8

6-II ω = 303° ore 20[30]



Imm. 7

7-II ω = 144° ore 22



Imm. 5 poi 7

12-II ω = 102° ore 20



Imm. 6

[illegible] zona più brillante di tutto il disco

15-II ore 20 Imm. 8 + nebbia

16-17-18-19-20-21-22-II Tempo bellissimo tutte le giornate senza vento, tiepide temp. (Imm. 7-8)

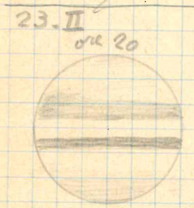
NB Verso la fine del mese si può osservare fino alle 21.30 [illegible]

4. Passaggi del merid. 0° (fissato arbitrariamente) per tutto il mese di febbraio 53: ⑦ - 14[m]51[s] ; ⑧ - 20[m]38[s] ; ⑨ - 16[m]29[s] ; ⑩ - 22[m]16[s] ; ⑪ - 18[m]07[s] ; ⑫ - 23[m]54[s] ; ⑬ - 19[m]46[s] ; ⑭ - 15[m]37[s] ; ⑮ - 21[m]24[s] ; ⑯ - 17[m]15[s] ; ⑰ - 23[m]02[s] ; ⑱ - 18[m]53[s] ; ⑲ - 14[m]44[s] ; ⑳ - 20[m]31[s] ; ㉑ - 16[m]23[s] ; ㉒ - 22[m]10[s] ; ㉓ - 18[m]01[s] ; 24 - 23[m]48[s] ; 25 - 19[m]39[s] ; ㉖ - 15[m]31[s] ; ㉗ - 21[m]17[s] ; ㉘ - 17[m]09[s] ; marzo ① - 22[m]56[s] ; ② - 13[m]47[s]

16-II-53

13. Il merid. 0° da me fissato corrisponde al 98° del sistema internazionale determinato nel 1897. Per semplicità continuerò con le longitudini fittizie nelle annotazioni, [illegible] per ev. confronti si dovranno aggiungere 98°

23.II ore 20



Imm. 7; ω = 312°

24.II ore 18.50



Ombra I

(Castor si stacca nettamente)

ore 20.50 ω = 133°

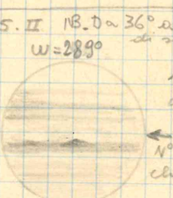


Imm. 5 ω = 61°

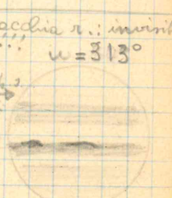
Imm. 4

25.II 18.0 a 36° a 60° macchia r.: invisibile di nuovo!!

ω = 289°



ω = 313°

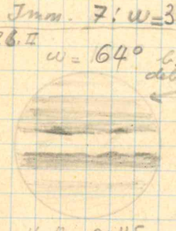


b. tempo debolmente

N°2 zone chiare

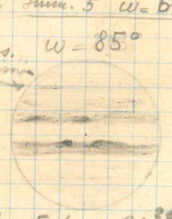
Imm. 4 ore 21

26.II ω = 64°



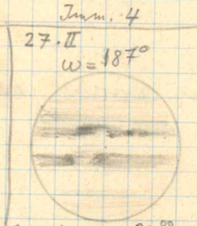
c.t. d. debolmente

ω = 85°



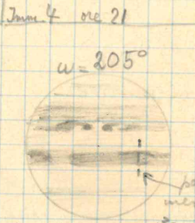
Imm 4 ore 20[45]

27.II ω = 187°



Imm. 5-6 ore 21[25]

ω = 205°



pareti mezza d. 21[17]

Imm. 4-5 ore 20[00]

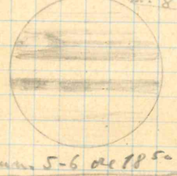
Imm. 4 ore 21[40]

2.III ore 21[30] – 22

Osservazioni varie: Stelle doppie: 33 Hya 1" 2" si 52 1.4" si 14 i 1" si e Castor [illegible]

Imm 3 ore 20[30]

28.II ω = 300° ore 20 → Imm. 8



Imm. 5-6 ore 18[50]

2.III M.r. poco contrastata rispetto nella osservazione precedente a vista a distanza nei vari istanti:

ω = 295°

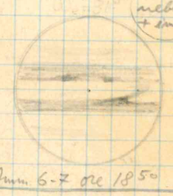


Oss. accettabile sat. I. inizio ore 21°2 ; T.U. 20°2 Cond. generali: poco buone

Sat I

Imm 6 ore 20[20]

4.III ω = 180° 20[00] → nebbia + Imm 8



Imm. 6-7 ore 18[50]

3.III ore 19: oss. visuale Mercurio (molto basso) tramonto all'orizzonte alle 19[10] ~.

4.III ore 21: Ricerca Urano cherchem: sospeso per nebbia.

14. Longitudine merid. centrale alle 20°9 (ore locale) sist. II, valori esatti (non corr. con i prec.: diff. + 98°) mese di marzo

④ - 73° ; ⑤ - 223° ; ⑥ - 13° ; ⑦ - 163° ; ⑧ - 313° ; ⑨ - 103° ; ⑩ - 253° ; ⑪ - 43° ; ⑫ - 193° ; ⑬ - 343° ; ⑭ - 133° ; ⑮ - 283° ; ⑯ - 73° ; ⑰ - 223° ; ⑱ - 13° ; ⑲ - 164° ; ⑳ - 314° ; ㉑ - 104° ; ㉒ - 254° ; ㉓ - 44° ; 24 - 194° ; 25 - 344° ; ㉖ - 134° ; ㉗ - 284° ; ㉘ - 74° ; 29 - 224° ; 30 - 14° ; ㉛ - 164° ; aprile ; ① - 314° ; ② - 104° ; ③ - 254° ; ④ - 44° ; ⑤ - 194° ; ⑥ - 344° ; 7 - 134°

6.III

$w = 109°$ $w = 181°$

ore 20 30 cond. piovose (2)ª ventose in altitudine

zone chiare — aspetto fibroso

Imm. 3 ore 18^{30} Imm. 7-8! ore 20^{30}

ore 20^{45}; oss. Urano dischetto bluastro ma pessime condizioni falsa ecc.

χ Fenomeno interessante: congiunzione a imbuto delle bande N-S eq. attraverso la zona equat.ª; V. osservaz del 4.III congiungente inclinate: dopo 5 s. e 1/2 si osserva I: spostamento in avanti del dett. nella zona eq. per velocità di rotaz. più forte: avanzamento di ~ 20°

18. Nonostante i forti remous l'occhio si sforza di scorgere alcuni dettagli (solo fino a imm. 7): esercizio efficacissimo.

7.III Cond. instab. $w = 259°$

ore 18^{30} Imm. 7-8

Posc: Venere istant.; χ: 1/2 sec.

8-9.III: Cond. instab. dalle 19 in avanti impossibile scorgere dett.

9.III Prove fotogr. Venere-Giove con lastre ortocromatiche Oculare 20 a: buone " 10: arde Venere

13.III 2° esperimento fotografie: macchina Box 6×9 senza obb. mancava semplice, pellicola Kodak panchro plus X°.

Foto N°1: Venere ore 19^{00} immagine singola (con cielo ancora chiaro) posa ~ 1/4 - 1/3 sec.

Foto N°2: Venere ore 19^{30} imm. multiple N°6 pose varie distanziate ~ 5 sec.

Foto N°3: Giove ore 19^{35} imm. multiple N°4 pose varie distanziate

Oculare Kellner 20 mm. fumm. a fuoco con oc. e contatto Box

Condizioni di turbolenza cattive per oss. visuale

18. Dopo le 3 foto la pellicola viene tolta e ravvolta sul rotolino iniziale in attesa di mutilizzazione per fotografie luna e Saturno.

16.III. Oss. χ Passaggi sat. II: inizio ore 20 34, il dischetto si scorge fino alle ~ 20^{40} (regione temp. sud) - Condizioni generali cattive: nessun particolare si scorge nelle bande N.S. equat. $w = 73°$ (20ª), $91°$ (20ª)

18. Si può osservare solo fino alle 20^{45}

ore 21 Oss. Urano: dischetto bluastro 3,7" Cond. cattive.

17.III $w = 320°$

Ore 18^{30} Imm. 3

18 Osservazione ottima e con imm. migliori con cielo ancora chiaro: dischi con contrasti delicati ma ben visibili, ingr. 190 e anche 286 nonostante un po' di turbol. Oss. molto piacevole anche se con qualche remous

16-17.III Oss. Venere: condizioni cattive

17.III Luna età 29 cong. ♀

18.III $w = 115°$ Ore 18^{40} Imm. 2

3 sp. 130-286

partic. diffuse

19.III. Ore 0^{30} Saturno - Imm. 2-3 Cond. gen. buone Div. Cassini facile, molto lunga tra i crêpe più scure all'interno.

Imm. sett. A. B più scure all'interno

18.III. Ore 19^{40}-20^{00} Fotografie Luna: cond. buone, età 3 g.

Foto N° 1(4) centrale posa 1/2 sec.

" N° 2(5) come N° 1 " "

" N° 3(6) " S " "

20.III ore 20^{20} - Foto Luna età 5 g.

Foto N°1(7) Fallita: doppia esp. 1/4 s.

" N°2(8) centrale 1/2 sec.

19.III Imm. 4-5

ore 18^{40} $w = 266°$

Sat. χ ore 18^{30}

Ombre I. II passaggi mezzi. 18^{50}

passag. ombra I ore 18^{50}

particolare m.r. molto colorato passaggio al meridiano ore 18^{57} $w = 272°$

23.III Ore 20 → Imm. 8

Ore 18^{40} $w = 146°$ 7mm 4

Ingr. 190×

23.III Ore 18^{30} Oss. Venere Ingr. 190× Imm 4-5

Misure approssimative al micrometro $\phi = 350\,\mu$

$a = 50\,\mu$

Sfere di polvere $230\,\mu$

24.III Ore 18^{50}

Imm. 6 $w = 300°$

$W_{m.r.} = 300° - 30° = 270$

Macchia lucida all'equatore ($w = 350°$)

25.III Ore 18^{50}

Imm. 5 $w = 92°$

Giornata rel. calda, senza vento.

Ore 20

Imm 5 $w = 134°$

25.III Ore 23^{30}

Oss. Saturno

Cond. medie Nonostante i remous continui dis. Combri facile Ombra s. anello più sottile

26.III Imm. 5-6 Partic. z. m. r.

19^{00} 19^{40}

$w = 248°$ $w = 272°$

anello sat. ore 20

18. Imm. ca 3 mesi le m. r. si è spostate di 30° ~ (v. oss. di gennaio) ??? no. di 2°-3° solam.

29.III ore 19 10

Imm. 4 $w = 344°$

29. Oss. Saturno: imm. cattive; Castor difficile, condizioni pessime

31.III. χ ore 18^{50}

$w = 122°$ passaggio m. r.: aspetto come oss. 19.III ecc. ore - Imm. 6 Cond. generali cattive Espos. Foncault: remi terribile

11.4.53 χ: Si può osservare solo fino alle ore 19 20: ore 19-19³⁰ imm. 5 Ingr. 190× aspetto normale (come 25.III. ore 20) assenza partic. intorno

17-III 53 Fine osservazioni di Giove.

Totale N°106 dischi rilevati

N° 18 inutilizzabili

N° 18 primo periodo

N° 32 secondo periodo

N° 38 terzo periodo

17.IV Età Luna 4 g.

Circo Petavius

Ingr. 190× Imm. 4-5

Mezzaccio centrale: schizzo preso in 15 min. aspetto molto superficiale, impossibile rendere tutti i particolari senza impiegare almeno 1 ora di disegno.

Nota Il disegno è difficoltoso causa il sovraccarico di particolari

Fare ancora oss. il 16-17 maggio p.v.

Dati statistici sulle oss. χ: Dal 24 sett. 52 al 29 marzo 53 (6 mesi)

Serie d'osservazione con Immag.	86	pari al 48 % del	massimo possibile.
"	1	N° 0 = 0%	0
"	2	4 = 5%	8
"	3	13 = 15%	39
"	4	23 = 26%	92
"	5	13 = 15%	65
"	6	11 = 13%	66
"	7	11 = 13%	77
"	8	11 = 13%	88
		86	435/86 = Imm. medio 5,1

m 1953 m

3.V.53. 1) Oss. tr. Imm. 6-7. Dir. Cassini molto difficile. Si comincia a vedere l'ombra dell'an. sul globo (?) (non sic.). Ombre neanche discutere!! Sospeso anche per stanchezza vista.
2) Ricerca nebulose extragal. Virginis senza nemmeno trovarle, fallimento, ocul. 70x, quindi ass. vere campi di stelle, ammasso nel Cancro (Culla), magnifico, ecc.

15.V. Oss. tr. Imm. (3)-5. Durata ore 1h (22h30-23h30)
Condizioni medie. Oss. interessanti (particolari anelli) per almeno 1/2h continuate per veder qualcosa. Nel 1° quarto d'ora si vede solo difficilm. div. Cassini.
Imp. 190 e 286
Composizione anelli:
A. 1) Zona scura 2) striscia chiara sottile (contrasto con Cassini?) - Divis. Enke invisibile, divisione Cassini facile fino al disco.
B 1) Zona brillante ⅓ largh. 2) Sfumature verso l'interno
C Difficile e dubbi nelle anse
Ombre: portate sull'anello e portate (bilobate) sul disco

16.V. Oss. Luna età 3.6g. Particolare massiccio centrale Petavius.
Imm. 5-6

16.V. Oss. tr. Sommaria. Uguale al precedente. Imm. 4.5 Imp. fino a 286

Schizzo in 15m.

Imp. 190x

Schizzo in 30m.

17.V Oss Luna età 4.6g. Parte mer. cent. Petavius. Cond. 6-7 + nebbia forte. Sospeso alle 21 per nubi. Esame molto difficoltoso. Schizzo in 15m.

18.V. Oss Luna età 5,6g. Cond. 6-7-8. Imp. 190 e 286.

18.V Oss. tr. Condiz. buone dalle 21h30 alle 22 - Imm. 2-3 - Prima e dopo imm. 6-7. Imp. 190 e 286. Anelli: medesimi del 15. Toni legg. variati:

Dio. Enke molto dubbia!! però già meglio (Cassini accenna con imm. 6-7. Fino ore 22h

19.V. Oss Luna Età 6.6g. Condizioni 7-8 e tutti 5

Mammelone centrale Teofilo

Cratere Arago

5 Km. = 5"

1 mm = 1"1/4

1 cm = 14"

Ø Teofilo: ~350 μ; Ø Arago ~ 100 μ

24.V. Oss. Saturno: come precedenti, ombra palla sull'anello, nel disco un po' rinforzata. Oss. su "sol garzone": non più migliore, ma non rilevante.

25.V.53 ore 22 40 Saturno

4.VI. Ore 04h20 Luna età 22g

Condiz. eccellenti. Imm. 6-7 Imp. 190x

NB. Osservazione di Antoniadi a Meudon con 0,83m il 27.8.29. V. Astronomie p.th 1933

Mte Pico nel Mare Imbrium

Oss. Venere: ore 04h30: (Balconcino rond) NB: Non scintilla

Mammellone centrale Teofilo età 8.1g Imm. 3. Imp. 286x 190x (filtro giallo) ore 18h50

Mare Crisium

Monte Piton ore 20 Imm. 6 Età 8.2g Imp. 190 e 286

Tramonto ore 22

Sole

22.VI Luna Età 10,2g Ore 20-21

Monte Piton Imm 4-5 ore 20h30 Imp. 286x Luce naturale Leggere nubi e nebbia

Monte Pico ore 21 Imm. 6-7 Imp. 286x senza filtro - C.S.

Fondo troppo scuro

H.VI. Ore 22 Oss. Saturno: ombre più larghe, div. Cassini facile anche imm. 7. Oss con filtri: verde (troppo scuro) giallo (molto buono) Imp. 190x e 286x Resto come prec. osservazioni

5.VI. Ore 22-23 Oss. tr.: idem sera

19.VI. Oss. Luna ore 18h30-19h e 20h-22h. Età 8.2 - 8.3

Immagini buone 18h30-20h (3)
ec-tive 20h-21h30 (6)
medie 21h30→ (4-5)

Sole

Cratere Proclus: (età 8.2 - 8.3) Ponte est illuminato brillantissima (punto più luminoso di tutto il disco)

Mare Crisium

15.VI. Luna. Mare Petavius. Sospeso Annuvol. (Imm 4)

Età 8.3

20.VI. Oss. Luna Monte Piton ore 21. Età 9.2g Imp. 286x Filtro giallo Imm. 4

Imm. ferma per non più 1/2h

NB: Filtro giallo: molto buono

Monte Pico ore 21h30 Età 9.2g Imp. 286x Filtro giallo Imm. 5-6

23.VI. Luna ore 21-22 Età 12.3g

Mte Piton Imm 5-6 Imp. 286x filtro giallo

Mte Pico Imm 6-7 Imp. 286 filtro giallo Semplice schizzo

Sospeso per sopravvenuti nubi;

NB Dentro l'ore di Plato vi scorgo 3-4 oggetti (difficile) più chiari

1953

29.VI. Os Luna. Ore 01^m.0 = 0^h T.U.
Età 17,48



Mamecio centr. Petavius
Imm. 5 a tratti anche 3
Ingr. 286× con filtro rosso.

Sospeso per nubi

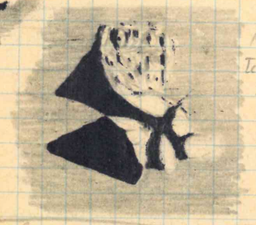
1.VII.53 - Oss. Luna età 19,67

18. All'inizio buone imm. (2) poi medie



Monte Piton ore 05^m.0
Imm. 4 - a tratti 3-2
filtro rosso 286×

NB.: (Dec. non precisa)



Massiccio centr. Tropfte ore 05^m.20
Imm. 4-5 a tratti 2-3
senza filtro 286×

16.VII. Ore 03 - Osservazioni varie: (Balcone nord)

Nebulosa Dumbbell: ottima con 70× molto estesa forma caratteristica ben visibile

Nebulosa Anulare Lira: ottima con 190 e 286: bellissima

Doppia ε¹ ε² Lira: si sdoppia a partire da (100×) ε² = componente ε¹ = sup. gialla - inf. blu

Giove: ore 04^h.0 — Imm. 5-3 (Particolare magnifico: il sorgere del piano [<] dei satelliti dietro gli alberi (Foste S. Maria Reggina) di 1 m.
Ingr. 190×
Passaggio meridiano brandelli macchia equatoriale ore 4^h.0 w = 333°
w = 315°

Venere: cond. cattive: imm. 7 con filtro 2.. nessun miglio
imm. peggiorate: 7 imm. 6-7 a tratti e tremolanti
Oss. sospese alle 4^h.53 lepg. vento

7. 17.VII ore 4^h.25 w = 114° — ore 4^h.45: il (aria ferma, pochi rumori minimi) non si vedono dettagli e l'immagine è pochissimo contrast. causa nebbia, nubi
Imm. 8 Ingr. 143×

18. Saturno imm. 3: (M.T. inviato) Zone chiare

19. VII. ore 20^h.30 Saturno con anse
Ingr. 190× - Vento forte da N. Cond. scadenti

20.VII. Ore 20^h.30 Luna età 9.7 g.



Mte Piton
Imm. 6-5 Ingr. 143-190-286 (buono)

21.VII. Ore 21 Luna età 10.7
Mte Piton
Ingr. 286×
Imm. 7 a tratti (3) buoni



NB. Disegno molto esatto nelle proporz. ecc.

Mte Pico

24.VII. Ore 23 - Luna età 13.7
Mte Piton
Imm. 5-6
Ingr. 190×
Filtro giallo

25.VII. ore 24^h.00 (26.VII ore 0^h.00) Luna età 14,85 g.
Mt. Pita
Ingr. 286× Imm. 5
Contrasti deboli.
NB. N^e 033. con Tel. 25a. vanno perfezionate più del 18 ma molto minori rumori

26.VII. Oss. Saturno con rifl. 250 m.: molto sottile (anse Imm.) ma dis. Cassini visibile debole Luna tramonta. Rumori minori che con 190

31.VII. Ore 04^h.E.t. = 20^h.
Imm. 8! Vento N.
Ingr. 286×
Mt. Piton

24.VII. Luna età 13.7 Oss. grande "fiumara" bordo NEE (disegno a pag. 73 del Libro Rosso)

1.VIII.53 Ore 06 - età 21.1 g
imm. 6
ingr. 286×
Mte Piton



2.VIII. - Ore 06 età 22,1 g
imm. 5 poi 8
Ingr. 286
Mt. Piton



18 Luna N.Q. ore 4^h.0 T.M.E.C.



AB = BC
c = primi piani

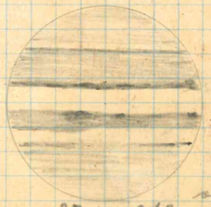
Programma d'osservazione di stelle doppie (Test: per obiettivi 18 cm e 25 cm.) : (N.B. Con condiz. ottime!)

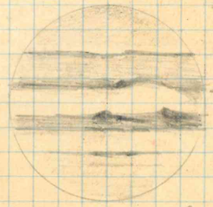
OΣ 371	6.8-7.2	0",81	Costellaz. Lyra	v. Astronomie juin 1953 pag. 3 coperta
Σ 2576	7.8-7.8	0".81	" Cyg.	" " "
β 131 (β Delphini)	4-5	0",62	v. carta generale e.ciclo	
τ Cygni	3.8-8	0".78	v. pos carta S.A.F. boll. juin 1953	
μ Cygni	4.7-6.1	1",17	" "	
Π Cep.	5.2-7.5	0".67	v. carte S.A.F. boll. mai 1953	
Σ 677 (Cam.)	7.7-8.0	0",96	Costellaz Giraffa v. carte SAF. boll. avril 1953	
26 Dra	5.5-10.1	1",12	v. carte S.A.F. boll février 1953	
Kuiper	6.9-8.9	0",74	Costellaz. Cep. v. carte SAF boll mai 1953	

10. VIII.53. Ore 20-23 Φ 18 cm.
λ Oph. mo — ζ Aq. (2",21) U 4^h.6 ms — Imm. 6. My = 6-7.
τ Oph. ~ 2.1" s. — OΣ 371 0".8 mo — Disdetto spira visibile a tratti gen. però rumori forti: aspetto cattivo

12. VIII.53 - Sereno - Obb. 18 cm — Venere sorge alle 3^h.05 - Sole alle 6^h.35 — N.B. Oss. senza cartone prolungam. Leggera brina a tratti da N

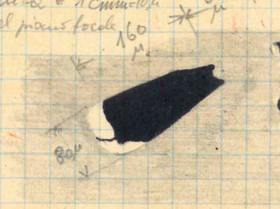
Imm. agine ottime:
ore 3-3^h.30 (Imm. 2-1) Ingr. 286-190
ore 3^h.30 - 4^h.00 Imm. 3-2-1
Definizione stupenda Disco pianeta nettissimo, a rari intervalli il bordo ondula impercettibilmente
ore 03^h.25 w = 21° Dischetti sat. fermi (scomparazione Φ e colori diversi). Imm. agine stellari normale con alcune condensazioni mobili negli anelli, stelle 1^a gr. aigrette in vibraz. media. Atmosfera: scintillam. moderato 1°-2°-3°





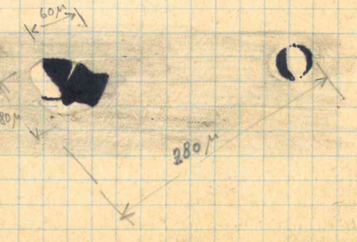
Imm. 1-2
Anse e anulus grigio evidente da S.E.
B.S.E. S.
S.E.
B.N.E
Ingr. 190× e 286×
ore 4^h.0 w" = 66°.3 w1 = 47° Si può osservare fino alle 5^h
(13.VIII.53. ore 3^h.0, coperto t.t.)

17. VIII. - Ore 20^h.0 Età Luna 8.1 — Misure stimate al micrometro lineare. Φ Herschel 140 μ



Unità = 1 mm. nel piano focale
80 μ
160 μ
80°
80°

18. VIII. ore 20 Età Luna 9.1 g



60°
60°
80 μ
280 μ

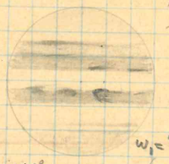
— 1953 —

19. VIII. ore 20
età Luna 10.1 g



Ingr. 240× (umor vitreo)

20. VIII. ore 04^00



18 Scintill. stelle < del primo 12 v.s. ma rel. mosso >
$w_1 = 208°$
$w_2 = 163°$ imm 3-4 (190×)

21. VIII - ♃ sorge alle 01 50.



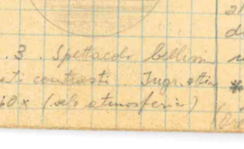
ore 03^{m} $w_1 = 277.6$
imm 7-8.
Cielo nuvoloso, brevi schiarite con turbol. (nubi)

28. VIII. ♃ Tentato oss. M.R.: foschia, (imm 7-8) cielo completo. Lieve vento, umidità



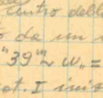
ore 3^50 $w_1 = 279°$

29. VIII. Ore 06.^00 Età L. 19.5 g.
M.te Pico. Imm. 4-6-7



Ingr. 240× e 180×
Osservazioni difficoltose

29. VIII. Ore 5^40
$w_1 = 160.5°$

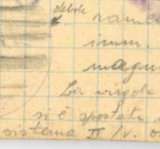


← centro giallo
← colore bruno chiaro
← colore bruno indaco

Oss. con obbiettivo 25 cm. ingr. 240×. immagini 6-7 (Tempo bello ma leggermente ventilato)

29. VIII. Ore 5^30: nell'area di Platone si scorgono, con ammm calme, alcune zone e macchiette chiare indefinite. Durata ammm. buone: 5 minuti !! poi peggiorano improvv.

30. VIII. Ore 06.^00 Età Luna 20.5 g. Obb. 25 cm



Imm. 3
ingr. 240× 180×

Imm. 6-7 impressioni soggettive

$w_1 = 296°$ ← Long. della macchietta precedente dal B.E.S. $w_1 = 159.4$ (prevista: 3^49)

30. VIII. Età Luna ore 2^30 = 21.3 g

Imm. 3 - Ingr. 190 obb. 18 cm. (v. oss. del 1° VIII)

31. VIII ♃ (con 18 cm)
Imm. 3 - Ingr. 190×

ore 03^{h} ; $w_2 = 339.7°$ $w_1 = 108°$

1. IX. ♃ (con 18 cm). Imm. 3 Ingr. 190

ore 3^{58} $w_2 = 165°$
(Ass. zona chiara equatoriale)

Long. della macchietta precedente dal B.E.S. $w_1 = 159.4$ (prevista: 3^49)
Imm. molto buone ed. bizz. debol. leggero vento. 5 min. buoni

30. VIII. Ore 06.^00 Età Luna 20.5 g. Obb. 25 cm

Imm. 3
ingr. 240× 180×

Imm. 6-7 impressioni soggettive

$w_1 = 296°$ ← Long. della macchietta precedente dal B.E.S. $w_1 = 159.4$ (prevista: 3^49)

30. VIII. ♃ con Telesc. 25 cm
Imm. 3. Ingr. 180× (240×)

M.R.: pallida, bianca, piatta
Passaggi macchie rosse B.E.N.

ore 5^{45} $w_2 = 289°$; $w_1 = 52°$

31. VIII. Età Luna ore 2^30 = 21.3 g

Imm. 3 - Ingr. 190 obb. 18 cm. (v. oss. del 1° VIII)

ore 03^{h} ; $w_2 = 339.7°$ $w_1 = 108°$

1. IX. ♃ (con 18 cm). Imm. 3 Ingr. 190

ore 3^{58} $w_2 = 165°$
(Ass. zona chiara equatoriale)

Long. della macchietta precedente dal B.E.S. $w_1 = 159.4$ (prevista: 3^49)
Imm. molto buone ed. bizz. debol. leggero vento. 5 min. buoni

Date d'osservazione della M.R. di Giove (long 270°) per Settembre:

1. IX Luna - Età 22.^41
Ore 5^{40}. M.R. Platone: ma X (= 2.IX = oss. di ieri) (imm. nadente)

1. IX. ♃ (con 25 cm.)
(molto migliore che col 18 cm)
ore 5^{50} $w_1 = 232°.7$
Passaggi macchie con piccoli rossi B.E.N. $w_2 = 292°.4$
$w_1 = 20°$ ← M.R.

Imm. 3. Spettacolo bellissimo: contrasti. Ingr. 180× 240× (solo atmosferico)

2. IX ♃ (con 18 cm)
$w_1 = 51°.3$
ore 2^{39} - $w_2 = 267°.4$

Imm. 3-4
Ingr. 190×
Osservazioni difficili: nebbia, direzione molto cambiante. M.R.: oggetto molto diffuso, difficile col 18 cm. imm. 3-4.

Passaggio estremità precedente M.R.: $2^{h}27^{m}$ ($w_1 = 260°.3$). Il passaggio al meridiano del centro della M.R. è disturbato da un banco di nubi ($2^{h}39^{m}$ ~ $w_1 = 267°.4$)

* Ombra sat. I inizia da 2 42 non osservata per nubi

Oss. 5^{h} 20 con 25 cm: Imm. 3-4

2. IX. ♃ (con 18 cm)
ore 3^{20} $w_1 = 293.2$

Imm 2-3. Ingr. 180
ore 5^{25} $w_1 = 308.2$

Con 25 cm: dalle 5^{00} alle 5^{15}: Imm. 6-7; poi migliorano rapidamente 5-4. A tratti imm. nettissime, contrasti magnifici con ingr. 183× (per visuale chiara della B.E.S. ivi è spostata in avanti rispetto alla rotazione sistema II (v. oss. del 2.IX)

4. IX. ♃ (con 18 cm)
ore 285 $w_2 = 205°.4$

Colore: Imm. 6-4
Ingr. 239
Imm. 4-5
Occhio molto buono

B.E.N.: molto larga

5. IX.
~ 1953 ~ ??

Oss. doppie: Oph 371: sdoppiata a rari intervalli $\rho = 0''.81$ (· ?) Ingr. 286× (obb. 18 cm)
ore 1^{h}-$1^{h}30$ τ Cygni: impossibile (in obbe ott. e tratti il disco è tutto di diffr.) "
μ Cygni: facile, a tratti $\rho = 1''.17$ "

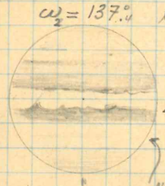
♃ sorge alla 1^00
5. IX ore 2^{10} $w_2 = 340°$
Imm. 6 (Vento in alta (cirrose) Ingr. 143 e 180
Nemm. parte. visibile



9. IX. ♃ (con 25 cm.)
ore 5^{10} $w = 330.3$
Imm. 6
Ingr. iniziare 180× (Respinto 360×)

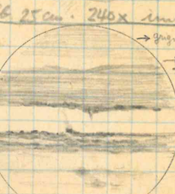


2. X. Ore 23^40 - Imm. 3 (obb. buono)
$w_2 = 137°.4$
Un occhio stanco, oss. difficile.
Obb 18 cm. Ingr. 190×
← Irregolarità nei bordi sud della NEB e nord " SEB
non meglio identificabile
NTB debolissima



♃ sorge alle 23^15

10. X. 53 - Ore 23^50. Imm. 4-5 - Ingr. 143, 190, 240
all'inizio leggermente, imm. 6.
Macchi R para. el mer.:
Estremità prec.: ore 23^{37} $w_2 = 258°$
centro 23^{42} $w_2 = 265°$
Estremità seg.: ~ 23^{58} $w_2 = 271°$
Passaggi zone bianchissime nella E.Z. ore 23^{36} $w_2 = 257°$ $w_1 = 339°$



11. X. 53
ore 5^50

Obb. 25 cm. Imm. 4-5 buoni alla pari peggiori 6-7. Ingr. 240× Brevi istanti belle imm.

NEB

ore 6^{22} $w_1 = 142°.7$ - $w_1 = 227°$

$w_1 = 123°.4$

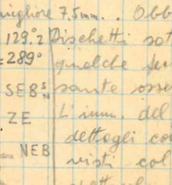
12. X. Ore 6^05

Imm. 4-5 Rari istanti imm. forme, magnif.

Passaggi del M.C. sulla M.R.			Colorazioni:
Estremità prec.	ore 05^{26}	$w_2 = 259°$	NEB: bruno-viola
Centro	" 05^{39}	$w = 267°$	SEB: violetto
Estremità seguit.	" 05^{53}	$w = 275°$	giallo-bruno, con
Passaggi dett. NEB:			prevale U più scura
ore 6^{17}	$w_2 = 290°.1$	$w_1 = 21°$	STB: bruno.

M.R.: tinta leggermente rosata.

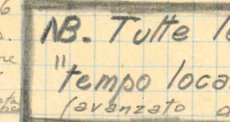
11. X. 53



ore 0.43^m passaggio dett. NEB. $w_2 = 297.8$
$w_1 = 20°$
Imm. 4-5. Ingr. 190
NEB: Dettagli confusi non meglio identificabili

NB. Tutte le ore sono date in "tempo locale" = T.M.E.C. (avanzato di 1^h rispetto a T.U.: Ammessi F.C.

3. X. Obb. 25 cm. (rifr). ♃ sorge alle 3^00 dal tetto

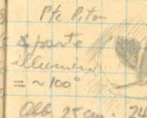


ore 3^{30} $w = 276.3$

Imm.: prime 5-6 (vicino mare tel.) poi stabilizzate a 3.
Pass. al M.C. centro M.R. ore 3^{22} $w = 271.5$
estremo seguente ore 3^{38} $w = 281.1$
NB - Non attendibili !?
Ingr. 180× 240× 300×
M.R. Completam. decolorata (foschia?)

13 ÷ 19 ott. 53: Alternati: pioggia e coperto, nebbia ecc. oss. impossibili.

19. X. Luna età ~ 12 g. Nubi, brevi schiarite a) unite alla parte illuminata b) sotto il lembo (dubbio imm. 6)



Obb 25 cm. 240× imm. 6÷5÷7

19. X. 53: Giove si leva alle 22^13 (costa Mt Beglia)

20. X. Luna età ~ 13 g.



Osservaz. Platone: N 5-6 punti bianchi
Esplorazione di curiosità nella parte illuminata: zone interessanti da sorvegliare (false entro nei crateri ecc.)

Imm 2 Oculare miglior 7.5 mm. Obb. 25 cm - Ingr 180× 240× 300× 360×
Dischetti satelliti costantemente visibili, qualche fenomeno di diffrazione. Interessante osservare i vari ♀ e tonalità.
L'imm. del pianeta è magnifica, ricca di dettagli complicati e sottilissimi (NEB) meglio visti col 18 cm. A tratti imm. nette (!) spettacolo meraviglioso, contrasti bellissimi ma colori difficili (tonalità grigio-brune-gialle)

21. X. Giove. Ore 4^15. Disegno esatto $w_2 = 129°.2$ $w_1 = 289°$

SEB
ZE
NEB

21.X. Ore 4^45 – Osservat. doppie:
Trapezio d'Orione (52): 1".4 facilissima comp.= (a pot. raddoppiata e ½)
N°6 stelle η: facile
360× e anche 240×
Oss. nebulose (non molto favorevole per luce lunare)

30.X. Ore 20-21. Oss. stelle Aquila – Fire con e senza diaframma. Migliore 24 cm.
Oss. Nebulose: Dumbbell, Anulare Lira
$\varepsilon_1\varepsilon_2$ difficili (tentativi fortunosi)

5-XI-53 Posizione satellit. II e III
ore 5^m w = 252°
Passaggi M.R.:
estr. prec. 5^11 w = 258°.6
centro 5^25 w = 267°.0
(estr. seg. ~5^38 w = 274.9)
M.R.:
Larghezza in latitudine ≅ NEB
Ingr. 180× Imm. 5-7

7.XI. Giove Imm. 4. Ingr. 190× Obb. 18cm
Giove alle 21
ore 22^18 w_2 = 100°.4 (w_1 = 35°)

8.XI. Obb. 25 Imm. 6-7. Ingr. 180×
Oss. difficile M.R. indecisa al limite di visibilità. Passaggio M.R.
ore 2^56 w_2 = 268° non sic.

8.XI. Ore 2^30-2^50 Oss. Trapezio Orione: Visibili 1, 2, 3, 4, 5 (d.ff.)
7.XI. " 20-23. Osservazioni varie, nebulose, stelle doppie, am. mano di Pegaso (con libro Flamm.), Giove (v. sopra)

8.XI. Ore 22^49. Obb. 18cm. Imm. 2-3 dalle 22^30 in avant. Ingr. 190× e 143× Osservazione molto agevole, particolari netti, dischetti sat. quasi fermi
Passagg. M.R. (estatti)
Estr. prec. 22^32 w_2 = 259°
Centro 22^49 w_2 = 269°.5
Estr. seg. 23^07 w_2 = 280°
NB Brillevi accurati (controllare)
molto accentuata nella tinta ma fibrosa
Dett. NEB: w_1 = 227°

10.XI. Ore 4^56 w_2 = 234°
Osservazioni simultanee con 18 (ingr. 190×) e con 25 (180× e 240×). All'inizio nel 18: imm (1)-2! mentre nel 25: (3)-4, contrasti migliori nel 18. Un peggioramento improvviso è osservato in egual misura nei 2 strum. Poi anche nel 25 imm. 2-3 contrasti più deboli, ma forse un po più dettagli (ingr. 240×). Disco molto più luminoso (abbagliante) causa della differenza di tono più debole
Passaggi M.R.
Estr. prec. 4.18 w_2 = 258°.5
Centro 4.36 w_2 = 269°.2
Estr. seg. 4.57 w_2 = 282°.2 (estremità allungata v. dis.)
Oss. Trapezio Orione con 25a. Visibile 1.2.3.4.5.6.7.11 (dubbia)
con 18a. " 1234(5)/18. Oss. non lunga
Oss. satelliti: ombra I fine 5^19, passaggio II: non si vede l'inizio, solo la fine 5^40, passaggio I: inizio 3^56.
Imm: peggiorate (6) alle 5^30 → nei 2 strumenti eguale

31.X.53 – Oss. Giove. Imm 7 (ore 4^00-5^00). Nessun dett. è possibile vedere.
Misure stimate. 18. Cielo limpidissimo per vento in altitudine
Foto Luna (v. fine)
Oss. ω Orione (non si vedono stelle più piccole del 27.X: 1, 2, 3, 4, 5, 6) cond. cattive

1.XI. ore 4^58 Passaggio macchietta scura (w_2 = no) Ingr. 180× (Il numero 7 fl. non indica nessuna guida di satellite a quest'ora, come Pass. sat. III Satelliti visibili N°s I. III
Dett. NEB: devono essere complessi, e impossibile fare oss. delicate per banda di nebbia alta. (Dato imm 8)

ore 5^45 colore bianco → giallo. distanza $\frac{1}{10}$ = ~2÷3"
ore 4^30 (Ingr. 360×) (Imm 7)
Asse rotaz.

Ore 6^40 w_2 = 312°.5; w_1 = 227°.
Ingr. 180× Imm 4-6
Nonostante le forti ondulazioni continue si percepiscono a istanti dei contrasti delicati

Inizio proiezione ombra III 3^h48^m
← S. temp. Sud ima (debole) Ingr. 180×
← S.E.E. " separazione dopo M.R.
← S.E.m. " meno chiara
← S.E. Passaggio lingua 3^34 w_2 = 291.1 (w_1 = 227°)
← S. temp. Nord
" Nord ovest (debolissima)
ore 3^48 w_2 = 299°.5 Imm. e strum. 3 e 7

Particolare inizio proiezione ombra sat. III
Ore 3^48
Mare oblique

NB. La finezza dei dett. visibili è però nettamente inferiore ai 25 cm. (v. oss. 21.X) anche con imm. buone e occhio esercitato.
Macchie Rosse: bordi più scuri (specialmente il precedente) sfumati verso il centro che è completam. decolorato

Giorno	01^h	02^h	03^h	04^h	05^h	06^h	22^h	23^h	24^h
	Locale (T.M.E.C.)								
OTTOBRE									
26	43°.3	79.6	115.8	152.1	188.3	224.6	84.8	121.1	157.3
27	193°.6					14.9	235.2		
28	344°.0					165.3	25.5		
29	134°.3					315.6	175.9		
30	284°.7					106.0	326.2		
31	75°.0					256.3	116.6		
NOVEMBRE									
1	235°.4					46°.7	267°.0		
2	15°.8					197°.1	57.4		
3	166.2					347°.5	207.8		
4	316.6					137.9	358.2		
5	106.9					288.3	148.2		
6	257.3					78.7	299.0		
7	47.7					229.0	89.5		
8	198.1					19.4	239.9		
9	348.5					169.8	30.3		
10	138.9					320.2	180.7		
11	289.3					110.6	331.1		
12	79.7					261.0	121.5		
13	230.0					51.4	271.9		
14	20.4					201.8	62.3		
15	170.8					352.2	212.7		
16	321.2					142.6	3.2		
17	111.6					293.0	153.6		
18	262.0					83.5	303.9		
19	52.4					233.9	94.4		
20	202.8					24.3	244.8		
21	353.2					174.7	35.2		
22	143.6					325.1	185.6		
23	294.0					115.5	336.0		
24	84.5					265.9	126.4		
25	234.9					56.3	276.8		
26	25.3					206.7	67.2		
27	175.7					357.2	217.6		
28	326.1					147.6	8.1		
29	116.5					297.9	158.5		
30	266.9					88.4	308.8		
DICEMBRE						—			
1	57.3					238.8	99.3		
2	207.7					29.2	249.7		
3	358.2					179.6	40.1		
4	148.6					330.0	190.5		
5	298.9					120.4	340.3		
6	89.4					270.8	131.3		
7	239.8					61.2	281.7		
8	30.2					211.6	72.1		
9	180.6					2.1	222.5		
10	331.0					152.5	13.0		
11	121.4					302.8	163.4		
12	271.8					93.3	313.7		
13	62.2					243.7	104.2		

Giorno	01^h
Sistema I	
NOVEMBRE	
1	
2	
3	
4	
5	20°
6	178°
7	336°
8	134°
9	292°
10	90°
11	248°
12	46°
13	204°
14	2°
15	160°
16	318°
17	116°
18	274°
19	72°
20	230°
21	28°
22	186°
23	344°
24	142°
25	300°
26	98°
27	256°
28	54°
29	212°
30	10°
DICEMBRE	
1	169°
2	326°
3	124°
4	283°
5	81°
6	239°
7	37°
8	195°
9	353°
10	151°
11	309°
12	107°
13	265°
14	63
15	221
16	19
17	177
18	335°

— 1953 —

10.XI. Ore 18-19. Osservazione doppie colorate: β Cygni: giallo e blu-violacea
α Ercole: giallo sporco, verde giallastro (chiaro). γ Delfini: giallo chiaro, verde chiaro
Oss. ammassi globulari: M13 d'Ercole, M92 d'Ercole, M15 Pegaso

10.XI Ore 21-22 Imm. 5-6-7. Obb. 18 Ingr. 190x Nessun dett., cons. costante
Seeing 22h (legg. vento)
Posiz. sol. II. III
ore 2 ore 3 1½"

12.XI Ore 2 35 Obb. 25. Imm. 5-6 (remous vicini?)
w_2 137°
A tratti: imm 2 – Ingr. 240x
← instellature verso il bordo est
← zona grigia nessun dett.
← nessun dett. cons. centrale (qualche condens. meridionale)
← passaggi dett. scuri a angolo con macchietta chiara
w_2 = 104°
Alle 3h: bande regolari, nessun dett. importante (qualche chiaro NEB: ——— ore 3 9m)
← più piccoli, più luminosi e molto
← tinte meno brillanti, legg. "flou"
ore 3 4"

Ore 6 17 Obb 25 Imm 3-4 Ingr. 180x 240x 300x
NB: Disegno molto esatto (v. oss. precedenti). Aspetti uniformi, assenza M.R. e NEB
Passaggi M.R.:
Est. prec. 5 58 w_1 = 259.8
Centro 6 18 w_1 = 271.9
Est. reg. 6 38 w_1 = 284.0
w_2 = 271.3
w_1 = 239°
M.R: impressione: "piatta"

13.XI Ore 2 30 Imm 1 per ca 5m, in generale però imm. 6 con brevi intervalli 2-3 Ingr. 180x
w_2 = 294.4
NB. Si constata che con imm. ottime (5-6) la M.R. sembra più ridotta (v. passaggi al M.R. osservati in ottobre). NB Occhio già bene esercitato.
Aspetto interessante con imm. ①: Pennacchio M.R. e magnifico effetto plastico della NEB nettissima verso la ZE. con condensazioni e nodi interessanti. Bordo Nord SEBn molto netto (banda)
Dettagli delicati. Zone temp. Nord (BTN-BTNN) non meglio identificati causa la brevità di ottime imm.
Passaggi dett. NEB: ore 1 55 w_1 = 237.8 Leggera pennacchio ZE pertinente dal dett. NEB
La M.R. è visibile ancora intensa fino alle 3.10 w_2 = 309°
Passaggi M.R.:
E. pr. (1 50 w_2 = 269.0)
Centro 2 07 w_2 = 270.5
E. reg. 2 27 w_2 = 282.6
Ore 3 28 w_1 = 294° w_2 = 319.4
Imm 3-4 Ingr 180x
M.R: visibile Est. reg.
2 zone chiare N e S. BTN
Oss. troppo brevi. Imm. 2 nulle causa: occhio abbagliato

13.XI Ore 22 10 w_2 = 278°
Con 18cm. Imm.: 21 40 – 22 00. 2-3 poi 4-5 Ingr. 190x, 143x
NB. A parità di imm. (2-3) è molto meglio il 25c
Cambiamento: dett. NEB (sic.), lingua di materia chiara indebolita nelle zone di 2nd dett. generale meno evidente. Pennacchio M.R.: imm. nulla
NB. Con ottime imm. est. seguente sembra più corta
Est. prec. 21 38 (40) w_2 = 258.6 (259.8)
Centro 21 58 w_2 = 270°.7
Est. reg. 22 18 (16) w_2 = 282°.8 (281.6)

14.XI Ore 22 50 w_1 = 84° Obb. 18cm w_2 = 92°.5 Ingr. 143x
instellature 190x
Imm. 2-3
NB. Oss. a Brugo: imm. 1-2-3
Dei dett. non più attentam. studiati: ore 23.15 ca scompare dietro il letto. Si potrebbe accuratamente rilevarli

17.XI ore 4 50 Ingr. 300x 240x
w_1 = 256°.2 w_2 = 280°.6
Imm 1-2
ore 5 52 Ingr. 240x (180x) – Ore 6 → imm. 6-5
Imm. 2-4
M. R (color crème)
Est. prec. 5 06 w_2 = 261°.5
Centro 5 27 w_2 = 273°.0
Est. reg. 5 46 w_2 = 284°.5
M.R: intensità e ampiezza notevoli; nessun pennacchio a sud (imm. 2 molto brevi)
w_2 = 288°
w_1 = 294° (non dett. NEB)

15.XI. Cielo spazzato da vento in direzione; imm. 7-8 !!

NB. Il dett. NEB (lingua, ecc.) è rimasto ~=; l'osserv. del 13.XI (vero, col 18) (forte cambiamento) non è attendibile (imm. 4)
Dett. NEB: a. macchietta bianca emisferica; b. rimanto chiaro
c. da notare il suo spostam. rispetto ai dett. bordo sud NEB (v. oss. precedenti): determinano i relativi periodi di rotazione. Il materiale scuro (dett. ② S.E.B.n.) rimasto sotto l'est. reg. M.R., dopo un arresto tende a fluire lentamente sotto la M.R. spinto dalla corrente equatoriale (E.Z.), il condensamento è probabilm. costituito dai materiali della S.E.B.n. rallentati nel loro mov. (imit. ☿) dalla M.R.

20.XI Ore 2 10
Passaggio b: w_2 = 272°.7
w_2 = 245° Obb. 25cm
a: passaggio 1h 30m w_2 = 248°.3
Imm 1-3. Immagine perfetta per ~ 5s ogni 20s. Ingr. 180x
Alle 2 30 → forti bandine di nebbia impediscono oss.

22.XI Ore 1 00 w_2 = 143°.6 (passaggio dett. N.T.B.)
" macchietta
scure: 1 18 w_2 = 154°.5
Forme indecise con imm. 5 (180x 240x)
Alle 0 00 imm. 6-7
1 00 " 5
2 00 " 3
3 00 " 6
Oss. sospese alle 3°: inizio bora già ben studiata + imm. mediocri (occhio stanco) - Cielo limpido: probabilm. venti (non forti) in altitudine: oss. luna: ondulazioni abb. forti ma uniche.

20.XI. Imm. 2-4 Obb. 18cm. Ingr. 190x
NEB: nettissima (come "flou")
a): ore 21 07 w_1 = 246°
b): ore 22 00 w_2 = 244°.5
c): ore 22 27 w_1 = 295°
Osservazioni buone, ma un po' più affaticanti che col 25cm.
NB: il dett. d) corrisponde al c) 13/17.XI

Imm. 2-3 Ingr. 190x
M.R. frastagliata?!:
Est. pr. 22 28 w_2 = 261°.3
Centro 22 47 w_2 = 272°.8

Ore 2 10 w_2 = 186°
Imm. 3-4 w_1 = 228°.6

22.XI Ore 21° Terminatore: ~ 8 crateri ovest Ptolemeo, ovest Endoxus, Aken, Gauss.
luna età 16.1
Obb. 18cm. 190x
Doppio cratere Mersen
più vicino
← forme a pera, poco profonde (ombra piccola) macchietta centrale
Tutta la regione è coperta di piccoli punti bianchissimi (id. Platone)

22.XI. Ore 20 40 – Ingr. 143x
w_2 = 137° w_1 = 185°.6
Oss. sospese ~ 22h: aspetto = all'ingresso (imm. 4)
v. dett. ⓑ ⓓ ecc.
← formazioni indecise, con luce, delicate + intermittenze ⓑ =
Imm. 2 ma nebbia + alti
a) pass. 21° w_2 = 155°

24.XI Ore 20 30 Obb. 18cm. 190x
Imm. 3-4 + forte nebbia, contrast. debolissimi. Dettagli non visibili
w_1 = 135°.5
w_2 = 71°.7
Sospeso alle 21° → coperto (nebbia)

27.XI. Ore 19: Oss. E 1 E 2 Lyrae, dischetti visibili quasi continuam. bande vibranti ap. ½

28.XI Ore 20 30 Obb. 18cm. Immagini agitate (5): esame affaticante, rari istanti utilizzabili
Ingr. 190x
S.S.T.B visibile (flou)
SEBs. + S.T.Z. grigio sfumate verso il bordo
N.N.T.B evidentissima
N.N.N. T.B molto debole
Immagini vanno migliorando: da 5 (ore 20) a 4 (ore 21) a 3 (ore 22) a 2-3 (ore 22 30)

21.XI. Ore 21 30. Obb. 18 Imm. 4-5 Ingr. 190x
w_1 = 58° w_2 = 16°.7
Passaggio macchia più bianca E.Z.
Con imm. 5 (3 per troppo corti istant.) non si scorge dett.
Imm 2-3 ore 22 23 w_1 = 90°.3 w_2 = 48°.7
Passaggi dett.
a) 22 12 w_1 = 83°.6
b) 22 34 w_1 = 97°.0
Fenomeno importante (da controllare): velo chiaro su tutto l'emisfero Nord, ricoprente le sottili bande scure (w_2 = 35°)
a - filamenti: tenuissimi E.Z. (dubbi)
b - interruzione bande T.N e T.NN. tra 160° e 190° sist. III
c - instellature, passaggi al meridiano ca 2 20 w_2 = 192°
d - pass. 2 38 w_1 = 245°.6
Osservazioni non molto agevoli: rari momenti utilizzabili

27.XI. Ore 4 45. Obb. 25. Imm. ②-3 Ingr. 180x
w_1 = 33°.1 w_2 = 311°.7
← S.P.Z. più scura delle N.P.Z. bande bianche (come E.Z.)
← N3 condensazioni SEBn.
← verso il centro bordo S. NEB: flou
← ben visibile
← molto netta
← debole
B.T.S < B.T.S.S.
B.T.N < B.T.NN. > B.T.NNN. (simile a N.P.Z.)
Dett. c): persistente
Tempo calmo (leggera cuv. N.) nebbie alte: alle 6 30 coperto.

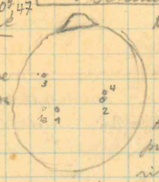
ore 6 00 Imm. 5-6
w_1 = 78°.8 w_2 = 357°
NB Aspetto da controllare (cam. sud)

v. pag. seguente

27. XI. Ore 5^{30}. Terminatore: centro Bessel. – Orest. Endoscopus ~ Delambre (v. Libra)

Età Luna 20^{g},47

Platone



N°4 oggetti: nettamente come "craterlets" con ombra int. Altri piccoli punti chiari non rilevati. Zone di diverso tonalità id.

Imm. 3 (condizioni)
Ingr. 300×
Oss.: Hyginus, id. oss. Roy, Ir. Astronomie



Mt. Piton
Aspetto complicato

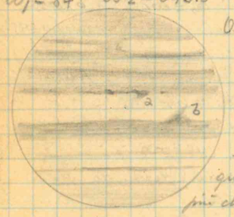
Oss. Linnea: aureola chiara (Nord-ellenyato verso Ovest. Cratere netto e piccolo)

"immagini fantasma" e "aigrettes" in movimento continuo. – doppia 61 Cigno: colore giallo arancio ambedue – doppia β Cigno: arancio-pallo

28. XI. Osservazioni odierne:
- nebulosa anulare Lira 180×
- doppia $\varepsilon^1\varepsilon^2$ Lira 300 × e 360×
- doppia OΣ371 (Lira): e intervalli nettam. sdoppiate: 0".81: intervalle nero ben netto, sarebbe possibile (forse) sdoppiare a 1/2 (0".4) con buone imm.
- doppia ζ Cigno: non sdoppiata! (differenza troppo grande di luminosità tra le componenti: 3.8 – 8) il disco centrale si vede, ma è circondato da

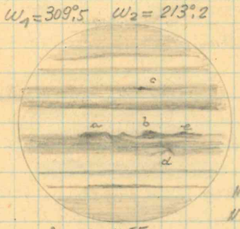
NB Si vede il disco centrale da 5^{m} in giù

28. XI. Ore 21^{30} (passaggi dell. S.T.Z.)
w_1 = 84° w_2 = 349.5



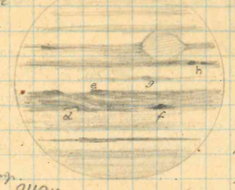
Obb. 18. Imm 4-3
Ingr. 190×
a) ore 21^{50} w_1 = 36°.2 w_2 = 4°,6
Dopo il dett. S.T.Z. la S.S.T.B. scompare quasi, la S.T.Z. è più chiara, la S.T.B è più netta e scura, S.Tr.2. più chiara
b) ore 22^{12} w_1 = 109°.6 w_2 = 115°

29. XI. Ore 3^{40} Obb. 25. Imm. 3 (4) Ingr. 360× (1 buono) 360 × 240×



w_1 = 309°.5 w_2 = 213°.2

w_1 = 355°.3 ore 4^{55}
w_2 = 258°.6



Imm 2-3

Passaggi del M.C.:
dett. a) estr. prec. 3^{15} w_1 = 294°.3
estr. seg. 3^{31} w_1 = 304°
„ b) ore 4^{10} w_1 = 327°.8
„ c) ore 3^{55} w_2 = 222°.2
„ d) ore 4^{22} (w_1 = 335°.1) w_2 = 238°.6
„ e) ore 4^{45} w_1 = 349°.2
N.N.N.T.B scomparsa - NNTB sempre forte
NTB meno della NNTB – SS.T.B: riformata

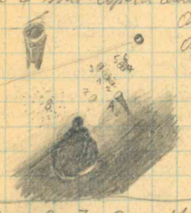
Passaggi del M.C.
dett. f) ore 5^{24} w_2 = 276°
dett. g) ore 5^{07} w_1 = 2°.6
M.R. prec. „ 5^{06} w_2 = 265°.2
„ centr. „ 5^{25} w_2 = 276°.7
„ seg. „ 5^{44} w_2 = 288°.2
h): N°3 condensazioni (v. oss. 27 XI) w_2 = 33°.5^{57} (Imm. 1 cm.)
NTB: larga e debole; NNTB forte: NNTB più larga e più debole NTB

(contrasto esagerato (imm. reale) e diffusione colore a fuoco?)

grigia (rosa?)

Imp. 240×

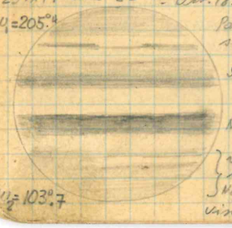
29. XI. Ore 6: Luna. Oss. Platone:
Luce radente: oggetti 1 e 3 come "craterlets" con bordo rialzato, è visibile anche un oggetto simile, più piccolo (13). I N.ri 2 e 4 sono coperti dalle ombre rimpetto est.



Oss. "Hyginus":
Oggetti A, 1, 2, 3, 4, 5, 6, 7
Tutti come leggere colline, con ombra protesa. Lo parte illuminata è molto complessa (pavimentata, irregolari blocchi, ecc.) Regione B: copertura di blocchi isolati, aspetto generale granuloso.
Terminatore: ovest Platone, (Finsen Eschum), Thebit (est), Magnus, ovest temp. Clavius.
Età Luna 22^{g},55 → Imm. 4

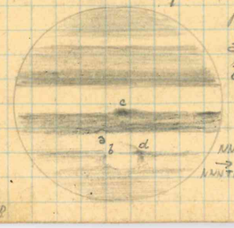
29. XI. Ore 7: Oss. Marte: disco netto arancio-to senza nessuna macchia (φ 4".3) nembo forte (0.67)
Ore Oss. Saturno: anello più esposto, divisione Cassini difficile, ombra del disco sull'anello; an. crepe visibile sul disco. (molto basso, imm. 6)

29. XI. Ore 20^{30}. Obb. 18. 190× Imm 4



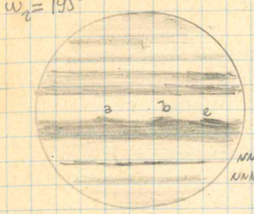
w_1 = 205°.4
Passaggio centro nella S.T.B
S.E.B$^{s}_{n}$ unite
N.E.B. senza dett. apparenti
} velo grigio nella metà precedente
Nella metà seg. visibili N.N.T.B e N.N.T.B
w_2 = 103°.7

ore 21^{38} w_1 = 246°.8 w_2 = 144°.9 – Imm. 2-3 Ingr. 180×



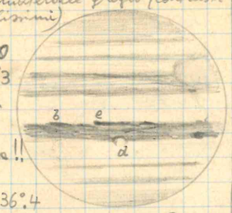
Passaggi del M.C. di dett.:
a) 21^{22} w_2 = 135°.2 macchietta bianca diffusa
b) 21^{23} w_2 = 135°.8
c) 21^{37} w_1 = 246°.2 lingua chiara molto evidente
d) 21^{55} w_2 = 154°.1
N.N.T.B → contrast. esagerati, in realtà forme indecise
N.N.T.B debole semi-toni

2. XII. Ore 20^{30}. Imm. 4 – Obb. 18 cm. Ingr. 190×
w_1 = 319°.4
w_2 = 195°



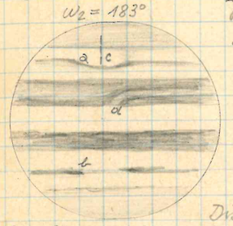
Passaggi dett.
b) 20^{m}45^{s} w_1 = 328°.0
e) 21^{h}19^{m} w_1 = 349°.3
Confronto con la oss. 29. XI (25 cm) imm 3-4: differenza!!
d) 21^{38}: w_2 = 236°.4
N.N.T.B netta
N.N.T.B larga, "flou" (lingua chiara molto evidente)

La E.Z. è formato da nubi più lucenti e materiale grigio (contrasti debolissimi)



Imm. 2-3

Ore 20^{55}. Imm. 5
w_2 = 183°

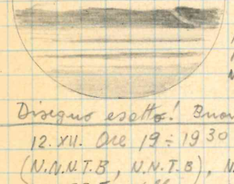


Fino alle 21^{h} col 18, dalle 23^{00} col 25 cm.

Ore 2 del 9. XII: grigia, coperto, nulla!

Passaggi:
a) 20 40 w_2 = 173°.9 ~
b) 20 45 w_2 = 176°.9 ~
c) 20 50 w_2 = 180° ~
d) 20 55 w_1 = 1°.6
NB Determinazioni imprecise (imm. 5)
S.P.R più aspa di N.P.R.
Disegno non esatto!!

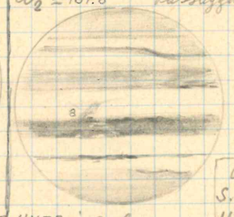
10. XII. Ore 21^{08}



Obb. 18 c. 190×
Imm. 2-3. w_1 = 167°
a) Ore 21^{08} w_2 = 341°.1
Dopo il dett. a) la S.T.B ridiventa forte (come) e la S5TB più debole
N.T.B molto evidente
N.N.T.B più forte
N.N.N.T.B: quasi invisibile

Disegno esatto! Buone condizioni

9. XII. Ore 20^{30}. Imm. 4
w_1 = 345°.4
w_2 = 167°.8

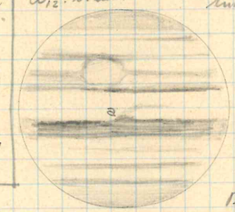


Obb. 18 cm. Ingr. 190×
Passaggio dett. (confuso)
a) ore 20^{05}
w_1 = 331°.1
(forme non meglio identificata, da controllare!)

V.N.T.B irregolare – Alle 23 → coperto! Oss. M.R. col 25 cm. rimandata!

Colori:
S.E.B$^{s}_{n}$: gialla
N.E.B: rosso-bruna

10. XII. Ore 19^{35}. Obb. 18 cm. Ingr. 190×. Tempo coperto tutto il giorno, schiarante alla sera.
w_{12}: v. dett.



Imm. da 6 (ore 18^{30}) a 3-4
(lingua bianca inoltre dalla v. dett. b 28. XI)

Passaggi:
M.R. estr. pr. 18^{57} w_2 = 262°
centr. 19^{16} w_2 = 273°.5
est. seg. 19^{35} w_2 = 285°
dett. a) 19^{35} w_1 = 110°.9
N.T.B filiforme, debole
N.N.N.T.B: "flou", larga, grigia

Prima della M.R. la S.T.B è larga e grigia, dopo diventa sottile e più diff. da vedere

12. XII. Ore 18.30 Luna, età 6.25^{g}
Doppio rotore Hesner. Osserva. accurata, malgrado imm. 5-6. Obb. 25 c. Ingr. 240×.

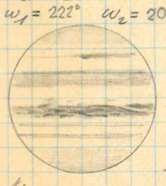


Terminatore: 1 φ est Autolycus 0.9 φ est Manolycus – (Limneo)

Ol. crat. Limneo non è ancora visibile (terminator)

12. XII. Ore 19 ÷ 19^{30} w_1 = 46° ÷ 64°; w_2 = 205° ÷ 223°. Imm. 6 (5) Obb. 18 cm 190× Visibili: (N.N.N.T.B, N.N.T.B), NEB, SEB$^{n}_{s}$, SEB$^{s}_{n}$ (separata), S.T.B, S.S.T.B, nessun dett. (Imm. = nel 18 cm e nel 25)

Ore 23^{50} Obb. 25. 180× Imm. 2 (4, nubi)
w_1 = 222° w_2 = 20°



Dalle 24 → coperto
Si vede una netta diff. tra l'oss. col 18 cm. nei momenti calmi: questi ultimi sono pure più frequente. N.E.B.: dettagli interessanti non meglio rilevati per mancanza di tempo (nuvolamenti)
La E.Z., parte N., è invasa da mat. grigio proveniente dalla V.E.B

13. Dalle 20 → annuvolato

16. XII. Ore 21 – 21^{30}. Luna, età 10^{g},3
Imm. 6 (21^{h}5') 4 (21.30)



Obb. 25
Ingr. 240×

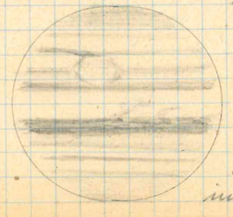


Disegno esatto! (semi-toni, ecc.)

Oss effettuate in brevi schiarite tra le nubi
Oss Limneo: cratere invisibile(?), aureola bianca "flou"

16. XII. Ore 22. w_1 = 67°; w_2 = 195°. Visibili: V.N.N.T.B – N.N.T.B – NEB – SEB$^{n}_{s}$ (sep.) – ST.B – S.S.T.B – Dal 12. XII ÷ 16; 17 ÷ 19: coperto

20. XII. Ore 18^{00} → 22 → imm. 7-8!! (col 18 cm.) cielo limpidissimo. Tutti visibili NEB-SEB con difficoltà!!
Alle 22 "cielo a pecorelle"
Immagini tremolanti
8 – 9 – 10 – – –



21. XII. Ore 23.37 – w_1 = 196°
Imm. (2-3 per 10^{m}). poi coperto
Passagg. (approssimativi) NP (rosa?)
centro 23^{18} w_2 = 274°.1
est. seg. 23^{37} w_2 = 285°.6
Dettagli grigi complessivamente invasi dalla E.Z. (N.)

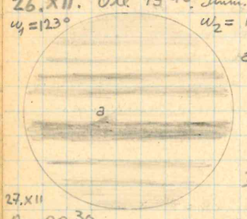
Tempo in generale coperto, brevi schiarite (imm. 5-6) con schiarite più ampie: imm. 2-3.

Alle 24^{00} → coperto totalmente.

Oss. luna con lastre = penosa.

24.XII. Ore 00 → Cielo molto nuvoloso, brume. ♃ visibile con alone, splendore molto attenuato. Oss. tel. 25 cm. Imm. 8. Ingr. 75x ÷ 360x praticamente = ; visibili, con difficoltà N.EB, SEB – Esplorense oss. turbolenza con oculari: nessun "remous" locale o vicino (o leggerissimi) strumento ben equilibrato tecnicam.; remous fortissimi irregolari in altitudine, onde ampie e vibrazioni ondulatorie in addizione a 1÷2 mm. indietro del fuoco; immagine ♃ ondulante fino a 1/3° dal centro. Dischetti sat. invisibili: invece macchie "floue". L'imm. telescopica del disco sembra ferma (soglie di percezione non raggiunte) ma estremamente "floue". Oss. terminat. lunare: ondulaz. ampie, risolv. ~2"-3". ♃ ore 00 30: la M.R. è invisibile benché debba trovarsi ca. al M.C. Oss. sospese. ~258°

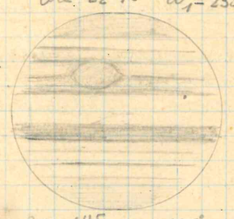
26.XII. Ore 19 40. Imm. 5-6-7. Obb. 18 cm. w_1=123° w_2=174°.2 Ingr. 190x



a - passaggio mancato: sfiorato tra 19h15m – 19h25m; w_1=108° ÷ 114° (media 111°)

Oss. inizio occult. IJ. ore 00.24m.

Ore 22 45 w_1=335°.7 w_2=286° - Imm. 4-6. Ingr. 240x



Passaggio M.R.: Obb. 25 cm.
centro 22 27 w_2 = 275°.0 } non sic. 100%
estr. seg. 22 47 w_2 = 287°.1 }
Nota. La M.R. sembra più allungata in long. (? imm. 6!)
Color crème, rose?

27.XII
Ore 00 30 w_1=299°.7 ; w_2=349°.5 Imm. 4 Ingr. 240x



a): w_2=350° → giallo (sfumato) → bruno → bruno viola → più larga e più debole → N.N.N.T.B: debolissima

Ore 1 45 w_1=335°.4 ; w_2=34°.9 - Imm. 4. Ingr. 180x

Imm.: a. 2h25m w_1 = 9°.8
b. 2h26m w_2 = 59°.6
C. velo chiaro; inizio 200° ~ w_2 = 44°
zone prec. studiata: rilievo caratteristico (v. oss. mar.) quasi scomparso, leggere ondulazioni e zone less più chiare. Impossibile prendere passaggi M.C. più deboli

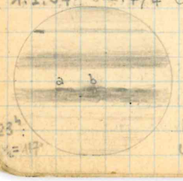
27.XII. Ore 19 → 23: condizioni pessime per oss. planetarie (imm. 7, spesso oltre 2") ma abbastanza buone per nebulose. Oss. Messier 31 (Andromeda): enorme diffusa grande il doppio campo 72x. M. 20 e 32 - Messier 33 (Triangolo) debolissima, con difficoltà in serie corale: osservazioni sfavorevoli per la luce crepuscolare diffusa.

28/29 XII. Ore 24/00. Oss. passaggio M.R.. Imm. 6-7. Ingr. 180x (240x non applicabile) la M.R. è difficilmente visibile. Turbolenza combinata: locale (iss. vento: tetto) e in alto. Passaggi: estr. prec. 23 48 w_2=264°.9; centro 00°6 w_2=275°.7; estr. seg. 00 24 w_2=286°.6; $\varepsilon_{long.}$ = 21.7
NB. Con cattive imm. la M.R. sembra più inclinata (fatto confermato)
L'aspetto delle bande e zone è ~ = a quello osservato il 26.XII ore 2245.

31.XII. Ore 22°÷23°° w_1 = 277°.3 ÷ 313°.9 ; w_2 = 290°.4 ÷ 326°.7 : nessuna anomalia o perturbazione analoga per es. ai dett. A÷D (cintura generale Nov.), bande ~ regolari (imm. 7, istanti 3)
Ore 24°°: S.S.T.B più scure NEB (molto larga) e S.E.B. (non separata e confusa con la S.T.B. quasi invisibile) N=N.N.T.B: invisibili (forse per cattive imm. ~ 7/8.)
Oss. importante: emersione sat. III dall'ombra: s'incomincia a scorgerlo come stella debolissima ca. 7÷8m prima dell'ora indicata (imm.: aumenta quindi gradatamente di splendore e raggiunge il normale ~ all'ora indicata (23h55m T.U. o 00h35 T.M.E.C.) Fenomeno da confermare con ulteriori oss. (v. Annuario '54).

~1954~

1.I.54 Imm. 7/4 Obb. 25 cm. Ingr. 240x



Passaggi al M.C.
a) 22h40m w_1=100°.2
b) 23h02m w_2=113°.6
le punte (x) del 26.XII passano alle 21h25m
w_2 = 59°.4

2.I ore 2 45 Imm. 5-7 Ingr. 240x. Oss. difficoltosa, effettuata

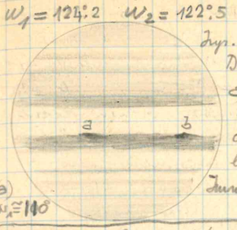


N.T.B debolissima - N.N.T.B > N.N.T.B bene evidenti - S.T.B - S.S.T.B confuse

Passagg. M.R.: (non sic. tutte)	Dettagli da notare:
est. prec. 3h06m: w_2 = 265.9	corrente di mat. scura
centro 3h24m: w_2 = 276°.8	a sud della M.R. in
est. seg. 3h42m: w_2 = 287°.7	direzione obliqua

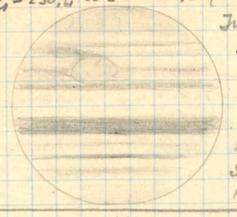
Long. dett. a) dedotta dal dis.: M.C. II – 34° = 146° II.
Dopo la M.R. le componenti S.E.B. sono ben separate e n.

2.I Ore 19°°. Obb. 18 cm. w_1 = 127°.2 w_2 = 122°.5 Ingr. 140x Dett.



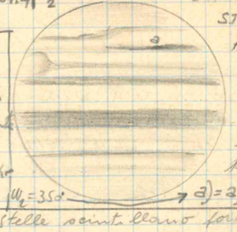
a) w_2=110
a)÷b): da controllare. Imm. 5

2.I. Ore 23 33 - Obb. 25 cm. Ingr. 180x w_1 = 290°.6 w_2 = 287°.5 (est. seg. M.R.)



Imm. 3-5
Leggera ombra parte sud M.R.(?)
S.T.B dopo M.R.: debolissima
SSTB vicina S.T.B: evidente
N.E.B regolare
S.E.B?: ben separata dopo M.R.

Imm. 4 w_1 = 331°.4 3.I. Ore 00 40 w_2 = 328°.0 180x



w_2=335° → a)=a) 27.XII

Dett. interessanti. STB, SSTB. Altre bande regolari. NB contrasti accentuati: in tutti i dischi

6.I. Ore 18 obb. 25 ingr. 20 cm.: nessun miglioram. sensibile: imm. 7-8. Stelle scintillano fortemente. Tempo coperto tutta la giornata (nevicata il giorno prima) rischiarato verso sera; temperat. ~ -5° precedentemente rotaretto nelle vicinanze ma anche(?)

12.I. Ore 18 30 Luna età ___ Crotere Linneo invisibile, aureola diffusa ben visibile
Imm. 6-7 (Vento N-NO.) Obb. 25 Ingr.: 180 ÷ 360; "rayures" Triesnecker visibili in parte
Mte Piton come prec: osservazioni con 18 cm., nessun miglior dett. (cattive imm.)

Dal 3.I al 14 I: nubicate, venti nordici forti e fortissimi, ammoniamenti irregolari. Ogni oss. è quasi impossibile.

15.I. Ore 18 40 w_1 = 5°.1 - Obb. 18 cm. 190x

Imm. 4
a) ore 18 38 w_2 = 263°.4
est. prec. M.R.
ore 18 43 w_2 = 266°.4

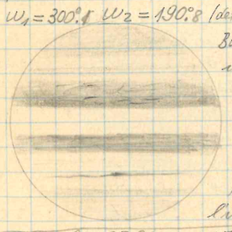
C<D ; B<D ; A<E
A+B = E - 0.1ϕ

Ore 22 35 pass. a) w_2 = 46°.5 ; w_1 = 148°.3 - Obb. 25 cm. - 180x - 240x

Imm.: 5 - (Fino a 85° II e 188° I nessun dett. int.)
Disegno buono (tonalità, proporzioni lat.)
Le bande dell'em. nord sono quasi invisibili (fase per cattive imm.) in ogni caso molto deboli.
N E B bordo S. ondulato leggerm.
Oss. sospese alle 23 30: imm. 6-7
Legg. vento N (odore fumo di legna caratteristico)

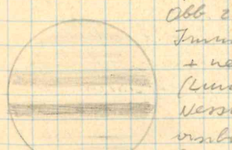
Oss. Lunari varie (età ___) Linneo sempre invisibile, altri "crateletti" vis. (come anelli bianchi)
Mte Piton come oss. e dis. precedenti - Platone con 1-2-3(?) punti chiari. Oss. effettuate (imm. 7)

16.I Ore 22 25 - Obb. 25. Imm. 5-6. 7/8 ×
w_1 = 300°.8 w_2 = 190°.8 (dett. N.N.T.B)



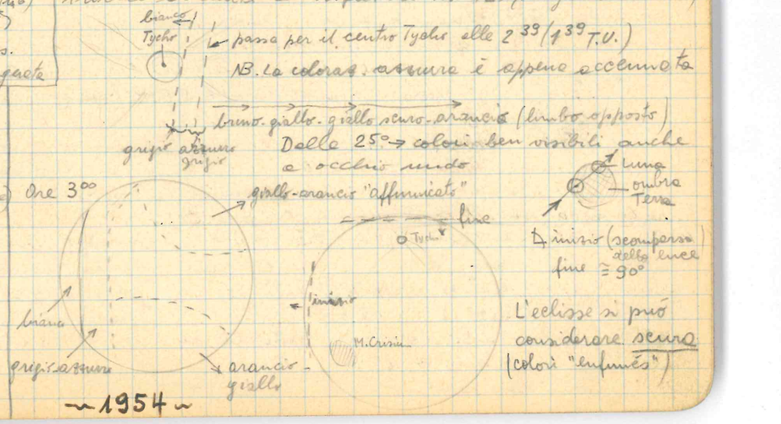
Bande em. S quasi invisibile.
SEB e T.Z. con dett. confusi non riproducibili (fig.)
N.E.B. idem
NNTB: sul dis. l'intensità è esagerata

20.I. Ore 23 30 w_1 = 251°.6 ; w_2 = 111°.3
Obb. 25 cm. 183x
Imm. 5-6
+ nebbia alta (luna con alone) Nessun dett. visibile.
Prova imm. su 52 Ori.:
difficile sdoppiata.
NB. Dis T: intensità bande ben proporzionate



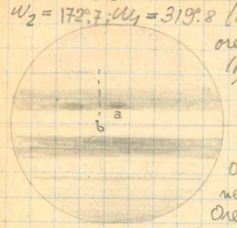
17.I Ore 00÷01: Imm. 7/8
Passaggi M.R. (dubbio)
ore 00 45 w_2 ≅ 275° (centro)
M.R. quasi invisibile
Oss. affettuate e non utili, sospese 01h
invece evidenti al riflettore a 72x (migliori che 180x)

19.1. Oss. Eclisse tot. di Luna
Inizio oss. ore 2 20: fase già avanzata. Oss. occhio nudo: colorazioni invisibili (zenit e parte ancora illuminata) col "chercheur" si vedono diff., sono



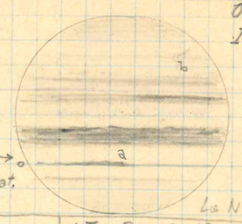
~1954~

21.I Ore 21°03 Obb. 25 disp. 20 cm. $w_2 = 172°.7$ - $w_1 = 319°.8$ (pass. a)

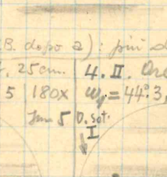


ore 20 43 $w_1 = 307°.6$ (pass. b, metà fra le 2 macchie)
Imm. 5-6
Ingr. 183×
Ore 22: imm. 6 nessun dettaglio
Ore 23: imm. 8!
oss. sospese (odore caratteristico)

22.I Sole: nessuna Macchia
25.I " : " "



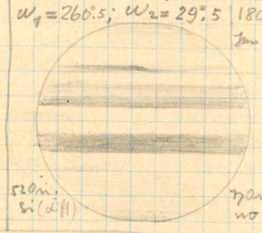
28.I. Pass. a) ore 22 30 $w_2 = 197°$
Obb. 25. Ingr. 180× - Imm. 3-4 $w_1 = 38°$
Occultaz. sat. a Mezza N.T.B: ore 22 40: inizio
Inizio rimorsam. SEB n.: 22h40 ($w_1 = 44°$ - $w_2 = 203°$)
b) ore 23 05 $w_2 = 218°.3$
c) ore 23 30 $w_2 = 233°.4$
Imm. 4-5
NB: 50 Ori si sdoppia (ca. 1m - 180→)
70 Ori solo 360×



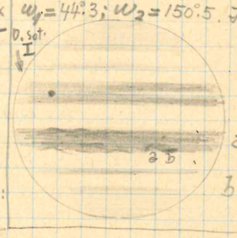
La N.T.B. dopo a): più debole

29.I. 180× M.R.:
Estinz. 0^h25 $w_2 = 266°.5$
Centro 0^h42 $w_2 = 276°.8$
Ecsy. 0^h59 $w_2 = 287°.1$
Immagini molto irregolari: rari istanti 2-3, generalmente 5-6; M.R. difficile (pallida)
0^h42 $w_1 = 118°.4$

1.II. Ore 21 10 Obb. 25cm. 180× Imm. 5
$w_1 = 266°.5$; $w_2 = 29°.5$

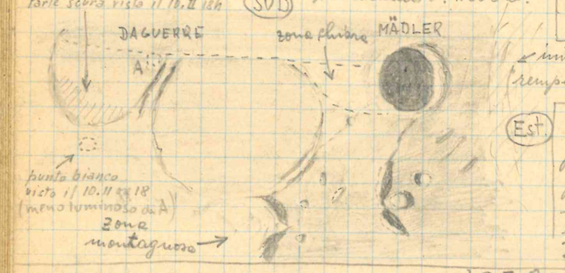


4.II. Ore 22°° Obb. 25. 180×
$w_1 = 44°.3$; $w_2 = 150°.5$. Imm. 2/3



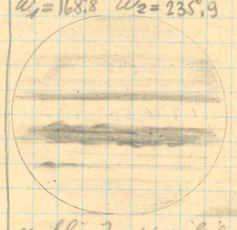
4
Ber. contr. NEB-E.Z. STB debole
a - 2240 $w_2 = 174°.7$
b - 2245 $w_2 = 177°.7$

8.II. Ore 20°° Luna età 5,1 g. Termin. est. Theophilus - Oggetti a Nord Mädler (in ordine d'importanza): tre colline disposte a petali divergenti; a est di queste: un "cratere con "remparts" est più basso di quelli ovest; tre colline (meno alte delle altre) la centrale delle quali è più lunga e la "boreale" è vicinissima ai remparts. A Ovest delle 3 colline: N°4 oggetti con ombra portata esterna (colline); N°1 oggetto sospetto piccolissimo (forse cratere?) unito con leggerissima linea scura a Mädler e al remp. est "grande circo" senza nome. Dalle 21 → cielo netto → vento elto. → imm. 7-8
Obb. 25 - Ingr. 240× Imm. 5 ma buone definizione per istanti. Nebbia.



8.II Ore 22°° Obb. 25 - 180× Imm. 6-7
$w_1 = 315°.2$ $w_2 = 31°.3$ - NB Questo disegno non è da prendere in considerazione per i dettagli ma solo per l'aspetto gen. 520 Ori: si facila 70 Ori: si alla 20³⁰ no 21³⁰→
Imm. 6? e 60°; imm. 8 sotto 30°-40° 21°°

9.II Ore 23.30 Obb. 25 180× Imm. 3-4 + leg. nebbia
$w_1 = 168°.8$ $w_2 = 235°.9$



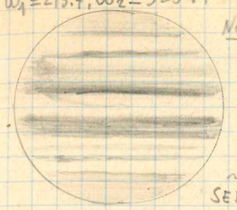
Note: Pennacchio S.T.Z. vicino bordo prec.
E.Z. "incontaminée" (debol. cont.)
N.E.B. bordi irregolari.
Nodulo scuro N.T.B. bordo prec.
Imm. 4 per ca 15 m. poi 6-7 (remous rapidissimi a grande altitudine, turbol. e medie in quasi nulle)
← Aspetto M.R ore 00 30 $w_2 = 23°$
con imm. 7 - contrasti quasi nulli. Impossibile prendere istantanee (520 Ori: no!!)

10.II. Luna età 7 - Ore 18°° 19°°: Imm. 5 (prima 3 per pezzi e poi) Oss. varie: Linneo: crat. invisibile, cuscola visibile, ridotta (18 sono ben visibili i crateretti vicini). Rainnes Triesnecker: molto più ad ESE di Daguerre (v. sopra: oppiente) Hessier-Pick.: ingiuele ore 12.XII - Piton → Oss. Grove 18°°-19°°-20°° (M.R.): imm. 6-7: esame difficoltoso M.R. invisibile - NB - Durante tutte le sere si alternano (ca 20ᵐ ognuno) imm. 7- e imm. 4.



m 1954 m

10.II. Ore 21 50 Obb. 25. 180× Imm. 4 (a lunghi intervalli)
$w_1 = 273°.7$; $w_2 = 325°.7$



Note: N.T.Z. chiara
N.Tr.Z. stretta
E.Z. larga = NEB
NEB doppie (?)
Q.N.T.B. visibile
Nessun piccolo dettaglio netto o contrastato
SEB n più scura NEB

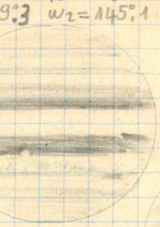
12.II Ore 19. Età Luna 9°. Imm. 3-6 (ovest Landsberg)
Alpetragius d Terminat.: Tre Clavius e Scheiner



d_1 quasi sempre visibile
d_2 visibile a tratti
Linneo: crat. invisibile
240× e 180×
Ore 22: Oss. contemporanee con imm. 3-4

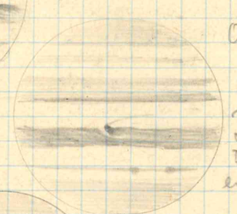
Imm. sfonda grigio irregolare. Dopo la M.R., la S.S.T.B. e la S.T.B. sono deboli.
Fenomeno sat. I o II (?): si osserva la sua scomparsa dietro il disco (~19°°) e la sua ricomparsa dall'altro limbo (~21 30) normalmente; dopo parecchi minuti (almeno 10) il sat. è quasi invisibile, a poco a poco acquista splendore per ritornare, dopo ca 20 m. allo stato normale

12.II. Ore 18 30 Obb. 25 180× Imm. 4/5 (per brevi momenti) (31)
$w_1 = 99°.3$ $w_2 = 145°.1$



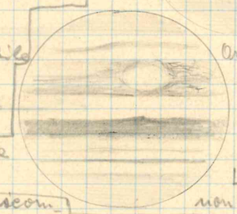
S.T.B - (SSTB) deboli.
Nota Gli aspetti disegnati NEB non possono essere molto fedeli (solo intravisti!)

Ore 19 30 - Imm. (2 μm) (in gen. 6)



Passaggi dett. NEB ~19.25 $w_1 = 132°.8$ ca
ore 19³⁰ $w_2 = 181°.4$
DETT NTB non così evidente

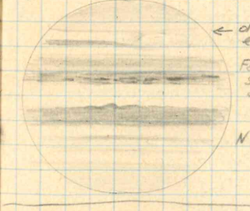
Ore 21 50 $w_1 = 221°.2$ - 180× Imm. 4
Passaggi M.R.:
estinz. (21 51 $w_2 = 266°.6$)
centro 22 11 $w_2 = 278°.6$
estr. w_2 (22 28 $w_2 = 289°.9$) ?
La M.R è debolissima (cielo non molto regolare) giacente su 7



Coordinate astronomiche Via Madonnetta 17 - Lugano

lat. N.: 46° 00' 25" - long. E. (Greenwich) 8° 57' 40",8. (tempo: $35^m 50^s,7166$)
in lat. 1" ≡ 30,87 m.; in long. 1" ≡ 21,56 m. = 0,0666 (Parigi) 6° 37' 27",3 (tempo: $26^m 29^s,7$)
$1^s \equiv 323,5$ m.

15.II. 23h20 - 180× Imm. 3
$w_1 = 29°.4$ $w_2 = 5°.1°$ Breve schiarita



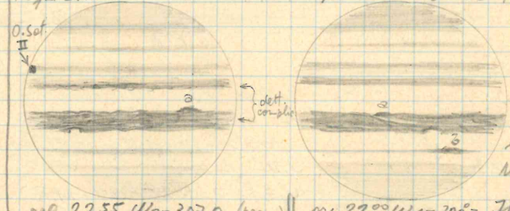
← dett. debolissimi e confusi
Fatti chicchi stellari visibili a tratti.
NTB > NNTB

Transito M.R.
centro $18^{01} w_2 = 279°.7$
rif. $18^{21} w_2 = 291°.8$
Pennacchi SEB n: ore $18^{30} w_1 = 350°$ ← debolissimo
Notare la forma della M.R.: brillante

25.II Ore 18 20 $w_1 = 344°.4$. Obb. 25 - 180× Imm. stupenda bande turbol. forte, dett. bellissimi SEB. Imm. 3 (6)
Ore 20 → imm. 6-7 + nebbia alta

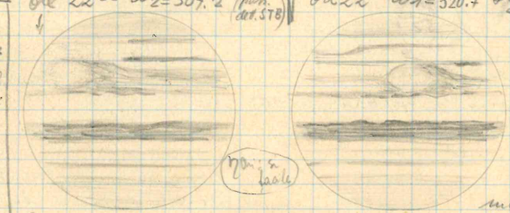
16.II: ore 20 ÷ 24: Imm. 6-7

24.II. Ore 19°° Imm: 6 (Imm 2) Ore 19 50 Imm. 4
$w_1 = 211°.0$ $w_2 = 165°.2$ $w_1 = 241°.5$ $w_2 = 195°.4$



Passaggi: (19 - 23°°)
a) mancato tra 19^{30}-19^{40} ~
b) 2022 $w_2 = 214°.7$
Brevi istanti si vedono dett. NEB finissimi.

ore 22 55 $w_2 = 307.2$ (pass. dett. STB)
ore 22°° $w_1 = 320°.7$



Imm. 3 ma nebbia alta
Transito M.R.
prec. $21^{50} w_2 = 267°.3$
centro $22^{09} w_2 = 279°.4$
rif. $22^{28} w_2 = 290°.9$
Contrasti deboli; M.R. relativamente difficile

Rinforzamento STB-SSTB. NB - Oss. continuate $18° \div 23^h$: immagini costanti ~ 4 (remous. vicini: tutto?)
Imm. 4 -
Le stelle scintillano poco: neanche Sirio! (sarebbe possibile → S.B) con soliti eco.

Dal 1.I al 31.XII. 1953 si sono avuti: 153 giorni di oss. e 160 sedute – Imm. medie: 4.2 (Flamm.) = 4,8 (W)

Quando la M.R. è scura (tipo 8) la S.E.B. è debole; inversamente quando la M.R. è invisibile ("hollow conspicuous") come quest'anno (tipo 1) la S.E.B. è molto sviluppato e scura. Nel 1° caso la S.Tr.2. è larga, nel 2° è stretta: da un articolo di Elmer J. Reese (della B.A.A.) su "The Strolling Astronomer" giugno '53.

5.III. Ore 18^{40} Imm. 2 (poi 15^{m}). Ott. 250 180× - NEB complicatissima
$w_1 = 178°.7$; $w_2 = 64°.2$
← dett. interessante scompare bordo prec.
← ombra meno contrastata
← dett. brillante N.!
Il 3° pennacchio E.Z. tramonta alle 19^{10} $w_1 = 197°$
19^{00} → nebbia
NEB
Transito 20^{06} $w_2 = 116°.2$

6.III. Ore 18^{30} – Vento da N. Ma imm. 5 a tratti (brevi), anche 3! con cielo ancora chiaro.
$w_1 = 330°.3$ $w_2 = 208°.3$
a) 18^{17} $w_2 = 201°.1$. Dalle 19 → imm. 5-6
b) 18^{32} $w_1 = 331°.5$ Dalle 20 alle 21: oss. transito M.R. centro ~ 20^{30} ($w_2 \cong 281°$)
c) 18^{48} $w_2 = 219°.2$
oss. difficile, ma viene confermata nell'aspetto gen. il dis. 25.II u.s. Ott. 25 cm. 180×.

Oss. Luna età 1.6: occhiuzzando spettacolo magnifico Luce Cinerea fortissima a notte colata.

Oss. Urano: ricerca con cercherchen (cantina Ass. Flamm.) presso Ø 56 cm. 180×: grosso punto assurro; 360×: disco netto, ma remous ecc. (imm. 6-7)

Giove: scompare dietro Casa Rolandi alle 23^{40}.

Oss. Saturno: sorge alle 23^{45} tetto a est. 180×: imm. abbastanza buone rispetto alla posizione elevata: anello molto aperto; cassini invisibile; ombra disco su anello

7.III Ore 21^{46} $w_2 = -$
$w_1 = 247°.5$ (media 2 onde NEB)
Imm. 6 (immagini "povere" benché remous non forti). Prov. con 60×

8.III. Ore 18^{40} 180× Imm. 3
$w_1 = 291°.9$ $w_2 = 154°.$
pennacchio dietro E.Z.
O. Sat. I
SEB ben separata
← WNTB invisibile

Ore 21^{20}. 180× Imm. 3 + nebbia (nubi)
$w_2 = 251°.2$ $w_1 = 29°.4$ (pass. centro intenso SEB n.)
a) ~ 21^{00} ($w_2 = 239°.8$)
b) 21^{34} $w_1 = 37°.9$
← separaz. meno netta che nel dis. prec. (8 e 9)
M.R. difficile bordo prec.
← a): centro 2 macchiette scure WNTB
← WNTB: visibile (debole)
Dalle 22 → annuvolamento: tramonto M.R. mancato (22° non ha poco (ca 2 m) in 23h.

8.III. Ore 19^{00} Luna età 3,65
Imm. 3 240×
Il terminat. passa a 50" a est Pick.
Ombre e forme esatte
forse più piccolo
pennacchio esterno
ombra esterna sfumata
Mener - Pickering.

NEB separata da linee chiare irregolari ancora perfettamente al M.C. ma manca poco (ca 2 m) in 23h.

9.III Ore 18^{10} 240× Imm. 2 (1)
$w_1 = 71°.3$ $w_2 = 286°.5$
M.R.: centro 18^{09} $w_2 = 285°.9$
est. orl. 18^{29} $w_2 = 298°$
E.Z. legg. flatt.
3) macchia chiara 18^{20} $w_1 = 77°.4$
M.R.: più piccola che nel disegno!

Ore 20^{00} Imm. 4
$w_1 = 138°.3$ $w_2 = 353°$ 180×
← ombra est III.
← deboli

NB. Il pennacchio nell'interno M.R. non è così contrastato

— 1954 —

9.III Ore 20^{00} Età 4.7 g. Regione da osservare ancora il 7-8-9.IV (240×)
NB Aspetto con lemnato il 10.III
idem il 7.IV Età 4,3
Hessien - Pickering
Terminat.: Mädler - Maskelyn

Immagini buone 3-4. Disegni eccuati

Daguerre — Mädler
10.III Diffusione della regione su toplat. sud

10.III Ore 18^{40} Imm. 3-4 Ore 20^{40} Imm. 3-4
$w_1 = 247°.4$ $w_2 = 94°.7$ $w_1 = 320°.5$; $w_2 = 167°.2$
240×
180×

Oss. Lunari 15.III. Età 10.7 – Limer invisibile
Htz Piton: normale – Alpetragius d: d^1 ben visibile, d^2 a tratti: nettissimo – Cap Laplace: tre collinette come oss. Sig Rapp; quella a sud è più piccola e sottile delle altre due. 300× ma imm. 5-6!

15.III. Ore 13^{00} Oss. Sole: gruppo macchiette complesso. Con 360× i nuclei non sono neri ma hanno struttura fibrosa e complessa. Immagini buone, turbolenza debole.

Schizzo eseguito in 5 m
Posizione sul disco non determinata per mancanza di tempo.
~ N 13 macchie

16.III Ore 13-13^{30}
Stesso gruppo del 15. Imm. buone Ingr. 90×
N 19 macchie
Gruppo quasi al centro del disco solare
NB: disegno approssimativo

16.III. Oss. "Raggio luminoso" di Phocylides. Schizzi molto imprecisi per quel che riguarda dettagli di "remparts" e forme generale del cratere, ma esatti per il "Lichtstahl". Immagini poco buone (5-6) Ingr. 180× e 300×
Nubi + nebbia alta. Il limite dell'ombra a Nord è netto, quello sud è sfumato
NB La librazione in long. è (molto) forte e il cratere si trova vicino al bordo
① ② (1): ore 21^{00} età $11^{d}.73$
(2): ore 22^{00} " $11^{d}.78$
Librazione lat.:
" long.:

15.III Ore 18^{20} $w_1 = 303°.7$; $w_2 = 113°.2$; Imm. 4. Il bordo prec. del mare è sensibilm. più scuro del bordo seguente
a) 18^{21} $w_2 = 113°.8$; b) 18^{30} $w_1 = 309°.8$; c) 18^{50} $w_2 = 131°.3$
d) 18^{58} $w_2 = 136°.1$; e) 20^{07} $w_2 = 177°.8$
f) 20^{33} $w_2 = 193°.5$ g) 20^{45} $w_1 \cong 32°$ non sic.
Ingr. 180×
ombra est I
molto intensa
e-f: più vicini

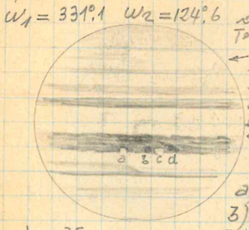
16.III Ore 18^{50} 180× Imm. 3
$w_1 = 119°.7$ $w_2 = 281°.4$ M.R.: est. prec. confuso
b.m pennacchio
M.R.: ombra cava interna
a
← Bordo prec. N° 2 molto
← NEB striscia più chiara irregolare
Passaggio M.R.: centro 18^{52} $w_2 = 282°.6$
est. orl. 19^{12} $w_2 = 294°.7$;

Ore 20^{00} $w_1 = 162°.2$ $w_2 = 323°.7$; Imm. 3
qualche irregolarità frastagliata
separata irregolare
a) 19^{53} $w_2 = 158°$
abbastanza unita debole
S.T.B
~ ore 21^{15} $w_2 = 360° = 0°$

21°00 → coperto!

17.III ore 20.18 . Imm. 3 180× + nebbia alta (nembi). Temperatura mite ← vegetazione al limite di percezione

$w_1 = 331°.1$ $w_2 = 124°.6$

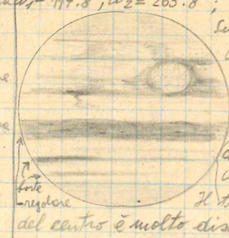


ben osservabile
EZ: piccola macchia scura
← bordo Sud NEB abb. regolare

Transiti:
a) 20^{01} $w_2 = 114°.3$
b) 20^{24} $w_2 = 128°.2$
c) 20^{35} $w_2 = 134°.9$; d) 20^{45} $w_2 = 140°.9$

18.III Ore 20°° Imm. 3 180× nebbia

$w_1 = 117°.8$; $w_2 = 263°.8$; Emisf. Sud: dett. confusi

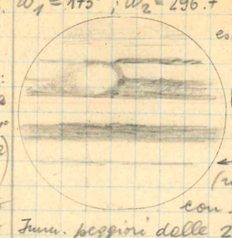


M.R.: $sp.\ 20^{13}$ $w_2 = 271°$ centro 20^{32} $w_2 = 283°.2$

Il transito del centro è molto disturbato da nubi; 20^{30} → coperto tot.

21.III. 18^h25 . Imm. 6 180×

$w_1 = 173°$; $w_2 = 296°.7$



est. reg. M.R.: 18^{23} $w_2 = 295°.5$ centro 18^{29} $w_2 = 283°.4$

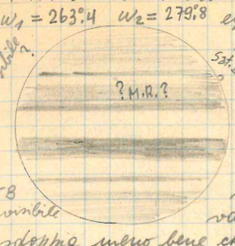
SEB: non netta sdoppiata

← debolissima (non si vede con imm. cattivi)

Imm. peggiori delle 20°° → (7-8)
Castor non si sdoppia; 52Ori diff.

4.IV. Ore 19.35 Osservazione con riflettore equatoriale 135 mm. Sf. Rapp., Loc. Monti. 214×

$w_1 = 263°.4$ $w_2 = 279°.8$

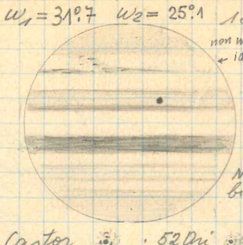


l'immagine è molto meno luminosa del mio tel. (oss. più efficiente). La turbolenza non è minore (imm. 5) Osservazione 52Ori: si sdoppia meno bene che col 250 mm.

Oss. spettri Rijel, Sirio, Betelgeuse: stupendi, non disturbati da turbolenza media.

7.IV. Ore 20.00 Imm. 4 180×

$w_1 = 31°.7$ $w_2 = 25°.1$

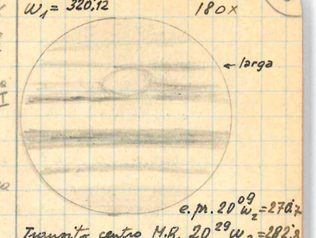


Castor ; 52Ori (punte se basse)

Sarebbe possibile 0.7" e tratti

11.IV. 20^h29 . Imm 5-6 180×

$w_1 = 320°.12$



e.p. 20^{09} $w_2 = 274°.7$

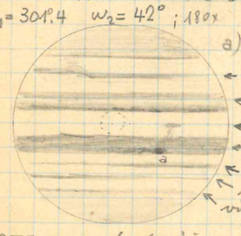
Transito centro M.R. 20^{29} $w_2 = 282°.8$

Cattive immagini

M.R.: bordi scuri → sfumati

24.III ore 18^{50} . Imm. 5-6 cielo "passato" limpido

$w_1 = 301°.4$ $w_2 = 42°$; 180×

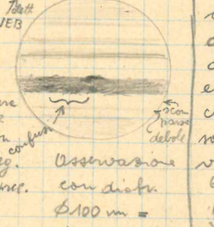


a) 19^{09} $w_2 = 53°.4$
← intensa
← separata da sottile zona chiara
← zona più lucida
← sembra dett. con imm. 5-6
← intensa bordeggiata
← intensa bordo prec. visibile a tratti

S.S.T.B.: come bordo più scuro della S.P.R.

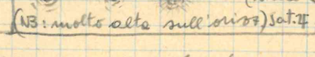
ore 21.32 Imm. 6-7

$w_1 = 40°.1$; $w_2 = 139°.9$



Osservazione con dietro Φ100 mm = piena a.p.

24.III. Ore 21-22 : osservazione di confronto con vari diaframmi e cannocchiale 60 mm.: immagini da cattive a pessime (6-7-8 penioni alti): da Φ 100 mm. in su ogni apertura si equivale (resa di dettagli) con imm. 7 col 100 mm. e 60 mm (lunetta) i falsi dischi sono costantemente visibili, bluastri mobili e vibranti. Aspetto stella 2ª grandezza: (300×)



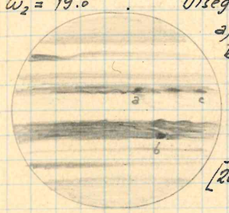
Sdoppiamenti (stelle < 3gr. ≅) $1''.5 \div 2''$

NB: molto alte sull'orizz. Sat. II più colmi col 100

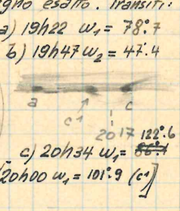
12.IV. 19h00 . Imm. 4-5 poi peggiorano (6-7)

$w_1 = 65°.3$. 180× 240× (meno)

$w_2 = 19°.0$. Disegno esatto. Transiti:



a) 19h22 $w_1 = 78°.7$
b) 19h47 $w_2 = 47°.4$



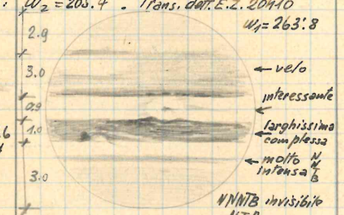
c) 20h34 $w_2 = 52°.1$

[20h00 $w_1 = 101°.9$ (c)]

13.IV. 20h00 . Imm. 3 poi peggiorano

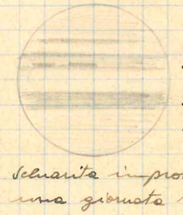
$w_2 = 257°.7$ (pass. 1ª onde NEB i.s.)

$w_2 = 205°.4$. Trans. dett. E.Z. 20h10 $w_1 = 263°.8$



21.IV. 20h00 Imm. 7-8

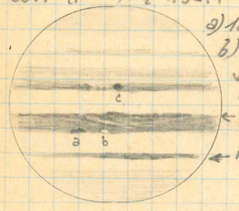
$w_1 = 79°$; $w_2 = 325°.6$



Schiarita improvvisa dopo una giornata tot. coperta

25.III Ore 18^{50} Imm. 4 (lunetta 19) (poss. c)

$w_1 = 99°.1$ $w_2 = 192°.1$



a) 18^{24} $w_2 = 176°.4$
b) 18^{49} $w_2 = 188°.5$
S.T.B bordo poco qualche irreg. (?)
← leg. ondulato
← molto intensa

25.III 24°° Imm. 5-6 180×

Con imm. 5 non è già più utile usare diaframmi. Con Φ100 div. Cassini è ancora di ff. visib. con 250 mm. esse è molto facile.



Osservaz. non ancora dettagliata per orario sconsolato!

25.III: ore 22^{30} – 23 : oss. di confronto della stella doppia ~~Dschonis~~ e Castor (2".5) 180× Imm. 7 (rem. forte)

piena a.p.: 250 mm. non si sdoppia

diaf. Φ200 centrale: idem 250, legg. meno luminoso

" Φ160 " : aigrettes e diffrazione fortissima, si sdoppia a tratti difficilmente

diaf. Φ100 eccentrico: ← qualche "aigrette" si sdoppia molto facilmente in continuità (1gm. mobile)

(senza oltrazione accord.)

diaf. Φ60 eccentrico: dischetti tangenti sempre ben visibili e fermi. 1° anello quasi stabile; 2° mobile contro

Saturno con diaf. 60×100 sembra più "fine" che con 160-200-250 mm.

Giove: nessun miglioramento dett.; a sat. sono però meglio visibili i dischi

28.III. Oss. confronto: doppia 52Ori (1".3 ca) con imm. 5; 180×

piena ap. (250 mm.): si sdoppia facilmente a tratti

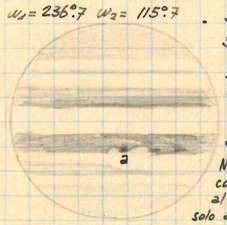
diaf. centr. 200 mm.: come 250 ~ :

" " 160 mm.: si sdoppia bene :

" eccentrico 100 mm.: molto difficile : ; diaf. 60: impossibile

22.IV. 20h00 . Imm. 6 . 180× luce W (bene)

$w_1 = 236°.7$ $w_2 = 115°.7$. S.T.z. bianca



S.T.B fine ma ben visibile
S.Tr.Z. sgombra
S.E.B. molto vicina
E.Z. stessa dett.

a) 20h03 $w_2 = 117°.5$
N.T.B + WN.T.B. congiunte come al 17.III (si vede solo a tratti)

Oss. sospese alle 20h30 (Imm. 7-8) Seeing

22.IV. 20-20^{30}: tripla (doppia) di Coneri:

obb. Φ 25 : diafr. 100 mm eccentr.
" 20 ;
" 16 ; difficile

A-B 1".12 giallastre
" - C ~ 5".7 bianco-azzurrastra

Sdoppiam. possibile, a tratti: ~ 0".8 ÷ 1" = imm. 4-5 per il 250 mm. = imm. 2-3 per il 100 mm.

NB: per oggetti alti: !

23.IV. 20h15 Imm. 6 . 180× + 1.6 lente

$w_1 = 43°.5$ $w_2 = 274°.8$



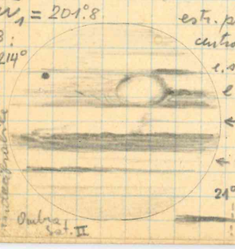
M.R. molto difficile (si vede a tratti)

Transito (e.p. 20h02 $w_2 = 266°.9$) centro 20h19 $w_2 = 277°.2$

← qualche irregolarità NNTB intensa metà prec. NNTB visibile

28.III. Ore 1833 18× Imm. 4. Pass. M.R.

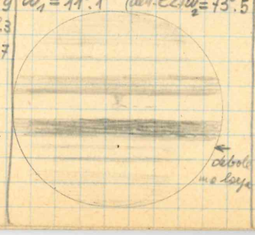
$w_1 = 201°.8$



est. pr. 18^{33} $w_2 = 271°.9$
centro $18^{53.5}$ $w_2 = 284°.3$
e.s. 19^{14} $w_2 = 296°.7$
e.p. sfumata
← meno evident.
← debolissima
21^{05} $w_2 = 3°.8$
STB

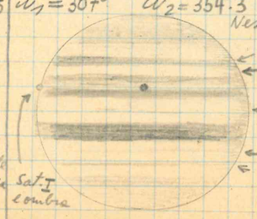
29.III- Ore 1852 Imm. 6

$w_1 = 11°.1$ (cent. E.Z.) $w_2 = 73°.5$



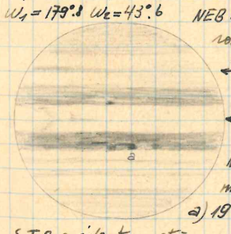
31.III Ore 18^{20} . Imm. 4

$w_1 = 307°$ $w_2 = 354°.3$



24.IV. 19h40 Imm. 3-4 180×

$w_1 = 179°.8$ $w_2 = 43°.6$



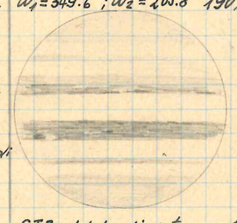
NEB: colore bruno-rosso carico
← velo(?)
verso il bordo prec. qualche sfumatura
NTB + WNTB deboli ma visibili

a) 19^{45} $w_2 = 46°.6$

S.T.B evidente metà pr., confusa poi. S.E.B non nettam. sdoppiata, piccole condensaz. appena passate al M.C. Nei pressi di questa si notano delle lievi irregolarità SEB: colore bruno più nel giallo Le altre bande: grigie.

25.IV. 20h00 Imm. 4 Obb. 18 cm.

$w_1 = 349°.6$; $w_2 = 205°.8$ 190×

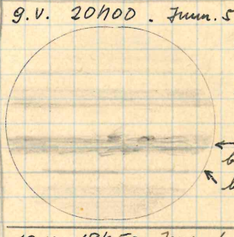


Pass. M.R. non ancora (~ 22h di transito)

S.T.B debole diventa confusa nella metà seg.; S.Tz. invasa da mat. grigio. Comp. sud SEB debole e quasi fusa con S.Tz.; comp. N/SEB sempre, irregolare. NEB complessa, formata da piccoli dett. senza grosse condens. NTB invisibile; WNTB intensa. WNTB come limite N.R.R.

9.V. 20h00 . Imm. 5 . Obb. 18. 190×

$w_1 = 36°.8$



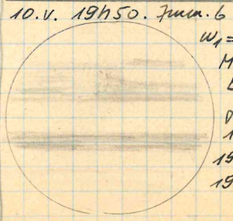
$w_2 = 146°.1$

← N°2 condens. bordo S + 1 bordo N ben visibile

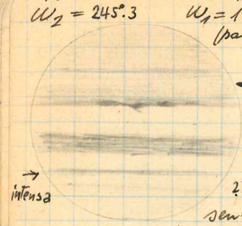
10.V. 19h50 . Imm. 6 Obb. 25 183×

$w_1 = 188°.4$; $w_2 = 290°.2$

M.R. difficilissima. Est. sec.: transito probabile (dubbio!) 19h51 $w_2 = 290°.8$ 19h45 non ancora 19h55 già passate

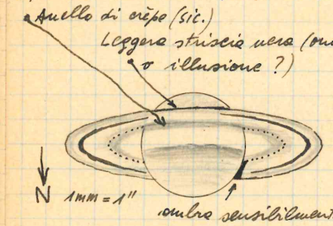


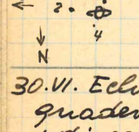
12.V. 20h15. Rifl. 18. 143× J=4-6
$W_2 = 245°.3$ $W_1 = 159°$ (pass. dell'SEBn)



N.B. Si osserva dalle 20 alle 21 h 10 (W_2 da 236°. a 278°.) senza poter vedere la M.R. !! (vento, ☄ basso, visibilità instabile ....)

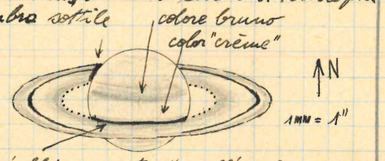
24.V. 22h30. 180× ÷ 360× J.4-5





30.VI. Eclisse ☉ : v. altro quaderno : visine foto + disegni

9.V. 22h30. Rifl. 25 cm. 240× J5
N.B. il dis. ↓ è inverso alla vis. telescopica



È dubbio se si tratti dell'ombra dell'an. oppure dell'anello di "crêpe" (difficile)
Cassini facilissima fino al globo

12.V. ♄ : idem come al 9.V. 3mm. 5.
Satelliti : 22h

Titano, Rhéa, Teti, Dione(?)
Cassini facile

11.VI. 21h00. Saturno : Cassini facile. La leggera striscia scura a sud dell'anello sul disco deve essere un'ombra (visibile facilmente e nera)

12.VI. : Oss. Stella filante : 01h42 TMEC
Magnit. -2 (come σ^{a})
Rapida (durata ½ sec.)
Scia arancione persistente ~½ sec ; legg. curva.
percorso : ξ Aquilae – β Ophiuchi

22÷25 Osservazioni ♄ : stessi risultati delle prec. oss. prec., aspetto normale. Esame oculari vari :
Migliore : 7,5 mm. grande campo senza aberrazioni

(Recta) 9	"	medio	"	"	"	
10	"	"	"	"	"	
5	"	grande	"	Lievi	"	el bordo
(Recta) 6	"	medio	"	abb. forti	"	¼ ϕ "
6	"	"	"	senza	"	(o lievi)

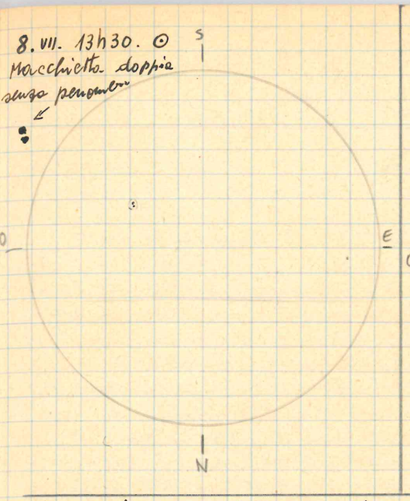
Tabella ingrandimenti :

oculare			Telesc. 250 mm ϕc=	Telesc. 180 mm. ϕc=
25 mm.	Mittenzwey		74×	57×
20	"	Huyghens	91×	71×
10	"	Ramsden	183×	143×
9	"	ortoscopico	203×	159×
7.5	"	"	245×	191×
6	"	" (?)	305×	238×
5	"	Ramsden	367×	286×

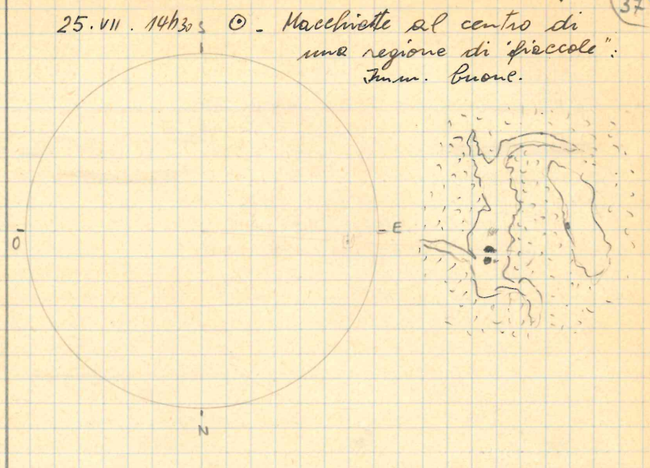
21.VII. 3h30 3mm. 4. β Delphini non si sdoppia ; OΣ 371 0".8 facile con 367× ϕ18 e 25.

mm 1954 mm

8.VII. 13h30. ☉
Macchiette doppie senza penombre



25.VII. 14h30 ☉ - Macchiette al centro di una regione di "piccole". 3mm. buone.

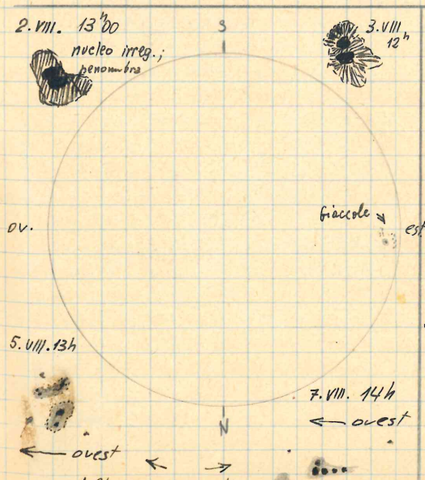


Riassunto oss. di ☄ presentate '53-54 :

1ª oss. 16. agosto 1953 4h10
ultima " 12. maggio 1954 20h15
} N° 133 disegni - 3mm. media η 4.15 Fl 5

con immagini	1	(Flamm. 9)	N° 1	disegno	= 0.75 %	1	9
" "	2	(" 8)	12	disegni	9 %	24	96
" "	3	(" 6)	36	"	27.1%	108	216
" "	4	(" 5)	38	"	28.7%	152	190
" "	5	(" 4)	20	"	15.0 %	100	80
" "	6	(" 3)	20	"	15.0 %	120	60
" "	7	(" 2)	3	"	2.2 %	21	6
" "	8	(" 1)	3	"	2.25 %	24	3
			133			550	660

2.VIII. 13h00
nucleo irreg.; penombra



3.VIII. 12h

7.VIII. 14h ← ovest

5.VIII. 13h

☄ : '53-54 ; oss. con tel. 18 cm e 25 cm (≡)

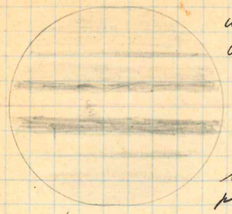
2ª metà notte (mattina)

J. 1	N° 1 dis.	= 2%	
2	7	14%	
3	17	33%	3mm. medie : n / 3,9
4	9	17%	Flamm. / 5,3
5	8	16%	
6	7	14%	
7	1	2%	
8	1	2%	
	Σ 51		

1ª metà notte (sera)

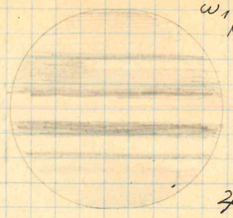
J. 1	0 dis.	= 0%	
2	5	6.1%	
3	19	23.2%	3mm. medie : n / 4,3
4	29	35.4 %	Flamm. / 4.7
5	12	14,6%	
6	13	16.0%	
7	2	2.4 %	
8	2	2.4%	
	Σ 82		

12.VIII. 5h00 . Obb. 18 cm. Imm. 4 191x



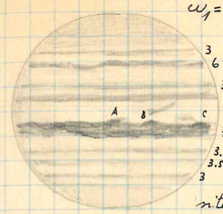
w_1 =
w_2 = 177°
NEB più stretta del preced. presentas. SEB non sdopp. NTB e STB più intense verso l'est. prec. Pennacchio E.Z.
Già passato al M.C. SEBn. ineguale (cond.)

13.VIII - 4h30 . Obb. 18 . Im. 5 191x .



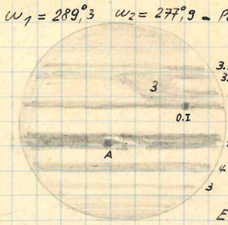
w_1 = w_2 = 308°.9
M.R.: se c'è, al bordo seg. è molto difficile da vedere. Bande regolari, nessun dett. NTB ben sviluppata su tutto il disco
♃ sorge alle 4h15

13.X . 5h10 . Obb. 25 . 183x. Imm. 5-2 . Cielo limpido



w_1 = 137°.6 (pass. A); w_2 = 133°.7
Pass. B: 5h36 w_1 = 153°.5
Pass. metà filamento E.Z.: 5h44 w_1 = 158°.3
Spettacolo magnifico nei momenti di calma; assai superiore al 18 cm. come finezza di visione, lucentezza e contrasto. Non si ha miglioramento sensibile diaframmando (18)! NEB: metà precedente: complicati chiaro-scuri, chiara a N e scura a S.: regione da seguire (w_2 = 0° ÷ 100°)
Bene visibili le bande secondarie N e S
Passaggio metà $\bar{B}$-$\bar{C}$: 6h06 w_1 = 171°.8 . C passerebbe quindi al M.C. alle 6h36 w_1 = 190°.1 (calcolato) = B (11.X)

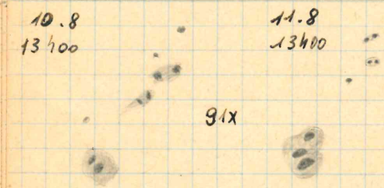
14.X. 5h00 . Obb. 25 183x Imm. 3 . Cielo limpido



w_1 = 289°.3 w_2 = 277°.9 - Pass. A: 4h42 (w_1 = 278°.3) w_2 = 267°.1
" metà segm. chiaro NEB: 4h58m (w_1 = 288°.1) w_2 = 276°.7
Estr. seg. MR. 4h59 w_2 = 277°.3
Pass. ombra sat. I 5h38
Centro M.R. 5h21m w_2 = 290°.6
" Estr. seg. 5h42m w_2 = 303°.3
Stime intensità A: 9
E.Z. più larga che preced. pres.
Dett. NEB disegnato esatto. NTB larga. SSTB ben visibile molto vicina alla STB. S.T.Z. stretta e bianchiss. (0.5); a sud SSTB zona bianca analoga alla S.T.Z.

5h37 5h39 Sat. I

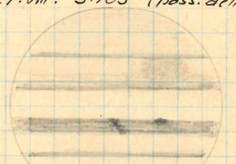
10.8 13h00 11.8 13h00



91x

Stesso gruppo 5/7.8

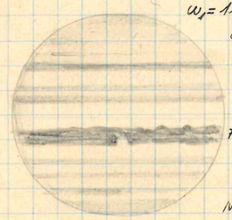
27.VIII. 5h05 (pass. dett. NEB) w_1 = 276°.9 ; w_2 = 271°,8 - Imm. 4/5



NEB più stretta che precedentemente (5/3)
Le bande sono sensibilmente più dritte della prec. presentazione (lat. centro 1°,50) M.R. nettamente rosea, più scura che nella prec. opp., estr. prec. molto sfumata transita 5h35±5m w_2 = 290°
← leggeri tracce NNTB. SEB$_s$ debole
Alle 5h30 cielo già troppo chiaro: satelliti già invisibili.

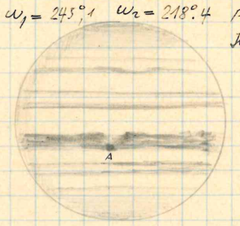
29.VIII 4h00 : imm. 7-8 : impossibile fare disegno ; visibile solo NEB

15.X. 5h44 Obb. 25 183x 203x . Imm. 4/media/punte fino 2



w_1 = 114°.0 w_2 = 94°.7 (pass. macchietta chiara NEB$_n$) Struttura complessa metà seg. N.E.B.
SSTB parzialm. visibile
STB larga, intensa (5)
SEB doppia (4,5 - 4,5$_n$)
NTB/NNTB deboli
NNNTB rinforzata per un tratto.
N.P.R. ridotta.

16.X. 5h00 Obb. 25 . 183x Imm. 4 → = C (11.X.54)



w_1 = 245°.1 w_2 = 218°.4
Pass. A: 4h53 { w_2 = 214°.2 ; w_1 = 240°.8
Inizio inseltatura STB transita alle 5h08 w_2 = 220°.8
A = C (11.X.54)
S.T.Z. brillante

31.VIII - 5h00 . Imm. 4/6 (4-5 Harvard)

w_1 = 185° w_2 = 149°.4
Stime intensità:

S.P.R.	2.5
STB.	5.0
SEB$_s$	3.0 separate
SEB$_n$	5.0 solide N.
E.Z.	0.5 → 4,5 corpo
NEB	6.0
NTB	tracce
Σ deboli: N.T.Z.	1.0
N.P.R.	1.5

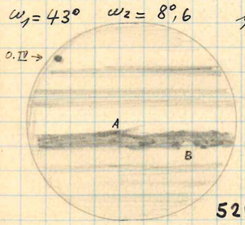
NEB: più scura nella metà seg. (6.5)
Il dett. E.Z. non è così evidente, visibile solo con buone imm. (intensità 1-1.5)
Con buone imm.: NEB struttura complessa.

11.IX. 3h30 . Imm. 5-6 - w_1 = 66° w_2 = 306°.6 ♃ sorge 2h45

143x / 159x / 191x

M.R. quasi invisibile, differenza d'intensità colla zona adiacente quasi nulla (0.2) Stima passaggio difficilissima: Centro 3h13 w_2 = 296°.3
Estr. seg. 3h35 (?) w_1 = 309°.6
NTB ben evidente e contrastata
Qualche dett. della NEB, instavista per istanti, non è possibile disegnarlo (zone più chiare e condensazioni irregolari, ondulazioni del bordo S. ecc.)
Immagini generali poco soddisfacenti: turbolenza in altitudine con ondulaz. veloce (vibraz.) delle im.

17.X. 5h00 . Obb. 25 183x .

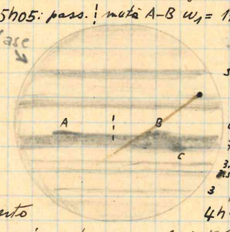


w_1 = 43° w_2 = 8°,6
Imm. 5-6 . Temperat. più mite qualche leggero colpo di vento.
Pass. A) 4h46 w_1 = 34°,5
STB intensa
SEB ben sdoppiata, regolare
Uscita ombra sat. IV 5h16
Pass. B: ~5h30 w_2 = 26°.7
NTB visibile diff. (imm 6)
largo ma debole e "flou"
520ri in sdoppio 305x difficilm.

5.XI. 4h40m. Obb 25 . 183x . Imm. 6-7 . Scintillos. stelle forte

w_1 = 151°.2
w_2 = 331°.8
L'imm. lia forti e veloci vibrazioni quasi continuamente (NB non ondula!)
M.R. invisibile →
Pass. 1) metà 2 pennacchi 5h00 w_1 = 163°.4
Pass. 2° pennacchio (radice NEB) 5h14 w_1 = 171°.9
Dalle 5 → brevi istanti con imm. migliori (3)
I pennacchi non sono così evidenti come nel disegno, e visibili solo con buone imm. api. Identificazioni:
1° pennacchio = B (13.X) w_1 = 155°
2° " = C ("). Verso il bordo seguente si vedono comparire i dett. della NEB (16.X)

11.X 5h15 Obb. 25 cm. Imm. 4 - 188x - w_1 = 181.8
5h05: pass. metà A-B w_1 = 178°.7 w_2 = 196°.2

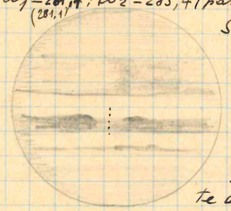


Pass. B:
5h26 w_1 = 191°.6
id. C:
5h38 w_2 = 210°
NEB: bei dett. Calcolo pass A: 5h05-21m = 4h44 : w_1 = 166°

Cielo parzialm. coperto da strato-cirri in movimento N-S. Scintillamento abbastanza forte (Sirio, Betelg.) A tratti, per la durata di 2÷4 sec. il disco ♃ si presenta netto e con contrasti superbi nel 250 mm.
♃ si può osservare col 25 dalle 5h00 →
scompare dal lembo N alle 3h40

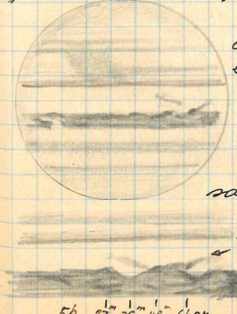
1954

12.X - 3h34 . Obb. 18 190x . Imm. 5-6 visione affat.



w_1 = 281°.4 (281.1) ; w_2 = 285°,4 (passaggio regione scura S.T.Z.) Passaggio (metà Tratto chiaro NEB):
3h18 w_1 = 271,4 w_2 = 275,1
S.T.B quasi invisibile
N.T.B ben visibile con qualche imprecisione.
La zona scura passante al M.C. potrebbe ev. essere l'estr. seg. della M.R.; in questo caso la M.R. sarebbe ancora chiara e il centro sarebbe a ca 272° S.II - Se invece la M.R è quella scura il suo centro sarebbe a ca 298°. Il 2° ingrossam. NEB passerebbe al M.C. alle 3h45 (calcolato) w_1 = 287.8 w_2 = 292.1
Fenomeno M.R. da accertare!

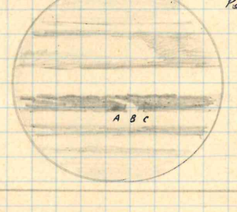
19.X. 5h00. Obb. 25 183.



w_1 = 358°.8 w_2 = 309°.2
Imm. 5. Cielo molto limpido
Pass estr. prec. M.R.:
4h10 (stimato) w_2 = 279°
centro 4h36 (±-) w_2 = 294°.7
estr. seg. 5h02 w_2 = 310°.4
NB. Pass. non stc. 100%
La S.T.Z. è brillantissima e spicca in contrasto tra STB e SSTB. SEB ben sdoppiata dopo la M.R.
Ben separato
forma netta
Per brevi momenti imm. 2.3

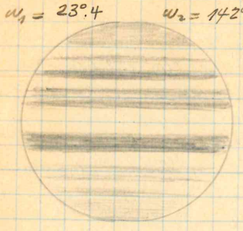
	5h	27m	36m	48m	6h04
w_1 =	15°.3	20°.8	25°.1	37°.8	

20.X. 6h20 Pass. A: (w_1 = 293°.9) w_2 = 266°.7 . Pass. B: 6h32 { w_1 = 301°.2 ; w_2 = 275°.9
Pass. C = estr. prec. M.R.: 6h44 (w_1 = 309°.5) w_2 = 281°.2 (?)



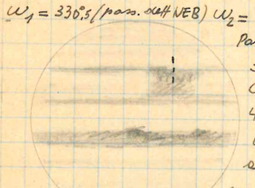
Imm. peggiorate, momenti di calma più rari. Uso diaframma 18 cm. utile.

18.XI. 6h00 - Imm. 6. 183x
ω_1 = 23°.4 ω_2 = 142°.6



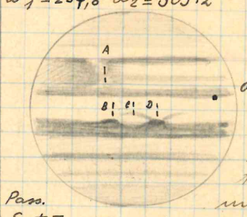
Bande regolari delicati colori bruni, gialli, crème, rosa; R.P.S. grigio-azzurro.

6.XII. 3h38. Imm. 6-7 183x Vento calo.
ω_1 = 336°.5 (pass. sul NEB) ω_2 = 274°.8



Pass. estr. pr. M.R.: 3h44 ω_2 = 278°.4
Centro MR: 4h04 ω_2 = 290°.5
osservazioni affaticanti e non soddisfacenti!
Centro M.R. ≡ metà tratto 2 onda NEB ω_1 = 346°.2

22.XI. 3h04 (pass. C) Imm 5 (Turbolenza esclusivamente locale, scintillaz. debole!) 183x
ω_1 = 25[illegible]°.8 ω_2 = 309°.2

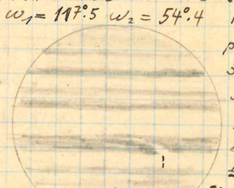


Pass. A: ~ 2h47m ω_2 = 299°
O.I " B: calcolato 2h50m ω_1 = 249°.3
" D: 3h18m ω_1 = 266°.3

NB. Con la finestra aperta (spiraglio) turbol. fortissima (im. 8!), chiusa, migliorам. istantaneo.

Pass. Sat. I: 1° contatto 3h48. (metà 3h50) 2° c. 3h52

7.XII. 3h20 Imm. 6 Semi nuvoloso. 183x
ω_1 = 117°.5 ω_2 = 54°.4



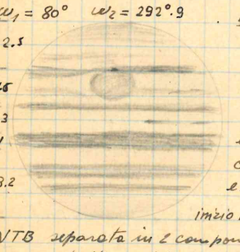
pass.: 3h50 ω_2 = 72°.5
Scintillaz. forte. Diaph. 18cm. utile
Il passo al Meridiano: 3h30
18 Jn 30m osservate 3 stelle filanti!

21.XII. 4h30÷5h50: Imm. 8
Temperatura fredda, scintillaz. forte. Leggerissima aria, a tratti.



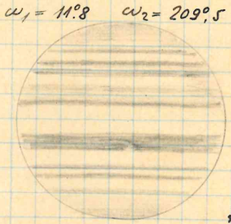
Impossibile osservare. Si rinuncia a fotografare Venere e Luna: Rimandato

18.XII. 4h00 Imm. 3 183x Temp. non eccessivo freddo.
ω_1 = 80° ω_2 = 292°.9



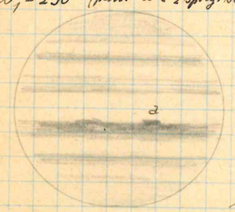
Disegno esatto!
Bande regolari
Piccola condensaz.
S.TB a sud. M.R. (+centro)
Passaggi: (esatti!)
e. pr. M.R. 3h40m ω_2 = 280°.8
centro M.R. 3h58m ω_2 = 291°.7
e. s. M.R. 4h16m ω_2 = 302°.6
inizio EB: 4h21m ω_1 = 92°.8
NTB separata in 2 componenti: separaz. difficile
NNTZ stretta e bianca - M.R. ben definita! (rosa. g. rosso)
SEB$_S$ debole, quasi invisibile prima M.R.
S.TB. intensa, sdoppiata prima M.R.
S.TB. più intensa NEB. Questa priva di dett.
Scintillaz. quasi insens. (velivolo alto!) Castor sdopp. diff.

20.XII. 3h20 Imm. 4-5. Cielo limpido. Scintillaz. medio-forte
ω_1 = 11°.8 ω_2 = 209°.5.



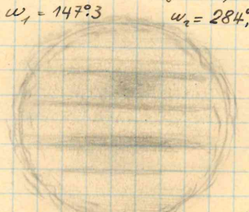
Bande regolari, nessuna anomalia, tranne:
dett. NEB pass. 3h22 ~ ω_2 = 210°.7
Sdoppiate nettamente in componenti intense: STB e NTB
SEB$_S$ debole.
Struttura interna NEB abbastanza regolare, qualche fibrosità visibile nei momenti di calma. Si osserva fino alle 4h00: si comincia a scorgere la M.R. al bordo prec. Fino alla M.R. le bande non presentano nessun dettaglio (nic.) degno di nota; qualche cirrus. condens. NEB.
A tratti l'immagine è nettissima (per 1-2 sec.) diaframmi non utili.

26.XII. 4h42 - Imm (6-7. 183x. Freddo. Scintill. forte
ω_1 = 290° (pass. metà 2 prog. NEB); ω_2 = 81°.5



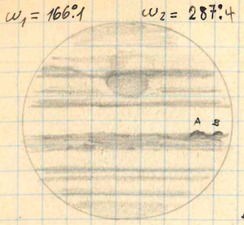
Cattive condizioni; cielo tut. limpido!
S.T.B e N.TB. non si sdoppiano per cattive immagini.
Dischetti satelliti ϕ doppio del normale, id. stelle: macchia centrale ϕ x 10 normale.
Pass. a) 5h04 ω_1 = 303°.3. Calcolo pass. 1ª onda NEB: 303°.3 - 290° = 13°.3; e ω_1 = 13°.3 + 290° = 276°.3

28.XII. 2h00 Imm. 7-8 - Temp. bassa. Umidissimo.
ω_1 = 147°.3 ω_2 = 284°.3 Caliginoso - brumoso; nessuna formaz. nuvolosa disc. sat. I Scintillaz. moderata
" Imm. estremam. cattive; "flones".



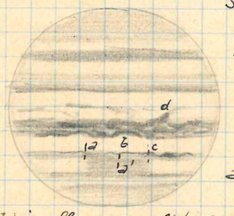
Ciononostante, un occhio esercitato (e forse anche uno normale!) scorge facilmente la zona più scura della M.R.: possibile pr. transito:
Diafr. 18cm: Utile
e. prec. 1h48 ω_2 = 277°.1
centro 2h07 ω_2 = 288°.5
e. seg. 2h26 ω_2 = 300°.0

30.XII.54. 3h43 . Imm. 4. 183x. 205x. Freddo.
ω_1 = 166°.1 ω_2 = 287°.4



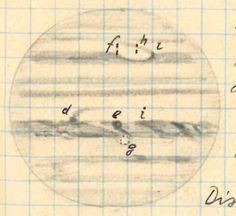
Cielo limpido, umidità media. Scintillaz. media - forte.
NNTB - NTB doppia - NEB
E.Z. ingombra - SEB$_S$: regolari
S.T.B doppia prec. M.R.
Pennacchio nella S.T.Z. e sud. M.R. - SSTB parzialm. visibile. Passaggi M.R.:
e. prec. 3h22 ω_2 = 274°.7
centro 3h43 ω_2 = 287°.4
e. seg. 4h05 ω_2 = 300°.7
Tempi trans. e disegno: esatti!
Eclisse sat. I: comincia e indebolirsi alle 3h50
alle 3h54 scompare (dist ~ 8" bordo I)
all'altezza della E.Z.S. Ora prevista: 2h53 T.U. = 3h53 TMEC (Imm. Flamm.)
Impiegato 245x: buono - Diafr. 18cm. inutile.
A-B: due onde NEB A ~ 4h50 ± 15m ω_2 ≅ 207°

9.1.55 24h00 = (10.I 0h00) Imm. 4 - 183x - Mite. Schiarite.
ω_1 = 328°.5 ω_2 = 7°.1



S.T.B. banda più intensa dopo NEB.
SEB$_S$ regolarissima
E.Z. con deboli strisce e pennacchi grigi con origine nella NEB.
Passaggi:
a) inizio zona scura N.T.Z. 23h35 ω_2 = 352°.0
b) inselt. NEB$_n$. 24h05. ω_2 = 10°.1
a') metà scuro NTZ. 23h55 ω_2 = 4°.1
c) fine " " 24h20 ω_2 = 19°.2
d) 24h38 ω_1 = 351°.7

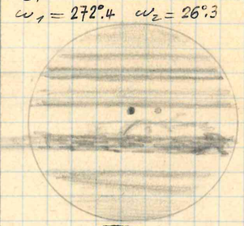
10.I 1h15 ω_1 = 14°.2 ω_2 = 52°.6 Imm. 3 - 183x



e) 1h15 ω_1 = 14°.2
f) 1h18 ω_2 = 54°.4
g) punto brancchissimo (come disc. sat. ϕ 1",5 ~)
1h20 ω_2 = 55°.6
h) metà inselt. 1h39 ω_2 = 67°.1
Disegno chiaroscuri NEB: esatto! (e tratt. imm. 2)
i) 1h40 ω_1 = 29°.5
l) fine inselletura 2h00 ω_2 = 79°.9
Dopo il dett. i) (inizio fase scuro NEB) la NEB presenta struttura a strisce obliqua.
Oss. Ganimede e Urano con 367x: dischi abbastanza netti ma nessun dettaglio.

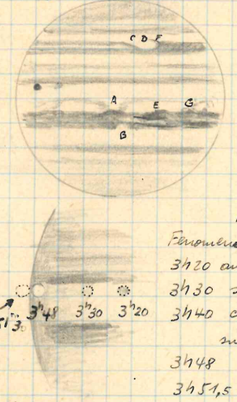
- 1955 -

31.XII. 2h18 Imm. 2-3 . 245x (buono)
ω_1 = 272°.4 ω_2 = 26°.3



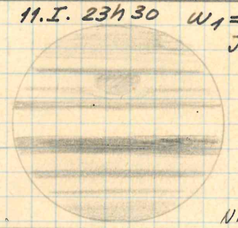
Scintillaz. forte - media
Transito al M.C.:
ombra sat. I 2h18
metà OI-I 2h29
sat. I: 2h40
NEB "montonuta"
E.Z. pennacchi interessano complessi.
NTB e NNTB unite (v. dis.)

3h13 Imm. 4-5 . 183x (più cromatico del 7.5
ω_1 = 306°.0 ω_2 = 59°.6



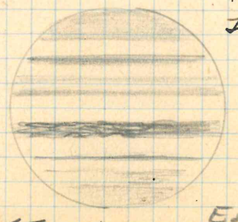
Transiti:
A) (metà) 3h04 ω_1 = 300°.5
B) 3h13 ω_2 = 59°.6
tra A e B nella NEB c'è una striscia di materia chiara
Uscita O. sat. I 3h26 (inizio)
C) 3h29 ω_2 = 69°.2
D) metà inselt. 3h36 ω_2 = 73°.4
E) 3h48 ω_1 = 327°.3
F) 3h53 ω_2 = 83°.7
Fenomeno sat. I:
3h20 ancora visibile, verso → E.Z.
3h30 scompare
3h40 comincia a essere visibile, chiaro sull'incupimento del bordo occ.
3h48 3° contatto
3h51,5 4° contatto
G) Inizio regione complicata (E.Z. NEB$_S$) 4h15 ω_1 = 343°.8
Regione da studiare con immagini 2!
Dopo l'inselletura, la STB è manifesta.
NNTB poco visibile da ω_2 = 60° (B) →

11.I. 23h30 ω_1 = 266°.3 ω_2 = 289°.7
Imm. 6. 183x



Pass. centro M.R. 23h30
Colore M.R.: salmone (rosa - giallo), attaccata alla S.T.B.
Nessun altro dett. è ben visibile.
NTB intensa e larga.

21.I 23h30 ω_1 = 46°.6 ω_2 = 353°.7
Imm. 5 183x



Oss. difficoltose
SPR più scura di NPR
NEB complessa.
NNTB - NNTB confuse.

← Ouest Est →

191x

24.I. 23h30 - Imm. 6-3 183x

$\omega_1 = 160°.7$ $\omega_2 = 84°.9$ - SSTB visibile STB insellat. SEB_n regolare E.Z. invasa da materiale filamentoso. NEB complesso con corrente chiara NTB ben visibile NNTB visibile, irregolare.

Pass. a) 23h55 $\omega_1 = 175°.9$
b) stimato 40m dopo a) $\omega_1 = 200°.3$

SSTZ bianca

29.I 23h50 - Occ. 25 185x. 205x fitto giù

$\omega_1 = 242°.9$ Imm. 4 in terrazza probabilm. 2 prot.
$\omega_2 = 128°.9$

Passaggi:
a) 24^h45 $\omega_2 = 144°$
b) 24^h54 $\omega_2 = 155°.4$
c) 24^h54 $\omega_2 = 167°.5$

1h07. Imm. 3

sat. occultaz. inizio 23h44 fine 23h48

Pass. macchietta piccola, bianca, nera, bordo N. NEB: 1h07 $\omega_2 = 175°.3$ $\omega_1 = 289°.4$
(NEB visibile solo a momenti)

9.II. 22h51 (pass. es. seg. M.R.) Imm. 4 (leggera)

$\omega_1 = 144°.5$ $\omega_2 = 307°$ Vento intenso!

Colori:
STB grigio-azzurra
STZ. gialla crème
EZ. azzurra (!!)
NEB. rosso-bruna grigia
P.R. grigie.

Pass. centro M.R. 22h31 $\omega_2 = 294°.9$

11.II. 22h18 Imm. 4 + nebbia alta pochi contrasti

$\omega_1 = 80°.4$
$\omega_2 = 227°.7$

$\omega_2 = 227°$ inizio insellat. STB.
SEB metà prec.: dett. interessante
NEB: struttura complessa non meglio studiata (contrast. troppo deboli)

25.I - 21h05. Telesc. 18 cm. prato: imm. 3 - Tel 25 terrazza 6

$\omega_1 = 230°.2$ $\omega_2 = 147°.7$

Pass. a) 21h05 $\omega_2 = 147°.7$
b) 21h15 $\omega_1 = 236°.3$
c) 21h24 $\omega_2 = 159°.1$
d) 21h43 $\omega_2 = 170°.5$
f) 23h45 $\omega_2 = 244°.4$ → $\omega_1 = 327°.8$ T. 25 I. 3

22h30
$\omega_1 = 282°.1$ $\omega_2 = 199°.1$

ben visibile doppia
diff. sdoppp.
complessa doppia - irregolare

e) 22h56 $\omega_1 = 298°$
h) 0h19 $\omega_2 = 264°.9$
g) 0h43 $\omega_1 = 3°.2$

SEB_s debole
abb. regolare
- larga, non intensa

M.R. e.pr. 0h45(?) $\omega_2 = 280°.7$ (?)
centro 0h01 sic. $\omega_2 = 290°.3$
e.s. 1h21 $\omega_2 = 302°.4$ 6li

Colori osservati:
NEB: rosso-bruno (mattone) NTB + NNTB + STB, dopo M.R. grigio.
SEB: indefinibile (bruno-violaceo?) MR solamente: in contrasto netto col grigio azzurro della STB.

16.II 22h45. Imm. 6-8. Freddo. Scintillaz. forte. Colmo.

$\omega_1 = 166°.5$ $\omega_2 = 275°.6$. Transito e.p.m. M.R. ~ 22 55 $\omega_2 = 281°.6$
centro M.R. 23^{13} $\omega_2 = 292°.5$

Dopo M.R.: STB intensa
Inizio pos. OII 23 11
N.T.B. impossibile dire se è doppia. Vasi il bordo seg. (STB) è visibile un'insellatura.
Struttura bande e zone impossibile studiare.

27.II 23h00 - Imm. 6.7. Idem. 16 II. Schiarite.

$\omega_1 = 112°.7$ $\omega_2 = 137°.8$

Condizioni cattive nessun dettaglio
SEB_s non visibile.

m 1955 m

16.III 22h52. Imm. 4 183x

$\omega_1 = 271°.3$ (transito b) - $\omega_2 = 166°.7$

SEB_s non vis.
STB intensa

NEB bruno-grigio
Transiti:
a) 22h37 $\omega_1 = 262°.2$
b) 22h52 $\omega_1 = 271°.3$
c) 23h25 $\omega_1 = 291°.4$

SEB

22.III. 21h30 Imm. 6-7

$\omega_1 = 88°.2$
$\omega_2 = 298°.2$ (pass. centro M.R.) non sic!

Aspetto M.R. e "environs" complessi: da sorvegliare!

23.III. 21h30 Imm. 5-6

$\omega_1 = 246°.0$ Cielo non eguale
$\omega_2 = 88°.4$

SEB_s debolissima.
E.Z. non più brillante come in precedenza

24.III. 21h20 Imm. 3 + nebbia

$\omega_1 = 37°.7$
$\omega_2 = 232.6$

Sospeso per annuvolamenti

25.III. dalle 20h30 alle 22h30. Imm 5 +

$\omega_1 = 165°.0 \div \omega_1 = 238°.2$ nebbia
$\omega_2 = 352°.4 \div \omega_2 = 64°.9$

Bande molto regolari. Zone più brillanti: N.T.Z. e S.T.Z.
Nello spazio della long. indicate: nessun dettaglio importante

31.III. 21h15 - Imm. 5-3. 183x 245x

$\omega_1 = 59°.0$
$\omega_2 = 200°.5$ (a) 6: 21h32 $\omega_1 = 210°.7$

pass. c: 21h50 $\omega_2 = 221°.6$
SEB doppia intensa
pennacchi E.Z. non così evidente

non ombra ma sat. III ecl. 21h32 !

1.IV. 19h52 Imm. 7. Oss. diffett.

$\omega_1 = 166°.2$
$\omega_2 = 300°.4$ (centro M.R.) non sic.

2.IV. 22h50 - Imm. 3.

$\omega_1 = 72°.6$
$\omega_2 = 198°.2$

Transiti:
a) 22^{50} $\omega_2 = 198°.2$
b) 23 06 $\omega_2 = 207°.8$
c) 23 06 $\omega_1 = 82°.4$
E.Z. assottigliata
d) 23 23 $\omega_2 = 218°$

Scompare (tutto coperto) alle 24h00

Imm 5 23h35 pass. e.p.m. M.R.:

$\omega_1 = 144°.3$ $\omega_2 = 285°.1$

Regione M.R. non chiara complessa
← O.S. III.
Centro M.R. impossibile osservazione: annuvolam.!

6.IV. 20h20 - Imm. 3-4.

$\omega_1 = 252°.1$ - Pass. a) 20h44:
$\omega_2 = 348°$ $\omega_2 = 2°.5$

← zona netta
← leggeri pennacchi
irreg.
← velo su tutta la emisf. nord.

NTB e NNTB invisibili.

22h30 Imm. 4-5

$\omega_1 = 331°.4$ - Pass. b): 23h14
$\omega_2 = 66°.6$ $\omega_1 = 358°.2$
c) 23h30 $\omega_2 = 8°$
d) 23h32 $\omega_2 = 104°.1$
e) 23h46: $\omega_2 = 112°.5$

← zona più bianca di E

pass. 1° modulo
SEB: 22h58 $\omega_2 = 348°.4$ (calcolato)

STB

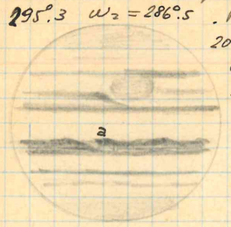
1955

8.IV. 22h19 - Imm. 5. 203x

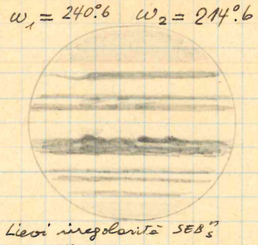
$\omega_1 = 280°.2$
$\omega_2 = 0°.2$ (pass. metà insellat. STB)

NEB complesso
NTB: traces

20.IV. 20h 15 . Imm. 3 poi 6
ω_1= 295°.3 ω_2 = 286°.5 . Pass. a) :
20h08 ω_1 = 291°
Centro M.R.
20h35
ω_2 = 298°.6
E. sez. 20h55
ω_2 = 310°.7

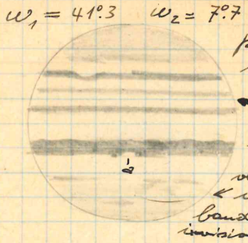


22.IV. 19h55 Imm. 3
ω_1 = 240°.6 ω_2 = 214°.6



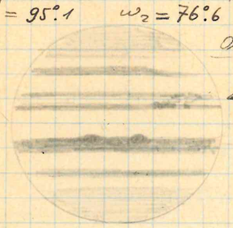
Lievi irregolarità SEB$_S$
Bei dett. NEB

23. IV. 20h00 Imm. 4
ω_1 = 41°.3 ω_2 = 7°.7



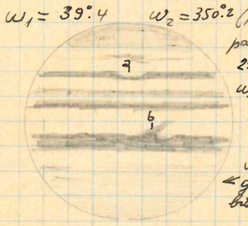
pass. 2)
19h58
ω_2 = 6°.5
2 compon. separate da largo intervallo
velo grigio
irregolari bande parziali iniziali.

21.4. 20h15 Imm. 4
ω_1 = 95°.1 ω_2 = 76°.6



Ass. effettata
!!

25.IV. 21h10 . Imm. 5
ω_1 = 39°.4 ω_2 = 350°.2 (pass. 2)

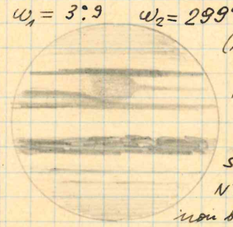


pass. b :
21h32
ω_1 = 52°.7

velo grigio-bianco

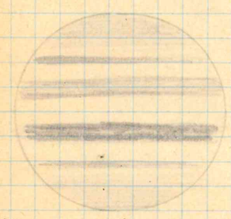
NTB. NNTB invisibili.

27. IV. 21h25 . Imm. 4-5 + velbbia
ω_1 = 3°.9 ω_2 = 299°.4



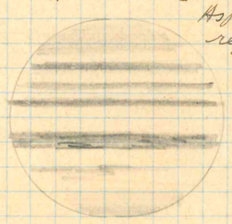
(pass. Cent. M.R.)
M.R.: molto debole e confusa.
STB intensa
NTB e NNTB non ben visibili

28.IV. 22h30 Imm. 5
ω_1 = ω_2 =

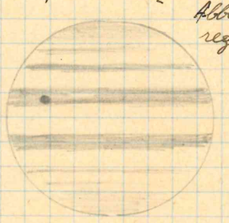


SEB non ben sep.

30. IV. 21h00 Imm. 5
ω_1 = ω_2 =
Aspetto regolare.



13.V. 21h30 Imm. 5
ω_1 = ω_2 =
Abbastanza regolare.



Riassunto presentazione 1954-1955 2ª - Telesc. 18 e 25 cm.

1ª osservazione 12. VIII. 5h00 } 9 mesi . N° 64 disegni . Imm. media n/ 4.7
ultima " 13. V. 21h30 } Fl. 4.35

					2ª metà notte (mattina)		1ª metà notte (sera)	
Con immagini	1	(= Flammarion 9)	0 disegni	= 0 %	0 dis.	= 0%	0 dis.	= 0%
	2	" 8	1 "	= 1,5 %	1	=	0	= 0%
	3	" 6	13 "	= 20.0 %	7	=	6	=
	4	" 5	19 "	= 30.0 %	8	=	11	=
	5	" 4	16 "	= 25.0 %	5	=	11	=
	6	" 3	6 "	= 9.4 %	5	=	1	=
	7	" 2	6 "	= 9.4 %	2	=	4	=
	8	" 1	3 "	= 4.7 %	3	=	0	= 0%
			64	100.0 %	31	100.0%	33	100 %
					Imm. medie Fl. 4.25		Imm. medie Fl. 4.42	
					n/ 4.8		n/ 4.6	

in 1955

23. VII. 55. Osservazione stelle : 20h00 Tempo bello, calmo, caldo durante il giorno (30°) rinfrescato la sera. Imm. 8

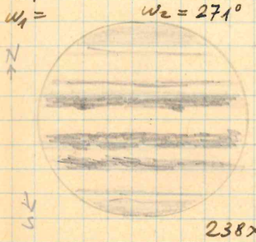
23h00. Temperat. fresca. Calmo. Scintillazione da debole a debolissima : però imm. 8!! per remous in altitudine (onde rapide + qualche vena "liquida" più vicina ma passeggera)

Impossibile ogni osservazione benchè le condizioni sembrino ideali ad occhio disarmato.

9. VIII. 55 - Osservazione Sole. N°4 gruppi di macchie.

I due gruppi più grandi sono visibili a occhio nudo col cannocchiale 7x si risolvono parzialmente.
Magnifica oss. con 74x. Con 245x turbolenza forte, ma per brevi istanti si scorgono i nuclei — oltre complessi. La più grossa — occhia del 2° gruppo ha dei ponti cromosferici chiari che dividono il nucleo.

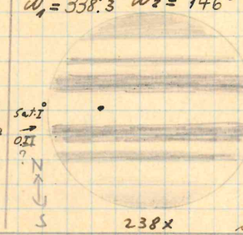
24. IX. 55. 5h30 . Imm. 3 (fino alle 5h30, poi 5)
ω_1 = ω_2 = 271°



SEB$_S$ debole.
SEB$_N$ intensa, struttura filamentosa con due condensaz. bordo nord.
NEB forse più stretta che prima, struttura complessa
NTB eccezionalmente intensa, tormentata.
NPR più scura di SPR

238x

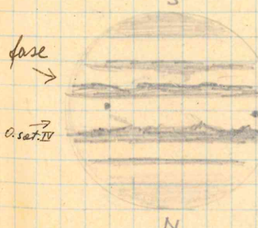
3.X. 4h30 . Imm. 4-5 (alle 5h00 : Imm. 3)
ω_1 = 338°.3 ω_2 = 146°



S.T.B. intensa
SEB non sep.
NEB intensa
NTB "
E.Z. più stretta
Aspetto simmetrico e senza anomalie.
Inizio transito sat. I : 4h34 (procede da sinist. a destra!)

238x

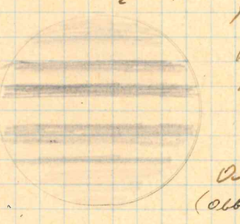
4. X. 4h50 - Imm. 3 . 191x
ω_1 = 148°.3 ω_2 = 308°.2



Regione M.R. :
M.R. insospettabile, aspetto non ben decifrato

V. disegni movimenti satelliti (a parte)

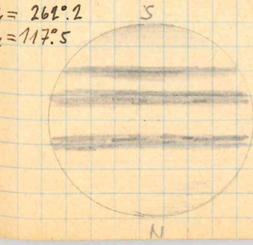
15. X. 4h30 . Imm. 8-7. Leggera brezza. Scintillaz. forte a media.



Remous in altitudine (tremolio imm. estrafocale a 2 mm. dal fuoco.)

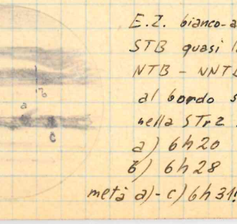
Oss. sospese dopo 10 m. (Obb. 18 191x)

13. XI. 2h40 . Imm. 5 + nubi - Obb. 18 191x
ω_1 = 261°.2
ω_2 = 117°.5



SEB > NEB
STB intensa
NTB Traccia
SPR scura

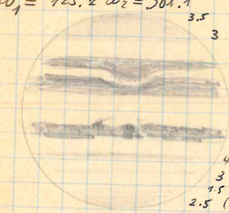
18. XI. 5h54 Imm. 5 . Obb. 25 183x (Pass. sulla banda n. NEB)
ω_1 = 89°.8
ω_2 = 266°.1



E.Z. bianco-azzurro con leggere ombre
STB quasi larga come NEB
NTB - NNTB leggere con qualche irreg.
al bordo seg. : oscuramento (M.R. ?)
nella STZ. Transiti:
a) 6h20 ω_1 = 105°.7 } a 28 Sett.
b) 6h28 ω_2 = 286°.6 }
metà a)-c) 6h31 : c) 6h52 { ω_1 = 125°.2 / ω_2 = 301°.2

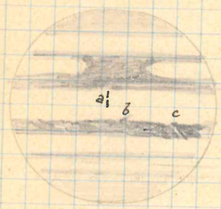
Macchia Rossa

18.XI. 6h52 : pass. (centro inselliture STB/SEB) $\omega_1 = 125°.2$ $\omega_2 = 304°.1$ e nodo scuro NEB. Imm. 5 - 183x



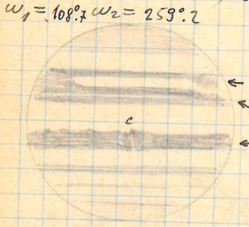
Aria calma. Freddo scintillaz. media

20.XI. 6h24 - Imm. 4 - ob. 25 - 183x. Calmo. Freddo. $\omega_1 = 63°.9$ $\omega_2 = 224°.7$

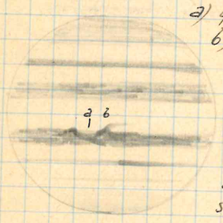


. Transiti:
inizio Gr.R.A. 6h00 $\omega_2 = 210°.2$
a) 6h16 $\omega_1 = 59°$ ($\omega_2 = 219°.8$)
metà Gr.R.A. 6h25 $\omega_2 = 225°.3$
b) 6h35 $\omega_1 = 70°.4$
fine Gr.R.A. 6h51 ~ $\omega_2 = 241°$
Struttura interna Gr.R.A. regolare, colore grigio-giallo.
Intensità Gr.R.A. : 5,5

7h21 : transito c). - NTB sospettato doppia $\omega_1 = 108°.7$ $\omega_2 = 259°.2$



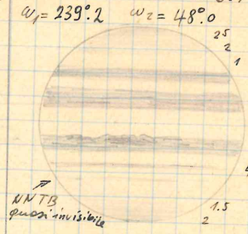
18.XII. 4h30 - Imm. 5 - Ob. 25 - 183x $\omega_1 = 96°.5$ $\omega_2 = 44°.2$



Transiti:
a) 4h08 $\omega_1 = 83°.1$
b) 4h28 $\omega_1 = 95°.3$
1° pennacchio (calcolato) 3h48 $\omega_1 = 70°.9$
Rinforzo d'intensità della NTB.
NNTB tracce
SEB massiccia
STB intensa

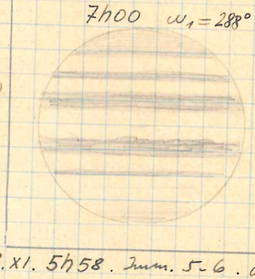
23.XII. 6h30 $\omega_2 = 239°.6$ $\omega_2 = 148°.4$
Imm. 6-7 - Niente di speciale

19.XI. 5h40 - Imm. 6.7 - Leggera aria da sud. Freddo. Scintillaz. media - forte. Ob. 25 183x

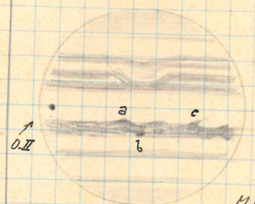


$\omega_1 = 239°.2$ $\omega_2 = 48°.0$
SEB più stretta del giorno precedente. Idem STB
I contrasti sono più deboli, causa: immagini 7
6h20 : Imm 4 : Idem. come sopra
$\omega_1 = 263°.6$ $\omega_2 = 72°.2$. Bande regolari
$\omega_2 = 96°.4$ - Imm. 5
Bande regolari

7h00 $\omega_1 = 288°$

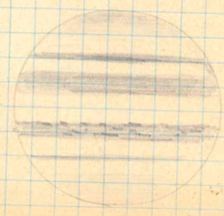


23.XI. 5h58 - Imm. 5-6 - 66. 75 183x. Calmo scint. media $\omega_1 = 161°.8$ $\omega_2 = 299°.8$ (centro M.R.). Transiti:
a) 5h47 $\omega_1 = 155°.1$ ‖ c) 6h49 $\omega_1 = 192°.9$
b) 5h58 $\omega_2 = 299°.8$
S.T.B sospettata (!), doppia dopo la M.R. - SEB nettam. doppia
NNTB molto a nord.
NTB non doppia.
La struttura M.R./SEB/STB la si scorge nei rari momenti calmi.
M.R. debolissima, come leggera ombra attaccata alla STB. Uscita ombra sat II: 6h26



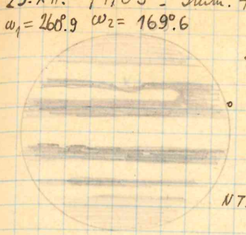
22.XII. 7h25. Imm. 3 183x $\omega_1 = 115°.1$ $\omega_2 = 31°.3$
SEB larga, regolare, massiccia
NEB pennacchio allungato ombra sat.
NNTB tracce

23.XII. 6h00 - Imm. 6 - $\omega_1 = 221°.3$ $\omega_2 = 130°.3$



Tempo freddo, calmo, un po' umido
Scintillaz. media. Leggeri banchi di nubi - nebbia alta stirata.
Immagini torbide, "flous".
NEB struttura granulosa.
SEB regolare. STB intensa

23.XII. 7h05 - Imm. 4-5. 183x. Nubi alte, leggere:
$\omega_1 = 268.9$ $\omega_2 = 169°.6$
Inizio uscita sat. II : 7h01
metà " " II : 7h03
Transito:
metà insell. STB: 7h06 $\omega_2 = 176°.2$
R.A

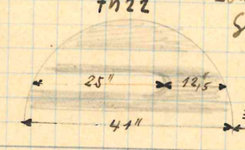


NTB ingrossata, intensa

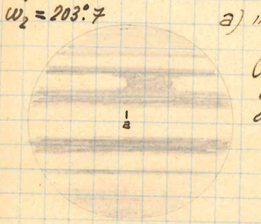
7h22

Longitudine inizio Gr. P.A. (calcolata)

202°,2 S II.

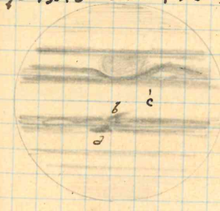


29.XII. 3h00 - Imm. 5. Cielo 80% annuvolato. $\omega_1 = 339°.4$ $\omega_2 = 203°.7$ 183x. Transiti:
a) inizio Gr.R.A. 2h59 $\omega_2 = 203°.7$

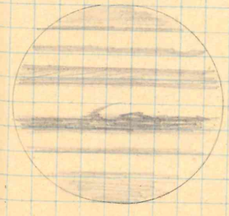


Osservazioni sospese alle 3h30 per annuvolamento gen.

6.I. 2h14 : Transito centro M.R. $\omega_2 = 298°.7$ $\omega_1 = 135°.2$ Imm. 4-5 - Transito a) ~ 2h00 $\omega_2 = 290°.3$
b) 2h12 $\omega_1 = 134°.0$
c) fine M.R. 2h37 $\omega_2 = 312°.6$
SEB doppia
M.R. pallida
STB dopo M.R.: larga ma poco intensa; sospettata doppia.



22.I. 00h30 - Imm. 5. $\omega_1 = 80°.3$ $\omega_2 = 122°.2$

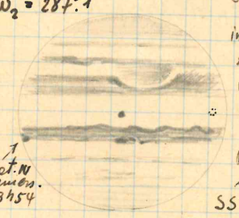


Aspetto molto regolare
SEB non nett. sdoppiata
NNTB molto a nord.

- 1956 -

26.XII. 5h00 ÷ 6h00 → sospese
Imm. 8!
Cielo limpido, scintillaz. media

27.XII. 3h40 - Imm. 5. Annuvolamenti irregolari. $\omega_1 = 47°.8$ $\omega_2 = 287°.1$
. NB Disegno molto esatto (spec. M.R.)



Transito:
inizio Baia M.R. 3h37 $\omega_2 = 285°.3$
ombra sat. I 3h38
inizio trans. sat. I 3h22
macchia scura bordo N. NEB 3h40 $\omega_2 = 287°.1$
Regione NTB/NNTB: irregolari condensazioni.
SSTB: visibile quasi totalmente

Trans. centro Baia M.R.: 4h00 $\omega_2 = 299°,2$
fine " " 4h23 $\omega_2 = 311°.3$

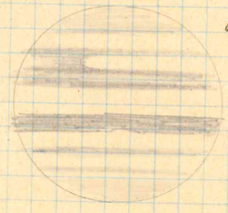
6.I.'56. 1h00 - Imm. 7. ob. 25. J 183x $\omega_1 = 90°.1$ $\omega_2 = 254°.0$



Nessun dettaglio è visibile nelle bande per imm. cattive. Ciò nonostante non c'è nessuna anomalia importante

7.I.: nuvolate; fino al 15 coperto proprio; dal 15 al 20: quando metà della notte - nebbia

22.I. 23h30 Imm. 4. $\omega_1 = 201°.7$ $\omega_2 = 236°.3$



La Gr. R.A. scompare al bordo prec. SEB sospettata doppia (Oss. diretta appare 15 min per affaticamento ocelio)

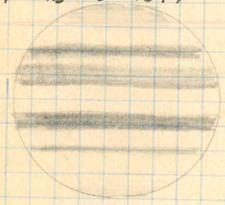
24.I. 23h40 Imm. 8.

25.I ÷ 31.I : nubi, nevicate deboli. 1.II ÷ 8.II : sereno, freddissimo (fino a −13° la notte e −6° il giorno); scintillazione forte, vento a intervalli; Imm. 8

7.II − 15.II. Freddissimo. Indotto dalla Russia verso tutta l'Europa. Nevicate fino a Napoli e in Sicilia. De Rai −10.

Lo strato d'aria fredda è di qualche centinaio di metri di spessore e di 1000 × 2000 Km. Nella zona di separazione tra aria calda (sup.) e fredda (inf.) si formano turbolenze fortissime di diffrazione, e giudizi imm. 7-8!

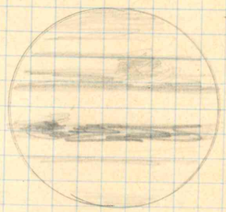
16.II. 23h00. Imm. 6-7 183×
$\omega_1 = 174.3$ $\omega_2 = 18°.4$



Oss. effettuate sospese dopo 20 m.

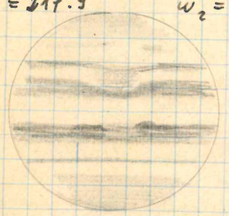
Nessun dettaglio

11.III. 00h20 - Imm. 7-8 183×
$\omega_1 = 257°.1$ $\omega_2 = 285°.4$ (inizio M.R.)



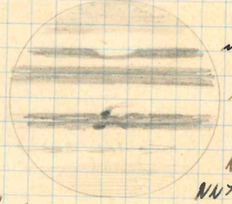
Impossibile fare oss. serie.

3.III. 23h58 Imm. 5-6 183×
$\omega_1 = 217°.9$ $\omega_2 = 299°.7$ Pass. centro M.R.



Zona chiara nella NEB a sotto della M.R.; SSTB traccie

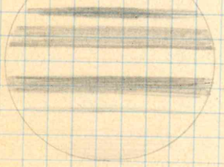
23h01 (pass. metà insell. STB) Imm. 4 183×
$\omega_1 = 120°.9$ $\omega_2 = 118°.8$



SEB massiccia, regolare
Transiti:
nodulo bordo n. NEB 22h53 $\omega_2 = 114°.0$
nodulo bordo S. EB: 22h55 $\omega_1 = 117°.2$

NTB irregolare e debole
NNTB invisibile (come anche lo SSTB)

14.III. 22h00. Imm. 6 183×
$\omega_1 = 83°.7$ $\omega_2 = 81°.9$



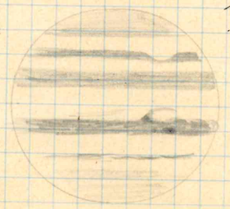
Con imm. mediocri non si vede nessun dett. nelle bande.

NPR più chiara della SPR

15.III. 1h30. Imm. 4. Transiti: 183×
$\omega_1 = 211°.7$ $\omega_2 = 208°.8$. Inizio GrR.A.: ?
Metà GrRA 1h08 $\omega_2 = 195°.5$
nodo scuro bordo n. NEB:
1h20 $\omega_2 = 202°.8$
insell. bordo n. NEB = nodo b.s.
1h22 $\omega_1 = 206°.8$
$\omega_2 = 204°.0$
(NB. Il gruppetto di dettagli NEB è più unito e minuto)
Inizio sdoppiam. SEB
Inizio sdopp. STB 1h55 $\omega_2 = 223°.9$ 1h31 $\omega_1 = 212°.3$ ($\omega_2 = 209°.4$)
Fine GrRA 1h33 $\omega_2 = 210°.6$
2° nodo con pennacchio NEB: 2h10 $\omega_1 = 235°.9$



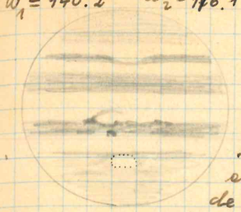
16.III.'56. 23h45. Imm. 3 ma con nebbia alta; immagine non molto luminosa ma a tratti nitida
SSTB e NNTB invisibili
pass. centr. NEB stimato alle 24.00 $\omega_1 = 112°.6$



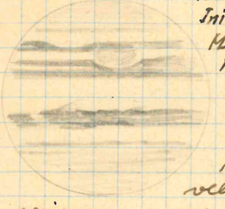
183×

1956

17.III. 20h26 - Imm. 4 183×
$\omega_1 = 140°.2$ $\omega_2 = 116°.1$ (Transito metà ins. STB)
Transito nodo bordo n. NEB
20h18 $\omega_2 = 171°.3$
La regione a nord della NTB è tutta ricoperta da un velo grigio irregolare nel quale ci sono alcuni squarci (schiariti) che mostrano la inferiore "cuticle" bianca.



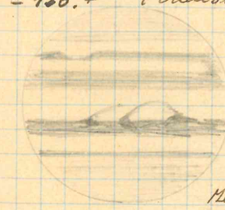
30.III. 21h00 Imm. 3-4 + nubi alte, foschie.
$\omega_1 = 53°.7$ $\omega_2 = 290°.3$ 203×. Transiti:
Metà cella STB 20h30 $\omega_2 = 272°.2$
Inizio M.R. 20h52 $\omega_2 = 285°.5$
Metà M.R. 21h13 $\omega_2 = 298°.1$
Fine M.R. 21h34 $\omega_2 = 310°.8$
M.R. debolmente rossa più scura verso sud.
NTB visibile
NNTB confusa nel velo grigio di tutta la regione a nord di NTB.



Situazione 24 fine marzo 1956 (Sist. II):

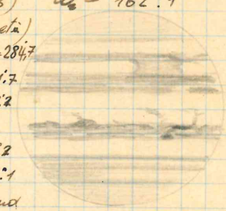
0° ÷ 100° : niente d'interessante
100° ÷ 250° : regione da studiare
250° ÷ 360° : regione studiata
Orario d'osservazione (aprile) 19h ÷ 03h

31.III.'56 - 22h16 - Imm. 2+ nebbia contrasti deboli.
$\omega_1 = 258°.0$ $\omega_2 = 126°.4$ (Transito 2° pennacchio NEB)
Transito gobba scura (metà)
bordo s. NEB 23h00 $\omega_2 = 284°.7$
Inizio Gr.R.A. 23h31 $\omega_2 = 171°.7$
Metà GrRA 23h58 $\omega_2 = 188°.2$
Condensaz. scuro bordo nord. NEB 23h58 $\omega_2 = 188°.2$
Fine Gr.R.A. 24h26 $\omega_2 = 205°.1$
Metà tratto scuro bordo nord NEB: 24h16 $\omega_1 = 331°.1$
Radice pennacchio bordo s. NEB 24h30 $\omega_1 = 339°.6$



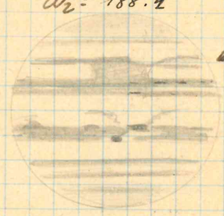
SEB: prima GrRA: massiccia, intensa
dopo 1 : doppia con irregolarità nell'intensità. Colore marrone-rosso
NEB color marrone scuro.

23h15. Imm. 3
$\omega_1 = 293°.8$ $\omega_2 = 162°.1$



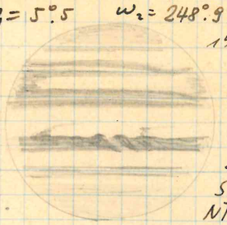
SSTB visibile, frizia
STB dopo la Gr.R.A.: doppia ben separata, componenti deboli:
prima GrRA: massiccia, scura.
NTB+NNTB ben visibili
NNNTB visibile a tratti:
1h00 $\omega_1 = 357°.9$ $\omega_2 = 225°.6$: Nessun dettaglio

23h56 Im. 2-3
$\omega_1 = 320°.1$
$\omega_2 = 188°.2$

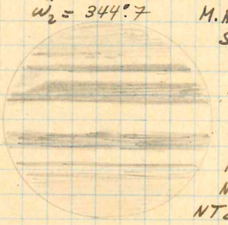


molto separati

30.III. 0h00. Imm. 4. Lessere nubi 183×
$\omega_1 = 5°.5$ $\omega_2 = 248°.9$ Transiti:
1° nodo scuro NEB
23h57 $\omega_1 = 3°.7$
metà tratto chiaro NEB
0h06 $\omega_1 = 9°.2$
SSTB ben visibile
STB doppia
SEB doppia (non netta)
NTB forse doppia
Dett. interessanti: NEB



22h30 Imm. 4-5. 183×
$\omega_1 = 108°.6$ $\omega_2 = 344°.7$
SSTB visibile fino alla M.R., poi confusa.
STB larga, intensa, massiccia
STn2. stretta, chiara
SEB massiccia, intensa
NEB normale
NTB visibile tra tolm.
NNTB " percolm.
NTZ chiara e sgombra.
23h30 $\omega_1 = 145°.2$
$\omega_2 = 21°.0$
Imm. 3+ nebbia
Aspetto repolarissimo



3.IV. 23h26 Imm.5. 183×
ω_1 = 54°.3 Transito contemporaneo inizio inselleat. STB
ω_2 = 259°.5 e macchietta scura bordo n. NEB
Struttura complessa NEB non meglio studiabile per mediocri imm. Regione NNTB confusa.
Transito metà Gr.P.A: 21h26 ω_2 = 187°.0

4.IV. 22h00. Imm.5-6
ω_1 = 159°.7. Nessun dett.
ω_2 = 357°.8
NTB debole NNTB confuso
SEB-STB forti, massiccie

23h30 Imm. 6
ω_1 = 214°.6
ω_2 = 52°.2
ω_2 = 204° (pem. occhio) NEB

5.V.'56 19h30 - 183×. Imm.4
ω_1 = 280°.4 ω_2 = 242°.7 . Onda STB non ancora al M.C.
← doppia velo →

21h10. Imm. 6-7.
ω_1 = 341°.4 ω_2 = 303°.1
Transito inizio M.R. 20h48 ω_2 = 289°.8
Metà M.R.: 21h06 ω_2 = 300°.7
Fine M.R. 21h26 ω_2 = 312°.7

6.V. 20h51. Imm.5. 183×
ω_1 = 127°.5 ω_2 = 81°.8
Transito metà ins. STB: ω_2 = 81°.8
SEB monticola STB scura NEB complessa ma indecifrata
NTB debole, sottile. NNTB invisibile

8.IV. 20h56 - Imm. 6 - Transiti:
ω_1 = 32°.2 Metà Gr.P.A. 20h32 ω_2 = 185°.5 (Prodotto bordo 1. NEB)
ω_2 = 200°.0 Fine Gr.P.A. 20h56 ω_2 = 200°.0
Metà intensione NEB 21h29 ω_1 = 52°.3 ω_2 = 219°.9
Dopo la Gr.P.A., la STB è doppia ben separata ma debole
NTB - NNTB vicine
NNTB visibile a tratti.
Tempo bellissimo, fresco, ventilato legg.

10.IV. 19h50. Imm. 4. 183×
ω_1 = 307°.6
ω_2 = 100°.6
(Transito metà insellatura STB + macchietta scura bordo n-NEB)
Transito grande pennacchio NEB: 20h35 ω_1 = 335°.0
Transito metà Gr.P.A. (centro) 22h07 ω_2 = 183°.4
Aspetto esatto come disegno 8.IV. 20h56

23h00. Imm. 4-5. Transito metà insellat. STB: 22h52 ω_2 = 270°.1
ω_1 = 107°.8 ω_2 = 274°.9
La M.R. deve essere indipendente (a quote diverse) dalla STB.
Nella E.Z. metà prec. Nord ci sono veli grigi confusi.
Transito: Inizio M.R. 23h20 ω_2 = 287°.0
metà M.R. 23h39 ω_2 = 298°.5
Fine M.R. 23h58 ω_2 = 310°.0
SEB massiccia dopo M.R.
NNTB confuso regione velata

18.IV. 22h20. Imm. 7 + vento. 183×
ω_1 = 221°.6 ω_2 = 312°.9
Impossibile fare oss. di dettagli.
Baia M.R.: molto chiara, estr. sg. non ancora transitate(?)
Oss. sospese alle 22h25.
Long. grafica metà M.R. ω_2 = 301° - Pennacchio NEB ω_2 = 210°

7.V.'56 - 20h20 - Imm. 5. 183×
ω_1 = 266°.4 . SSTB visibile - E.Z. a masse abbastanza
ω_2 = 213°.1 S.E.B normale. NTB non ben netta.
NNTB ecc. non visibile. Velo sulla reg. N.
• ← o. sat. IV.
Long. grafica: Inizio Gr.P.A. 169°.1
Metà 186°.1
Fine 203°.1
Insellat. STB ω_2 = 253°
Pennacchio NEB ω_1 = 229°.4

8.V.'56 - 20h30. Imm. 4-5 183×
ω_1 = 70°.2
ω_2 = 9°.3
Tutte le bande sono regolari e massiccie.
SSTB come limite SPR
NNTB come debolissimo limite NPR.

21h30 - Imm. 5
ω_1 = 106°.8 ω_2 = 45°.6
Long. graf. fin sell. STB ω_2 = 86°
Transito insell. STB: 22h29 ω_2 = 81°.2

9.V.'56 - 20h20 - Imm. 5. 183× Transito.
ω_1 = 221°.9 inizio Gr.P.A.: (?)
ω_2 = 153°.4 20h28 ω_2 = 158°.2
Oss. piuttosto affrettata
Long. misurate: 1° pem. NEB ω_2 = 196°
2° " NEB ω_2 = 235°
53° disegno

14.V. 21h10 - Imm. 7. Oss. poco sicura
ω_1 = 321°.1
ω_2 = 214°.3
183×

16.V. 20h30 - Imm. 3. 183×
ω_1 = 252°.1 Transito 2° pem. NEB. 20h20
ω_2 = 130°.3 ω_1 = 246°
Transito 3° pem. NEB 20h46 ω_2 = 139°.9
Transiti: Inizio Gr.P.A.: 21h18 ω_2 = 159°.3
Insell. STB: 21h22 ω_2 = 161°.7
Metà Gr.P.A. 21h40 ω_2 = 177°.4
Nodo chiaro NEB" 21h52 ω_2 = 179°.8
Fine Gr.P.A. (abb. netta) 22h18 ω_2 = 195°.5
SEB non doppia
Misurate: Long. 1° pem. NEB: ω_1 = 231°

4.V.'56. 20h20. Imm. 6 - 183×
ω_1 = 153°.1 ω_2 = 122°.7
Transito a) 19h45 ω_2 = 101°.6
SEB massiccia
STB intensa
E.Z. 05
S.T.Z. chiara (0.5)
NNTB invisibile
Long. grafiche:
Long. metà insell. ω_2 = 98°.7 - Pennacchio NEB ω_2 = 234°
Onda scura NEB ω_2 = 172° 89° Metà Insellat. STB ω_2 = 176°

22h00 - Imm. 6. 183×. Transito Gr.P.A.:
ω_1 = 214°.1 ω_2 = 183°.2
Inizio 21h34 ω_2 = 167°.5 (netta)
Metà 21h59 ω_2 = 182°.6
Fine molto indecisa, confusa
Osservaz. affaticante.
Gr.P.A.: molto estesa!
Oss. sospese alle 22h20
Imm. 7! Con lastre nessun miglioramento, forse leggero peggioram. (?)

17.V. 20h46 - Imm. 5. 183
ω_1 = 59°.7 Transito inizio M.R.
ω_2 = 290° Rumori forti.
Metà M.R.: 21h06 ω_2 = 302°.1
Oss. sospese alle 21h30 per peggioramento delle immagini: 7-8! (Ventos)

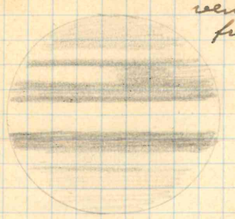
25.V.56. 20h40. Imm. 4 : Trans. pem. NEB. Imm. 7-8! alle 21h20 (abbassamento rapido della temperatura -5°)
ω_1 = 237°.8
ω_2 = 47°.2
Lat. + 40° 30° 25° 16° 8° 9 15.5 25°
↑ non corrette!!
(Latitud. centro) = ?

21h46 - Imm. 5
ω_1 = 298°.5 ω_2 = 176°.2
Transito metà insell. STB ≈ 21h20 ω_2 = 71°.4 (Long. misurata sul disegno: 73°)

DAL 24.IX.'52 AL 25.V.'56 : N° 342 disegni di 24

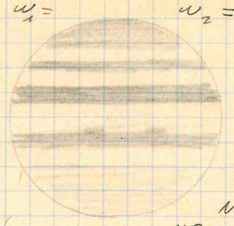
9.VI. 21h00 . Imm. 7. Legg. vento, fresco

ω_1 = ω_2 =



13.VI. 21h00 Im. 5 + Nebbie. Contrasti deboli.

ω_1 = ω_2 =



. Temperat. Tiepido (+20°) Calmo. Brune e nebbia a ovest.

S.P.R. molto ossura.
STB intensa, larga
SEB " " , le bande più importante del pianeta
NEB: nomale, abb. regolare
NTB debole NNTB invisibile.
N.P.R. più chiara.

Riassunto presentazione 1955-1956 24. Telescopio 250 mm.

1ª osservazione: 24.IX.55 } 8 mesi 20ª N°63 disegni { medio n/ 4.90
Ultima " : 13.VI.56 } " Flam. 4.10

					2ª metà d. notte (mattina)		1ª metà d. notte (sera)		
Con immagini	1 (= Flammarion 9)	0 disegni =	0%		0 disegni		0 disegni		
	2 (= " 8)	2 "	3.2%		0 "		2 "		
	3 (= " 6)	8 "	12.8%		3 "		5 "		
	4 (= " 5)	15 "	23.8%		7 "		8 "		
	5 (= " 4)	20 "	31.7%		9 "		11 "		
	6 (= " 3)	9 "	14.3%		2 "		4 "		
	7 (= " 2)	5 "	7.9%		2 "		3 "		
	8 (= " 1)	4 "	6.3%		3 "		1 "		
		63	100%		26 (41%)	Imm. med. Fl. 3.90 n/ 5.10	37 (59%)	Imm. medie Fl. 4.20 n/ 4.80	

Stella filante (bolide):

Data: 13.9.'56 - 21h00 T.M.E.C.

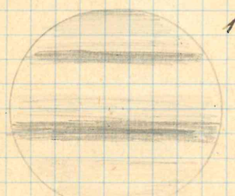
Traiettoria: $\alpha - \delta$ Ophi. (~30°) - Magn. -~1,5.

Durata ~ 1 sec. - Colore: bianco (nel giallo?)

26.XI.'56 . 5h00 Imm. 7-8

ω_1 = 41°.5 ω_2 = 244°.5

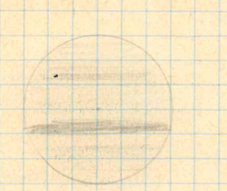
183x



Visibili: NEB - STB - NTB (traccia)
Invisibili: SEB - NNTB - SSTB
NPR più chiara di SPR
EZ: più scura di STrZ?
Turbolenza in altitudine forte.

6.XII.56 - 6h00 Im. 8

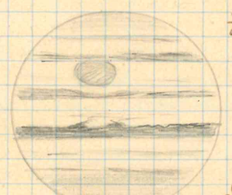
ω_1 = 216°.6 ω_2 = 343°



Tempo bellissimo - brume, vento nullo, freddo. Remous forti in altitudine e medi locali; risultato: disastroso!

18.XII.56 5h18 . Imm. 3-4. 183x 245x (305x)

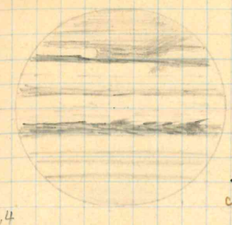
ω_1 = 285°.6 ω_2 = 320°.4 (Transito est. seg. M.R.)



Trans. 2° penum. NEB 5h19 ω_2 = 286°.2
SSTB ben visibile.
M.R. ben visibile ovale perfetto, colore uniforme grigio rosato.
STB: struttura irregolare; SEB$_n$ ben visibile, non intensa SEB$_s$ quasi invisibile. NEB: intensa più sottile dell'anno scorso; EZ: più stretta; NTB: tracce; NNTB meglio visibile che NTB; NPR scura.

19.XII.56 . 4h40 . Imm. 3-5. 245x. Cielo limpido - calmo

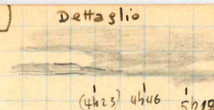
ω_1 = 60°.3 ω_2 = 87°.8



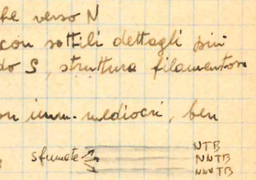
in basso, remous in altit.
Aspetto 7 delicato con sottili e bei dettagli
Transiti: . ?
- inizio inv. prim. STZ: (4h23 ω_2 = 77°.6)
- metà " : 4h46 ω_2 = 91°.4
- fine 5h19 ω_2 = 111°.3

SEB$_s$: tracce debolissime
SEB$_n$: ben bisibile, qualche condens. bordo N.

Dettaglio

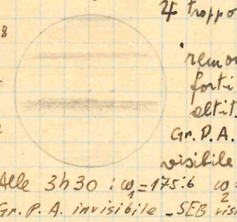


E.Z. con ombre molto vaghe verso N
NEB: colore bruno-rosso, con sottili dettagli più scuri (pennacchi) bordo S, struttura filamentosa SE → NO (delicata)
NTB: sottile e difficile con imm. mediocri, ben visibile con buone.
NNTB - NNNTB: id. come NTB



20.XII.56 3h00. Imm. 7 245x

ω_1 = 157°.3 ω_2 = 177°.6

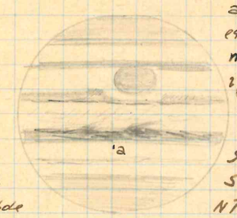


7 troppo basso
"remous" forti in altit.
Gr. P.A. in visibile.

Alle 3h30: ω_1 = 175°.6 ω_2 = 195°.7
Gr. P.A. invisibile - SEB visibile debole
NTB id. - Tutta la STrZ è sgombra.

6h20 - Imm. 3 + nebbia alta 245x

ω_1 = 279°.2 ω_2 = 298°.5



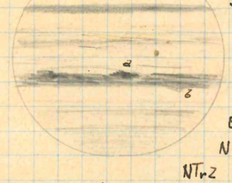
Transiti: (1° penn. 265°)
a) metà 2 penn. 6h13 ω_2 = 274°.9
estr. prec. M.R 6h15 ω_2 = 295°.5
metà M.R. 6h31 ω_2 = 305°.1
2 penn. NEB 6h30 ω_1 = 285°.3
estr. seg: nuvoloso!
E.Z.: ombre vaghe
SSTB ben visibile
SEB$_n$ abb. larga
NTB: tracce
NNTB: ? invis. - NNNTB: visibile

NEB: brune - rosse
Altre bande: sul grigio
Nessuna bene e brillante (int. 0 ÷ 0.5)
E.Z. 1.0 - 1.5
STZ. 1.0
STrZ. 1.0 - 1.5
NTrZ 0.5 - 1
NTZ. 1.0
NNTZ. 1.5 - 2
NPR 2
SPR 2 - 2.5

26.XII. 6h00 ω_1 = 134.9 ω_2 = 108° Imm. 7-8. Visibili NEB - STB - nessuna anomalia

29.XII.56 5h20. Imm. 3-6 245x

ω_1 = 223°.8 ω_2 = 174°.8 Transito dett.



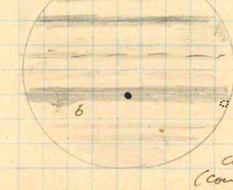
a) NEB 5h22 ω_1 = 225°
b) 5h56 ω_2 = 196°.5

STB 7 -
SPR 2 - 2.5
STZ 0.5 - 1
STrZ 0.5 - 1
SEB$_s$ 25 - 1/2
SEB$_n$ 4
E.Z 2
NEB 8
NTrZ 1

SSTB come termine SPR; SEB non separata, confusa
NTB invisibile - NNTB visibile (estr. seg. scura) NNNTB id.

6h30 . Imm. 4-7 245x

ω_1 = 272°.6 ω_2 = 217.1



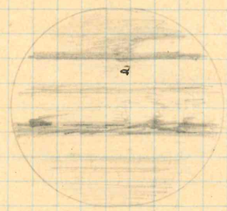
Fenomeno Sat. IV:
Transito disco:
1° cont. 6h28
2° " 6h31
Ombra a 1 M.C. 6h30
disco invisibile 6h45 su NTrZ

Verso l'estr. prec. STrZ si comincia a vedere le M.R. (come leggera incupimento al bordo)

Ultima oss.: 6h45 ω_1 = 28°.7 ω_2 = 226.1 : niente di particolare (Imm. 4-7)

14.1.1957 - 6h10 Imm. 6 (-7) 245x (7 basso!)

ω_1 = 261°.4 ω_2 = 90°

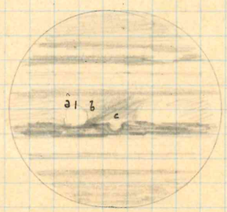


Calmo. Freddo
E.Z.: veli grigi irreg.
NTB: NNTB difficili.
Transito a)
6h28 ω_2 = 100.8

SEB$_s$ invisibile
SEB$_n$ debole me visibile
Pennacchi indecisi
Bordo S. NEB, metà seg.

19.1.57 3h30 Imm. 4-5. Freddo - Calmo in basso

ω_1 = 233°.6 ω_2 = 24°.9



Transiti:
a) 3h12 ω_1 = 222°.6
b) 3h16 ω_1 = 225°
c) 3h30 ω_1 = 233°.5

sopra b): E.Z. velata, grigia
SEB$_s$: sospettata, molto distaccata da SEB$_n$ (visibile)
NTB visibile, debole - NNTB visibile

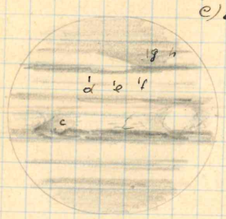
V. pag. seg.

19.1.57. 4h10 Jmm. 4-5 245x

$\omega_1 = 258°$ $\omega_2 = 49°.1$ Transiti:

a) 3h55 ~ $\omega_2 = 40°.1$

c) 4h11 $\omega_2 = 49°.7$ (L)



Bei veli e chiarezze nella E.Z.

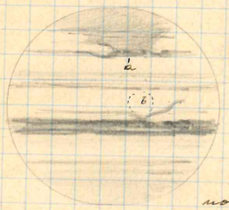
f) 4h26 $\omega_2 = 58.7$

g) stimato: 4h41 $\omega_2 = 67°.7$

h) " : 4h57 $\omega_2 = 77°.3$

3.2.57. 1h40 J. #2 Calmo e buon Occhiostanco!

$\omega_1 = 16°.4$ $\omega_2 = 53°.9$ Transito a) molto comun.



1h50 $\omega_2 = 59°.9$

b) 1h57 $\omega_1 = 26.8$

L'occhio non riesce bene a concentrarsi nonostante lim. 2!

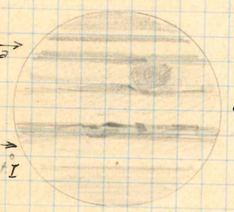
3.3.57. 1h10 Jm. 5-6 - Calmo. Freddo (+1°)

$\omega_1 = 102°.9$ $\omega_2 = 286°.8$ - M.R.: colore nocciola - terra di Siena

NEB color grigio. bruno

SEB " crème (STB id.)

Transiti M.R.: (?) ~12°



chiara → velata → chiara → Sat I

prec. 1h26 $\omega_2 = 296.4$

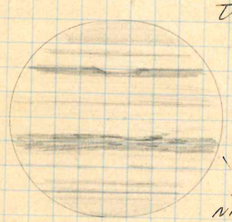
centro 1h46 $\omega_2 = 308°.6$

245x

9.3.57. 23h55 Jmm. 5-6 + nebbia all'a. Temp. +8°

$\omega_1 = 83°.5$ $\omega_2 = 214°.4$ 245x. Contrasti deboli

Transito metà sella STB $\omega_2 = 214°.4$



SEB debole

NEB dettagli molto fini, risolvibili solo con im 2.3.

NTB: tracce

NNTB: visibile

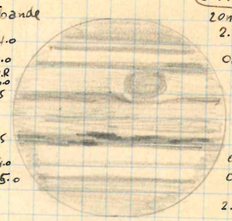
NNNTB: "

Aspetto generale normale e monotono

21.1.57. 2h30. Jmm. 6-7 - Turbolenza forte in altit. ma dett. ancora visibili (limiti crateleti vis. a tratti)

$\omega_1 = 153°.1$ $\omega_2 = 289°.3$

3h15 im 4-2



bande	
	4.0
	7.0
	4.8
	6.0
	6.5
	7.5
	4.0
	5.0
zone	2.5
	0.5
	1.5
	1.7
	0.5
	0.5
	2.0

Transiti:

(inizio M.R. 2h37 $\omega_2 = 293°.5$)

metà M.R. 2h55 $\omega_2 = 304°.4$

fine M.R. 3h17 $\omega_2 = 317.7$

STB intensa dopo M.R.

NEB - regolare

NTB tracce. SSTB visibile

17.2 0h12 · Jmm. 8. Cielo limpido

$\omega_1 = 15°$ $\omega_2 = 306°$ Freddo

(transito inizio M.R $\omega_2 = 306°$)

183x

4.3.57 23h50 - Jmm. 6. legg. vento 245x

$\omega_1 = 16°.2$ $\omega_2 = 180°.3$

NEB complesso ma non risolto a causa delle cattive immagini.

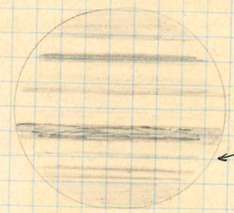
← veli grigi.

← invisibile

← doppia (o: NNTB / NNNTB)

11.3. 23h30 Jm. 6.7. Fresco

$\omega_1 = 24°.2$ $\omega_2 = 140°.1$



Nessun dettaglio visibile con immagini cattive. Potrebbero sfuggire dett. anche di media grandezza (come pennacchi NEB)

← visibile (?)

Disegno valevole solo per configurazione generale grossolana!

12.3.57 - 23h20. Jmm. 4. Fresco. Ingr. 245x - 183x - 203x

$\omega_1 = 176°.2$ $\omega_2 = 284°.5$ - SSTB intensa

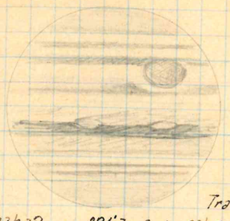
M.R. nettamente rosa carico

E.Z. molto velata

NTB come limite scuro della NTZ grigia

NNTB e NNNTB visibili; nette

N.T.Z. chiara



Transiti M.R.:

E. pr. 23h32 $\omega_2 = 291°.7$. Centro 23h50 (ca) $\omega_2 = 302°.6$ (302:0)

E. s. 24h09 $\omega_2 = 314°.1$ Dettaglio M.R.:

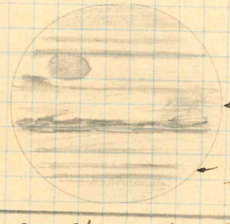
Tinta rosa carico bordi nettissimi



asse maggiore non perfetta con esse inclinato 8:10°. Colore legg. più intenso verso Sh. eq. altrimenti unito. (Esp. allungata)

Transito metà 2ª sella NEB 23h48 ω_2 = ~~illegibile~~ 193:3

Long. grafica " 1ª " " $\omega_1 = 162°$ (ca)



24h30 $\omega_1 = 218°.9$

$\omega_2 = 326°.8$

Jmm. 5. 183x

← zona più scura $\omega_2 = 270°$ (graf)

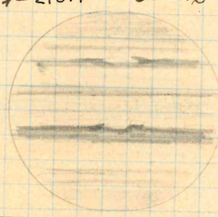
SEB più debole ancora

SSTB un po' più debole

← NNTB + NNNTB più intense verso E. eq.

15.3. 23h00 - Jm. 6. 183x. +8° ~

$\omega_1 = 278°.1$ $\omega_2 = 3°.6$



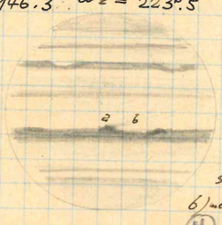
Sella NEB in M.C. alle 23h05 $\omega_1 = 281°.1$

Sella STB (più grande) (L) $\omega_2 = 6°$ (graf.)

Bande e zone norm. Condiz. cattive (Strumento appena sortito, occhio stanco)

16-3 24h55 (= 17.3 0h55) Jmm. 4. 183x

$\omega_1 = 146°.3$ $\omega_2 = 223°.5$



Transito penn. NEB

a) $\omega_1 = 146°.3$

NTB invisibile. solo come limite N.T.Z.

SSTB netta, intensa

SSSTB limite SPR

b) metà: 1h15 ~ $\omega_1 = 158°.5$

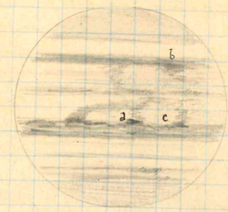
(H) 198 (I)

Due selle STB: 1ª $\omega_2 = 196°$ 2ª $\omega_2 = 258°$ (263°)

(graficate)

13.3.57 23h20 J. 4-5. 183x Fresco

$\omega_1 = 334°.2$ $\omega_2 = 74°.9$



Enorme pennacchio da NEB_3 (- 23° M.C. $\varepsilon_2 = \omega_1 = 311.°$)

NTB leggera; tracce

Transiti:

a) 23h30 $\omega_1 = 340°.3$

a') 23h40 $\omega_1 = 346°.4$

b) 23h52 $\omega_2 = 94°.2$

c) 23h52 $\omega_1 = 353°.7$

d) 24h04 $\omega_1 = 1°.0$

23h52. Jmm. 4. 183x

$\omega_1 = 353°.7$ $\omega_2 = 94°.2$

Zone e Nord NEB:

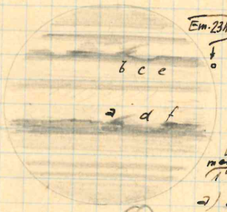
velo grigio chiaro ricoprente.

e): nuova protuberanza voluminosa delle NEB_3 verso la EZ.

~ $\omega_1 = 43°$ (long. graf. ± 10°)

14.3. 23h40. Jmm. 4 183x. ~6°C.

$\omega_1 = 144°.4$ $\omega_2 = 237°.4$



Due selle STB.

Em. 23h40 SEB_3 visibile, sfumata

EZ velata leggerm. NTZ grigia

NTB invisibile

NNTB + NNNTB visibili, nette

Longitudini:

1ª sella STB $\omega_2 = 280°$ (graf.)

a) 23h47 $\omega_1 = 148°.7$

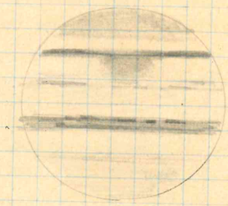
b) 23h53 $\omega_2 = 245.2$

c) 24h06 $\omega_2 = 253:1$; d) 24h09 $\omega_1 = 162.1$

e) ( ) $\omega_2 = 262°$; f) ( ) $\omega_1 = 178°$

3.4.57. 22h00 · Jmm. 6 183x (~ +12°)

$\omega_1 = 3°.8$ $\omega_2 = 304°.5$



Forte turbolenza in altitudine (può essere messa a fuoco bene, 1-2 mm. in quota)

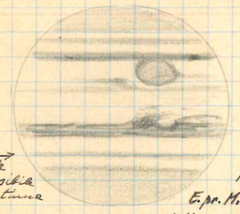
Transito M.R.: (centro)

22h03 $\omega_2 = 306°.3$

Niente di particolare

5.4.57 - 23h15 Jmm. 2. + nebbia alta. 245×

$\omega_1 = 5°.3$ $\omega_2 = 290°.5$



Dettagli molto fini ma contrasti deboli. L'immagine resta nettissima e immobile per lunghi momenti (a 1-2 min), bellissimo spettacolo, da non passo non più visto.

debole ma visibile e continua

Transiti:

E.pr. M.R. 23h26 $\omega_2 = 297°.1$

Metà penn. NEB 23h32 $\omega_1 = 15°.7$

Metà M.R. 23h42 $\omega_2 = 306°.7$

Metà sella NEB 23h46 $\omega_1 = 24°.2$

2° penn. NEB = Fine M.R. 23h59 $\omega_1 = 32°.1$ (non precisa) $\omega_2 = 316.9$

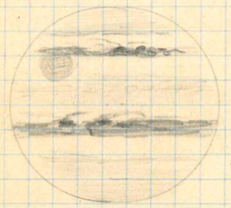
Sella STB: stimato $\omega_2 = 12° (\pm 5°)$

3° penn. NEB: stimato $\omega_1 = 87° (\pm 5°)$

24h00

14.5.57 - 21h55 - Jmm. 5-7, 245× Calmo. temperato.

$\omega_1 = 355°.0$ $\omega_2 = 343°.0$



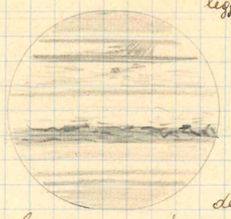
SEB quasi invisibile

NTB + NNTB "

Long. centro M.R. grafico $\omega_2 = 306°$ $(\pm 2°)$

16.4.57. 23h16. Jm. 5. 245× (tremolio)

$\omega_1 = 303°.6$ $\omega_2 = 144°.7$



Diaframmo ϕ 20 cm.

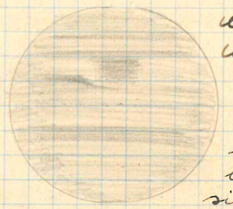
legg. vantaggiosa

Dettagli molto minuti, s'intravedono senza potersi prendere i transiti, trama a macchiette come STn2. che passo alle 23h veli e piccolissime condensazioni nella E.Z.

che le stanno un'apparenza "marbrée" lo stesso nella STn2 e nello NEB. NTB invisibile, solo limite sono grigie NNTB + VNNTB visibili. Nella S.T.Z. ce al M.C. ci sono tracce di condensazioni (veli grigi): forse residuo perturbaz.? Ultima Conj. perturb. 3.2.57: $\omega_2 = 53°.9$

Transito oscuramento STz: 23h34 $\omega_2 = 155°.5$

4.6.57. 23h25 - Jm. 8! (a basso)



$\omega_1 = 123°.8$

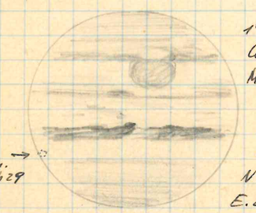
$\omega_2 = 311°$ (Transito centro M.R. ~)

M.R.: meno scuro (?)

Nello stesso momento su η (± alla stessa altezza sull'orizzonte) si scorge facilm. la div. Cassini nelle anse.

9.6.57 - 22h16. Jmm. 5. Fresco, umido.

$\omega_1 = 150°.6$ $\omega_2 = 300°$



Transiti:

E.pr. M.R. 22h19 $\omega_2 = 298.8$

1° penn NEB 22h16 $\omega_1 = 150.6$

Centro M.R. 22h31 $\omega_2 = 309°$

Metà zona chiara NEB: 22h32 $\omega_1 = 160°.4$

STB più debole che i mesi prec.

NTB: NNTB vaghissime

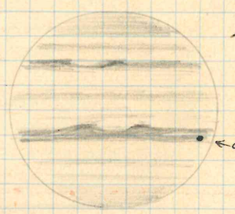
E.Z. gripia (veli)

M.R. rosa intenso.

Em. → 22h29

18.6.57. 21h30. Jmm. 4 - Caldo, normale

$\omega_1 = 102°.2$ $\omega_2 = 183°.3$



Transito metà due onde NEB $\omega_1 = 102°.2$

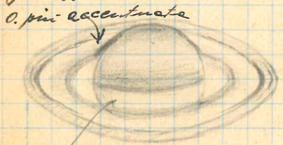
Visibili, ma deboli STB, SEB_n, NTB, NNTB

←O.

18.6.57. 22h30

Jmm. 3-4.

O. più accentuata

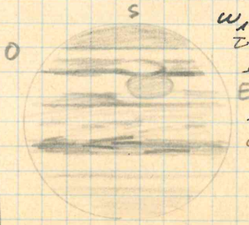


Visibili: Cassini, Sue. Enche, raram. Ombra sull'anello Anelli di crêpe.

305×

Z. chiara

19.6.57. 20h35. Jmm. 4. Caldo, calmo



S O E N

$\omega_1 = 226°.4$ $\omega_2 = 300°.1$

Transito H.R.:

e. prec. 20h35 $\omega_2 = 300.1$

centro 20h52 $\omega_2 = 310°.5$

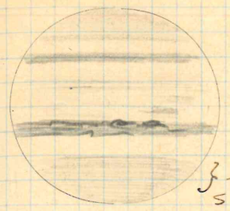
e. sg. ——

centro della STB 20h46 $\omega_2 = 306°.7$

(L)

3.7.57. 21h00. Jmm. 6.7. 245×

$\omega_1 =$ $\omega_2 =$



Definizione cattiva, impossibile fare oss. delicate (sia come contrasti che come finezza)

3 indistinte

STB larga.

SEB quasi invisibile.

Oss. cometa Mrkos: 16.8.57: sotto il timone Orsa Magg. a ~ 20° sull'orizzonte ovest (alle 21h00) grandezza ~ 3ª coda 10°-15° legg. curva →N

19.8.57: id. 16. ~ 3ª gr. coda id.

L'aspetto è grosso-modo come quello della Mend.-Roland (inizio di maggio) la coda è però legg. incurvata verso N.

Riassunto presentazione 1956-1957 di ♃. Telesc. 25 cm.

1° oss.: 26 nov. 1956 } 7 mesi 7 d N° 35 disegni. { media imm. n/: 5.05

ultima: 3 luglio 1957 } { " " Fl./: 4.00

Con imm.			2ª metà notte (mattino)			1ª metà notte (sera)		
1 (= Flammarion 9)	0 disegni =	%	0 disegni			0 disegni		
2 (" 8)	2 "		1 "			1 disegno		
3 (" 6)	2 "		2 "			0 "		
4 (" 5)	10 "		5 "			5 "		
5 (" 4)	8 "		3 "			5 "		
6 (" 3)	7 "		1 "			6 "		
7 (" 2)	3 "		2 "			1 "		
8 (" 1)	3 "		2 "			1 "		
Σ	35 "	100%	16	(46%)	Jmm. medie n/ 4.94 Fl. 4.13	19	(54%)	Jmm. medie n/ 5.16 Fl. 3.8

Oss. turbolenza: (57)

15.7.57 - D = 6 cm. t = a = ~ 2". Calmo. (J.6.7)

25.7.57 - D = 6 cm t = a = ~ 2". Calmo. (J.6.7)

10.8.57 - D = 16 t = 1.7 a = 1".6

D = 10 t = a = 1".4

8 t = a/2 = 1".0

6 t = a/2 = 1.2

5.2 : 4 =

$t_{medio} = 1".3$ - $t_0 = 1".06$

367×

(Jmm. 5-6)

z = 35°

DAL 1°.X.57: A LOCARNO-MONTI: Specola Solare

29 ott. 57 (e giorni seguenti): tentativi infruttuosi di oss. dello "Sputnik" (e del razzo v.)

(TMEC) 18h47: bolide luminoso dalla cost. di Ercole all'Aquila traiettoria ~ 30° magn. -2 durata ~ 1 sec. colore legg. giallastro; silenzioso

12 nov. 57. Oss. varie nebulose: "Dumbbell" grande e luminosa 73×

Anulare Lira: bellissima 183×; Andromeda: enorme, nucleo centrale molto luminoso. Ammasso d'Ercole: bello, ma non come all'attesa. 73× 183×

21.XI.57 Venere : Telesc. 25 cm. 460x 245x 183x . Rifratt. 135 mm. 380x 72x

17h30 TMEC

Imm. 7



La qualità dell'imm. è uguale nei due strumenti, a tratti migliore nel telesc. e meno cromatica.

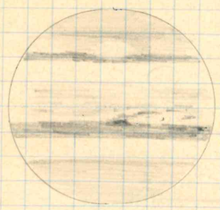
22.XI.57. Oss. turbolenza . 6h30 Imm. 6-7 z = 30°

D = 6 cm $t = 0.5a = 1''.16$

10 " $t = 0.8a = 1''.12$

media $1''.14$ $t_0 = \frac{1''.14}{1.15} = 1''$

Giove (z = 30°) turbolenza $t_{calc.} = 2''$! (alle 6h30)



7h15 Imm. 5 245x (Il Sole sorgerà tra 1h20)

$\omega_1 = 273°.0$ $\omega_2 = 11°.9$

(Transito "white oval spot.") = sella "H" (F.A. Reese)

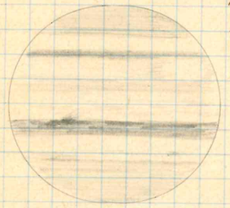
Trans. onda scura NEB_s 7h22 $\omega_1 = 277°.3$

E.Z. velata, irreg. SEB invisibile NTB - NNTB ecc. non separate

NEB larga ed intensa.

27.XI.57. 7h30 Imm. 6-7 183x 245x

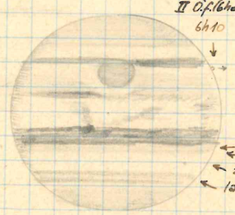
$\omega_1 = 297°.2$ $\omega_2 = 226°.7$



molto agitato limpido, calmo SEB visibile, diffusa. Zone più chiare: NTZ. STZ.

17.XII.57. 6h22 Imm. 4 poi 5. Calmo (in cupola ~=) 203x

$\omega_1 = 171°.6$ $\omega_2 = 308°.9$ Diafr. 20 cm.



II Diff.(chiara) 6h10

Transiti:

cond. NEB_s	6h05	ω_1 =	161°.2
e. pr. M.R.	6h06	ω_2 =	299°.3
centro M.R.	6h22	ω_2 =	308°.9
e. seg. M.R.	6h33	ω_2 =	318°.5

STB dopo M.R. larga. intensa

SEB_n vis., sottile

SSTB diff. visibile

fascia NTB invis.

zona più chiara larga (NNTB + NNTB)

M.R. ovale netto, roseo salmone.

7h40 $\omega_1 = 219°.2$ $\omega_2 = 356°.1$

Imm. 4 203x Diafr. 20 cm.

Transito ombre scure E.Z. (massima dens.)

La materia della E.Z. va a formare la SEB_n → (I)?

Trans. metà sella (mis. dis.) $\omega_2 = 22°$

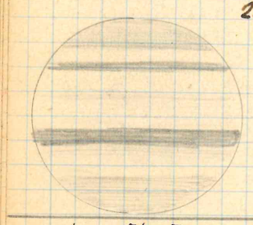
21.XII. 6h50

Imm. 6-7 . 203x

$\omega_1 = 100°.0$

$\omega_2 = 206°.6$

nessun dett. visibile (come oss. 17.XI)



15.I.58. 5h45 Imm. 5-6 (7) 183x

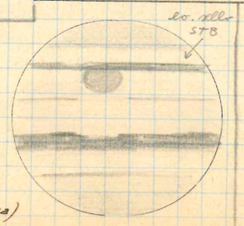
$\omega_1 = 46°.8$ $\omega_2 = 323°.1$

Trans. e. seg. M.R. 5h46 $\omega_2 = 323°.7$

(Centro calcol. Δ $\omega_2 = 314°$)

Nessun colore, scarsi dett.

Trans. ev. sella STB : 6h40 $\omega_2 = 356°.4$ (dubbiosa)



ev. sella STB

15.I.58. 7h40 Imm. 4 183x

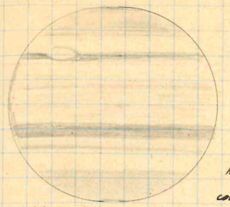
$\omega_1 = 116°.9$

$\omega_2 = 32°.6$

183x . SEB quasi invisibile, E.Z. velata, aspetto regolare.

28.1.58. 7h00 Imm. 4-5 245x

$\omega_1 = 344°.4$ $\omega_2 = 161°.9$



Aspetto regolare con immag. mediocri

SEB_n visibile, sottile

SEB_s invisibile

E.Z. velata, più scura che ST_z.

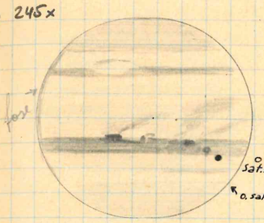
NTB vicina a NEB, risib.

NNTB invis. NNTB visibile come bordo NPR

Metà sella (grafica) : $\omega_2 = 130°$ (± 3°) "L"

6.3.58 . 1h30 Imm. 2-3 . (Alle 0h30: Imm. 6)

245x



$\omega_1 = 228°.8$

$\omega_2 = 124°.9$

Trans. 2° cond. NEB_s:

2h05 $\omega_1 = 249°.3$

Trans. 3° cond. NEB_n:

2h25 ~ $\omega_2 = 261°.5$

Sat. I inizio h. 2h04

Sat. I uscita ~ 3h30

SEB . NNTB . NNTB invisibili. Metà sella (graf.) $\omega_2 = 105°$ ← "L"

4h50 . Imm. 4-5 245x

$\omega_1 = 350.8$ $\omega_2 = 245.8$

SEB diff. visib.

NNTB facilm. "

Transito metà sella STB:

5h08 $\omega_2 = 256.6$ "H"

penn. NEB 5h07 $\omega_1 = 1°.2$

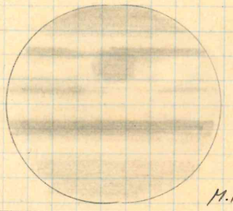
Osservazione di bolide (dati approssimativi) (59)

Luogo: Chiasso . Oss.: Bernasconi S. dipl. fis.

25.1.'58 . 20h38 T.M.E.C. . Traiettoria da Sud-E → O.

Altezza . ca 40°-35° sull'orizz. . Colore bianco . Scia luminosa non persistente . Durata 2s . Scoppio finale . Luminosità -2

29.1.58 . 7h00 Imm. 7. 245x



$\omega_1 = 143°.3$ $\omega_2 = 312°.2$

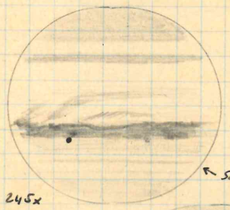
Trans. centro M.R. $\omega_2 = 312°.2$ impossibile scorgere dettagli ev. anche notevoli. Prima della M.R.: sella STB (?), dubbia.

Trans. e. seg. M.R. ~ 7h18 $\omega_2 = 323°$

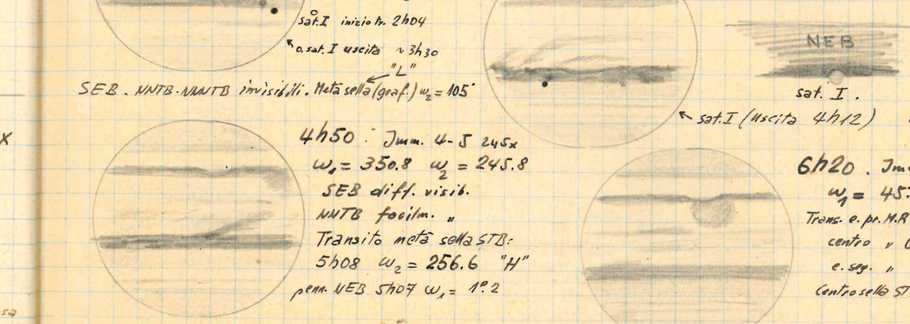
M.R. più lunga che il 17.XII ?

6.3.58

2h50 Imm. 3 - 245x



$\omega_1 = 277°.6$ $\omega_2 = 173°.3$



NNTB + NNTB visibili

NEB

sat. I.

sat. I (uscita 4h12)

4 turbolenza t_0 = alle 4h00 : 0".9 (Imm. 4)

6h20 . Imm. 5 245x

$\omega_1 = 45°.7$ $\omega_2 = 300°.2$

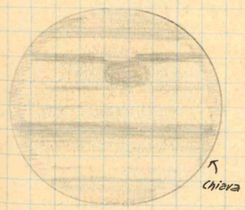
Trans. e. pr. M.R. 6h25 $\omega_2 = 303°.2$

centro ~ 6h42 $\omega_2 = 313°.5$

e. seg. " — ω_2 = —

Centro sella STB 6h37 $\omega_2 = 310.4$ "I"

7.3.58. 2h26 Imm. 6-7



chiara

$\omega_1 = 61°.1$ $\omega_2 = 309°.2$

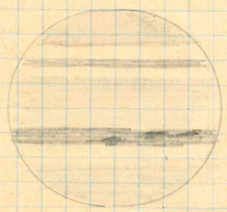
Trans. sella STB $\omega_2 = 309°.2$

" centro M.R. 2h35 $\omega_2 = 314.6$

(Stime non sicure, cattive immagini)

245x

18.4.58. 23h20 Imm. 6



$\omega_1 = 263°.0$ $\omega_2 = 183°.9$

SEB invisib.

Trans. cent. NEB_n

$\omega_2 = 183°.9$

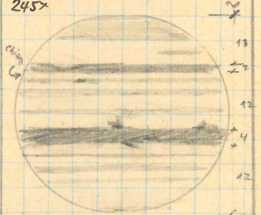
tele. 25 cm 245x 183x

" " diafr. 18 cm. (=) rifr. 15 cm. meno contrasti (imm. 6-7 invece di 6)

226x - 452x

20.4.58. 23h05 Imm. 2

245x



$\omega_1 = 209°.9$ $\omega_2 = 115°.6$

Trans. penn. NEB_s $\omega_1 = 115.6$

SEB_s" visib. deboli

EB " "

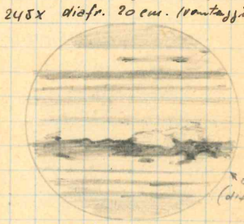
NTB. NNTB. NNTB visibili

Trans. dett. NEB_n 23h12 $\omega_2 = 119.8$

$t_0 = 0".35$ ($t = 0°.4$ media φ 16-18-20 cm.)

20.4. 23h50 Imm. 2-3

245x diafr. 20 cm. (vantaggioso)



$\omega_1 = 237°.3$ $\omega_2 = 142°.8$

Trans. 1° penn. NEB_s $\omega_1 = \cancel{242°.8}$ 237°.3

" nube NEB_n 24h11 $\omega_2 = 155.5$

" 2° penn NEB_s 24h30 $\omega_1 = 261°.7$

" penn. NEB_n 24h50 $\omega_2 = 179.1$

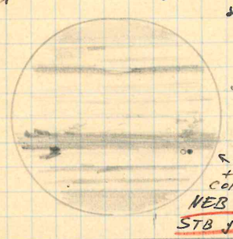
" inizio SSTB ~ 23h45 $\omega_2 = 140°$

1h02 $\omega_2 = 186.3$

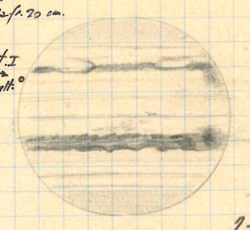
SPR

STB debole

21.4.58. 1h51 Jm. 3 245x
$\omega_1 = 311{:}1$ $\omega_2 = 215{:}9$ (Trans. sella STB)

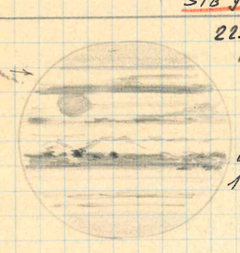


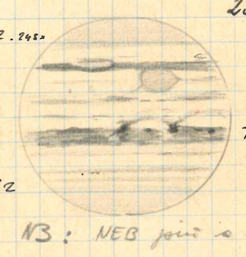
21.4.58 22h30 Jm. 3 245x. Transiti:
$\omega_1 = 346{:}6$ $\omega_2 = 244°.8$
diafr. 20 cm.
fine 1ª sella STB 22h15 $\omega_2 = 235{:}8$ (?)
metà due selle STB 22h30 $\omega_2 = 244{:}8$ (?)
inizio occult. Sat I 22h32
inizio 2ª sella STB 22h54 $\omega_2 = 259{:}3$ (?)
fine sella NEB_n : " " $259{:}3$
metà sella STB : 23h10 $\omega_2 = 268{:}9$



Colori: NEB nocciola . STB grigio-blu
M.R.: vellum. rosa carico (sella nord)
M.R.: prec. regol., seg. a punta, più scura

22.4. 1h20 Jm. 2. 245x
$\omega_1 = 145{:}1$
$\omega_2 = 347°.6$
Trans. inizio SSTB
1h20 $\omega_2 = 347{:}6$
Condens. NEB_s
1h12 $\omega_1 = 140{:}2$

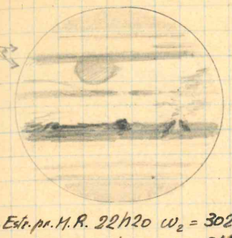


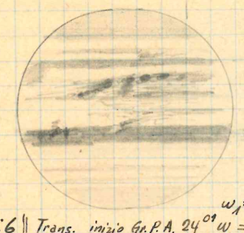


23h52 Jm. 2 245x ϕ24 cm.
Trans. 1° penn. NEB_s 23h52 $\omega_1 = 36°.6$
E. pr. M.R. 24h05 $\omega_2 = 302°.2$
Condens. NEB_s 24h15 $\omega_1 = 50{:}6$
Centro M.R 24h21,5 $\omega_2 = 312{:}1$
T. 2° penn. NEB_s 24h36 $\omega_1 = 63{:}4$
E. seg. M.R 24h39 $\omega_2 = 322°.7$

NB: NEB più a nord (misure micrometro inserite)

1.5.58. 22h58 Jm. 3.4 ‖ 24h35 Jm. 3
$\omega_1 = 143{:}8$ $\omega_2 = 325{:}5$ ‖ $\omega_1 = 203{:}0$ $\omega_2 = 24°.2$

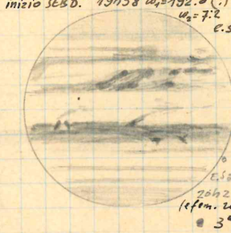




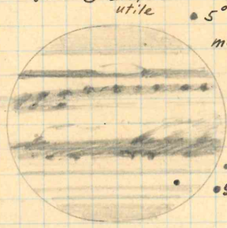
Estr. pr. M.R. 22h20 $\omega_2 = 302{:}6$
centro " 22h35 $\omega_2 = 311{:}6$
E. seg. " 22h54 $\omega_2 = 323{:}1$
1ª Cond. NEB_s 22h58 $\omega_1 = 143{:}8$
Impressione: M.R. sotto STB. (STB semi trasparente)
centro 2ª punta NEB_s 23h40 $\omega_1 = 169{:}4$
inizio SSTB 23h35 $\omega_2 = 347{:}9$

Trans. inizio Gr. R.A. 24^{m} $\omega_1 = 182{:}2$ $\omega_2 = 3{:}6$
metà 1ª nuvola " $24^{m}11$ $\omega_2 = 9{:}6$
" 2ª " " $24^{m}35$ $\omega_2 = 24{:}2$
piccola penn NEB_s $24^{m}35$ $\omega_1 = 203{:}0$
- Colori: M.R. salmone int.
SEB bluastro
STB bruna
NEB bruno-rossastra

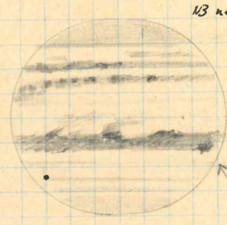
2.5.58. 20h15 Jm. 2 245x
$\omega_1 = 202{:}4$ $\omega_2 = 17{:}4$ Transiti:
inizio "SEB.D." 19h58 $\omega_1 = 192{:}0$ (?) $\omega_2 = 7{:}2$
metà 1ª nube STrD 20h04 $\omega_2 = 10{:}8$
C.S. 1ª nube STrD 20h10 $\omega_2 = 14{:}4$
penn. NEB 20h16 $\omega_1 = 203{:}0$
metà 2ª nube 20h34 $\omega_2 = 28{:}9$
fine SSTB " $\omega_2 = 28{:}9$
1ª cond. NEB_n 20h50 $\omega_2 = 38{:}5$
2° " " ? $\omega_2 =$ (calc)
Sat. II inizio ombra Sat. I: 21h10 (efem. 21h09)
(efem. 20h27) 20h25
• 3ª nube 21h16 $\omega_2 = 54{:}3$
4ª " 21h. $\omega_2 =$
• 5° " 21h40 $\omega_2 = 68{:}8$
metà sella STB 21h45 $\omega_2 = 71{:}8$
fine " " 22h08 $\omega_2 = 85{:}7$
penn. NEB 22h08 $\omega_1 = 271{:}3$
6'
7'
•8' nube 22h40 $\omega_2 = 105{:}0$
•9° " 23h07 $\omega_2 = 121{:}3$



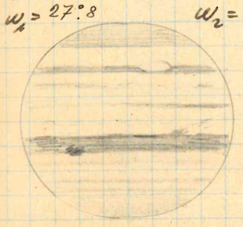
Jmm. 3 diafr. 20 utile



Uscita Sat. I 22h40 (ef. 22h43)
M3 nel rifr. imm. legg. migliori con Jmm. 2-3 vento da N. (leggero)
penn. NEB 23h06 $\omega_1 = 306{:}7$
inizio SSTB 23h23 $\omega_2 = 130{:}9$
10ª nube 23h40 $\omega_2 = 141{:}1$
Uscita ombra: 23h25 (efem. 23h29)
$\omega_2 = 175°$ (calc.)

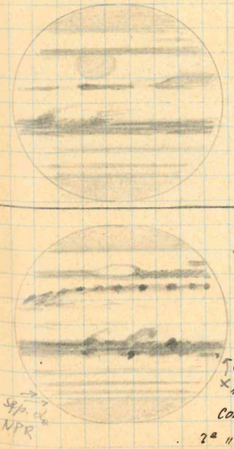


3.5.58. 21h00 . Jm. 3.4 velato 245x.
$\omega_1 = 27°.8$ $\omega_2 = 195{:}0$



Transiti:
Cond. NEB_n 20h30 ~ $\omega_2 = 176.9$
metà sella STB 21h25 ~ $\omega_2 = 210{:}1$

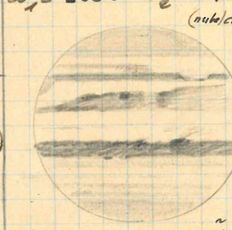
6.5.58 22h12 . Jm. 3.4 legg. nuv. 245x ϕ25 - Foto -
$\omega_1 =$ $\omega_2 = 329{:}5$ (Trans. e. reg. M.R.)



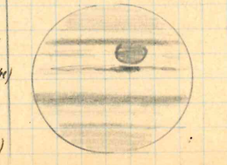
Grande cond. NEB_n (calc.) 180° ω_2 (?)
Transiti 7.5.58:
3ª cond. STrD 22h20 $\omega_2 = 124°.6$ (9° nube)
inizio SSTB 22h21 $\omega_2 = 125{:}2$
metà 9°-10° nube STrD 22h33 quindi
4° cond. (10° nube) = 22h46 (calc.) $\omega_2 = 140.3$

7.5.58 20h50 Jm 3 (2) 245x
$\omega_1 = 293{:}6$ $\omega_2 = 70°.4$
Trans. metà sella STB 20h48 $\omega_2 = 69°.2$
cond. NEB_n 21h12 $\omega_2 = 83{:}6$
fine sella STB 21h15 $\omega_2 = 85{:}4$
1° cond. STrD. 21h16 $\omega_2 = 86{:}0$ (2° nube)
1° penn. NEB_s (grafico) $\omega_1 = 275{:}7$
Cond. NEB_s 21h51 $\omega_1 = 330{:}8$
2ª " STrD 21h52 $\omega_2 = 107{:}7$ (8° nube)

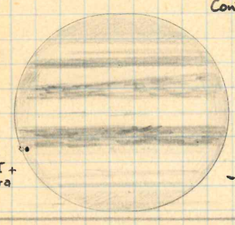
9.5.58. 21h00 Jm. 3.4 (5 o tratti) 245x
$\omega_1 = 255{:}6$ $\omega_2 = 17{:}1$. Transiti:
(nube) cond. SEB_s 20h55 $\omega_2 = 14°.1$
fine SSTB 21h05 $\omega_2 = 20{:}1$
inizio interruz. STrD:
21h02 $\omega_2 = 18{:}3$
(piccola penn. NEB_s 21h05 $\omega_1 = 258.6$)
fine interruz. STrD.
21h18 $\omega_2 = 27{:}9$ $\omega_2 = 286{:}6$
penn. NEB: (non oss. dir.)
~ 21h50 $\omega_1 = 286{:}1$
inizio SEB.D. (graf.) $\omega_1 = 205$ (?) $\omega_2 = 327{:}0$ (?)



11.5.58. 20h42. Jm. 3-4 :
Trans. e. prec.
M.R. $\omega_2 = 306{:}9$
$\omega_1 = 200{:}6$

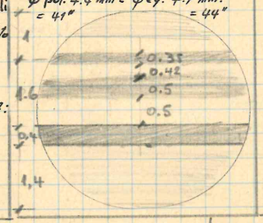


22.4.58. 22h00 . Jm. 2-3 molto velato, nuvoloso, vento. Contrasti deboli
$\omega_1 = 126{:}3$ $\omega_2 = 17{:}1$

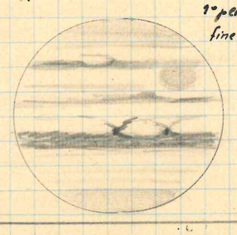


Fine transito sat. I: 22h01
Fine ombra: ~ 22h07
- Foto -

Misure dalle foto 22.4.58 valori in mm. presi dal negat.
ϕ pol. 4.4 mm ~ ϕ eq. 4.7 mm.
= 41' = 44'

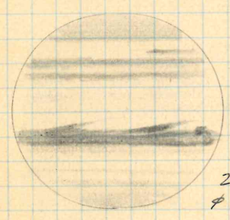


24.4.58 20h47. Jm. 3.4 . Tel. 25a. 245x
$\omega_1 = 37°.8$ $\omega_2 = 273°.8$. Transito:
1° penn NEB $\omega_1 = 37.8$
fine sella STB 20h46 $\omega_2 = 273{:}2$

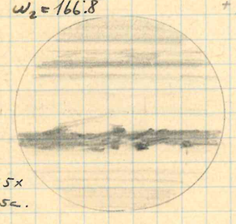


- Foto -

30.4.58. 21h20 Jm. 6 limp., 22h44 Jm. 4-5
$\omega_1 = 286{:}0$ $\omega_2 = 116{:}0$ $\omega_1 = 337{:}2$ $\omega_2 = 166.8$ (trans. cond. NEB_s + NEB_n)



245x
ϕ 25a.

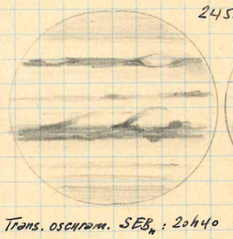


Transito inizio SSTB = radice penn.
NEB_s : 21h50 $\omega_1 = 304{:}3$ $\omega_2 = 134.1$
Trans. condens. NEB_n 22h58 $\omega_2 = 175.2$

1.5.58. 20h40. Jm. 3-4
$\omega_1 = 59{:}6$ $\omega_2 = 242{:}1$

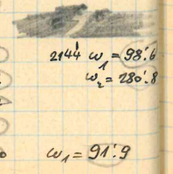
21h44 Jm. 2-3
$\omega_1 = 98{:}6$ $\omega_2 = 280{:}8$

245x



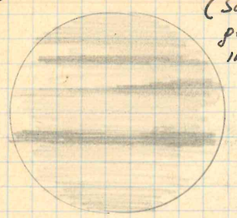
Deff. NEB

Trans. oscurm. SEB_n : 20h40 $\omega_2 = 242.1$
radice penn. NEB_s : 20h57 $\omega_1 = 70°$
inizio sella STB : 20h59 $\omega_2 = 253{:}6$
metà sella STB : 21h15 $\omega_2 = 263{:}2$
condens. NEB_n : 21h17 $\omega_2 = 264.4$
fine sella STB 21h32 $\omega_2 = 273.4$
inizio SEB_n intensa: 21h33 $\omega_2 = 274{:}0$

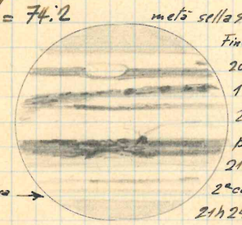


2144 $\omega_1 = 98{:}6$ $\omega_2 = 280{:}8$
$\omega_1 = 91{:}9$

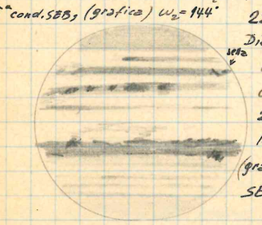
15.5.58. 22h30 Jm. 7.8 !
$\omega_1 = 178{:}3$ $\omega_2 = 253{:}4$
(Schiarita generale improvvisa)
SEB metà sg. rimessa



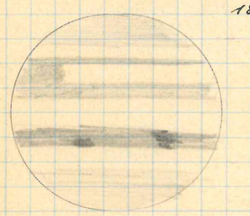
19.5.58. 20h50 - Jm. 3-2 . 245×
$\omega_1 = 29{:}1$
$\omega_2 = 74{:}2$
Transiti:
metà sella STB 20h32 $\omega_2 = 63{:}4$
Fine sella STB ("L") 20h53 $\omega_2 = 76{:}0$
1° cond. SEB$_s$ 20h54 $\omega_2 = 76{:}6$
penn. N.E.B. 21h09 $\omega_1 = 40{:}7$
2° cond. SEB$_s$ 21h24 $\omega_2 = 94{:}7$
3° cond. SEB$_s$ 21h54 $\omega_2 = 112{:}8$
inizio SSTB 22h00 $\omega_2 =$ [illegible] $116{:}3$
inizio 4° cond. SEB$_s$ 22h10 $\omega_2 = 122{:}3$
metà " " " 22h19 $\omega_2 = 127{:}7$
5° cond. SEB$_s$ (grafica) $\omega_2 = 144°$



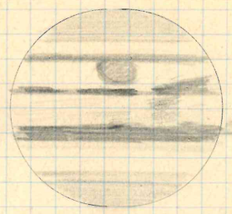
22h30 Jm. 3.4
Diafr. 20 cm 245×
$\omega_1 = 90{:}1$
$\omega_2 = 134{.}4$
23h00 : coperto !
long. cond. NEB$_n$ (grafica) $\omega_2 = 184°$
SEB$_n$ debole



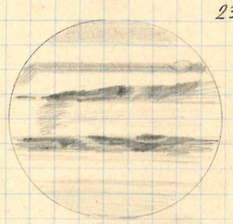
28.5.58. 21h00. Jmm. 6
$\omega_1 = 16{:}4$ $\omega_2 = 352{:}8$
183× D = 20 cm.



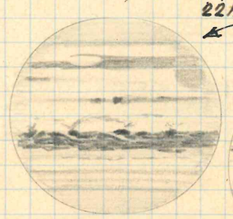
18.5.58. 21h45 . Jmm. 4.5 (2a interv. vento → 6-7.')
$\omega_1 = 264{:}6$ $\omega_2 = 317{:}1$
Transito:
metà M.R. 21h46 $\omega_2 = 317{:}7$
(asse S.W. → N.Est) ancora molto intensa !
C. sg. M.R. 22h04 $\omega_2 = 328{:}5$
inizio interruz. SEB$_n$ 22h06 $\omega_1 = 277{:}4$ $\omega_2 = 329{:}7$
fine " " 22h28 $\omega_1 = 290{:}8$ $\omega_2 = 343{.}0$
S.Tr.2. brillante



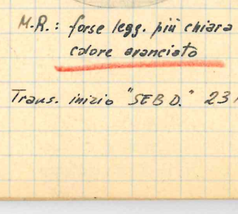
23h10 . Jm. 4 . Diaf. 20 cm . 245×
$\omega_1 = 316{.}4$ $\omega_2 = 8{:}4$
Trans.:
Cond. SEB 23h15 $\omega_2 = 11{:}4$
metà interruz. SEB 23h34 $\omega_2 = 22{:}9$ $\omega_1 = 331°$
NEB: struttura irregolare chiaro-scuri sul.



20.5.58. 20h25 . Jm. 3 245×. Transiti:
$\omega_1 = 171{:}8$ $\omega_2 = 209{.}4$
2° penn. NEB$_s$ 20h24 $\omega_1 = 171{:}2$
fine sella STB 20h26.5 $\omega_2 = 210{:}3$ H
2° cond. SEB$_s$ 20h37 $\omega_2 = 216{:}6$
NNTB+NNNTB leggg. più deboli di ieri
STB non visibile.
3° penn. NEB$_s$ 21h17 $\omega_1 = 203{:}5$ "I"
metà sella STB 21h25 $\omega_2 = 245{:}6$ (difficilm. vis.)
v. dis. N°2 :
cond. SEB$_n$ 22h00 $\omega_1 = 229{:}7$ $\omega_2 = 266{:}3$
4° penn. NEB$_s$ 22h02 $\omega_1 = 230{.}9$
v. dis. N°3 :
fine zona chiara NEB 23h12 $\omega_1 = 273{.}6$
centro M.R. 23h19 $\omega_2 = 314°$ e.sg. 23° $\omega_2 = 326{.}8$
cond. SEB$_n$ 23h21 $\omega_1 = 279{.}1$
22h00 $\omega_1 = 229{.}7$ $\omega_2 = 266{:}3$ Jm. 4 D. 20

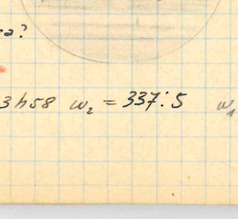


metà sella STB (graf.) $\omega_2 = 198°$
1° penn NEB (") $\omega_1 = 147°$
cond. NEB$_n$ (") $\omega_2 = 187°$
cond. SEB$_s$ (") $\omega_2 = 194°$
cond. bordo SPR (v) $\omega_2 = 197°$



M.R.: forse leggg. più chiara ?
colore arancione

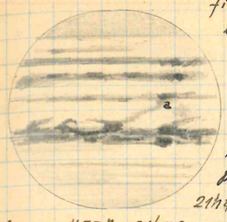
23h20. J. 2-3
$\omega_1 = 278{:}5$
$\omega_2 = 314{:}6$



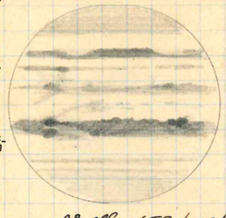
penn. NEB$_s$ (graf.) $\omega_1 = 314°$

Trans. inizio "SEB D." 23h58 $\omega_2 = 337{:}5$ $\omega_1 = 301{.}7$

29.5.58. 21h02 J. 4. 183× D·20
$\omega_1 = 175{:}5$ $\omega_2 = 144°{.}3$
+ 245× D·24
filtro giallo : nubi
Trans. grande
cond./penn. NEB$_s$
21h02 $\omega_1 = 175{:}5$
NTB invis. metà sg. Zona a N di NNTB velata a metà
prec. Trans. a):
21h43 $\omega_1 = 200{:}5$
Condens. NEB$_s$": 21h48 $\omega_1 = 203{:}5$ $\omega_2 = 172{:}1$
" SEB$_s$ 21h55 $\omega_2 = 176{:}3$
Fine SSTB ~ 21h18 $\omega_2 = 153{:}9$
Sella STB ~ 22h15 $\omega_2 = 188{:}4$ (mo. diffic.) "H"
SEB$_s$ dopo cond. (ω_2 176:3) più debole

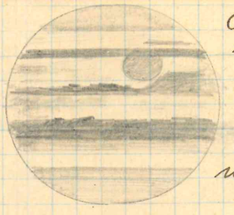


22h40 . Jm. 4-5 velato
$\omega_1 = 235{:}3$ $\omega_2 = 203{:}6$



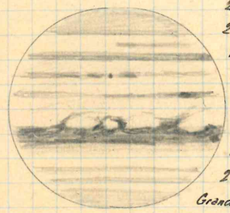
2° sella STB (graf.)
$\omega_2 = 241° \pm 5°$
/234/ "I"

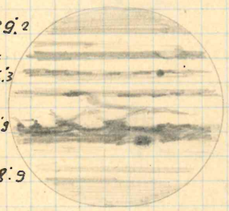
30.5.58. 21h00 . Jmm. 5-6
$\omega_1 = 332°{.}2$. $\omega_2 = 293{:}4$. 245×
D = 20 filtro giallo
Centro M.R. = inizio SSTB
21h28 $\omega_2 = 310{.}3$
Trans. (?)
Centro M.R. non sic. !



Le imm. restano costantemente da mediocri a cattive tutta la sera - Os. sospese alle 23h00 : SEB intensa, larga, non sdopp. senza condensazioni.

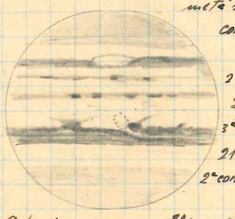
31.5.58. 21h30. J. 2 245× fil. gia.
$\omega_1 = 148{.}3$ $\omega_2 = 101{.}7$
Transiti :
2° penn. NEB$_s$
21h15 $\omega_1 = 139{.}2$
macchietta SEB$_s$
21h21 $\omega_2 = 96{.}3$
inizio SSTB
21h27 $\omega_2 = 99{.}3$
3° penn. NEB$_s$
21h31 $\omega_1 = 148{:}9$
Grande penn. NEB$_s$
(metà) 22h05 $\omega_1 = 169{.}6$. Grande cond. NEB$_n$:
2° grande penn. NEB$_s$ (metà) 22h59 $\omega_1 = 202{:}6$ 23h25 $\omega_2 = 171{.}2$
Cond. SEB$_n$ (stimato) 22h20 ~ $\omega_1 = 178{:}7$ Cond. SEB$_s$ 23h35 $\omega_2 = 177{.}2$
1° penn. NEB (grafico) $\omega_1 = 70° \sim \pm 3°$



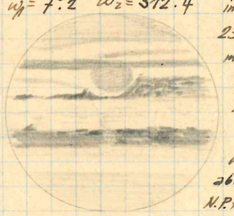


23h00. Jmm. 2-3
$\omega_1 = 203{:}2$ $\omega_2 = 156{:}1$

1.6.58. 21h00 Jmm. 3 245× ϕ 20 cm.
$\omega_1 = 287{:}9$ $\omega_2 = 233{:}9$ Transiti: I
metà sella STB 21h00 $\omega_2 = 233{:}9$
cond. SEB$_s$:
21h04 $\omega_2 = 236{.}3$
2° penn. NEB$_s$ (metà) :
21h36 $\omega_1 = 309{.}9$
3° cond. SEB$_n$
21h35 $\omega_1 = 309{.}3$
2° cond. SEB$_s$ 21h43 $\omega_2 = 259{.}9$

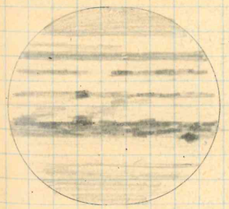


(Colori: NEB caffè . SEB$_n$ gris-bleu STB marrone . NTB+NNTB ecc. non visibili, velo grigio em. N.
23h10 Jm. 3. 245× ϕ 15 . Trans. :
$\omega_1 = 7°{.}2$ $\omega_2 = 312{:}4$
inizio SSTB :
23h05 $\omega_2 = 309{:}4$
metà M.R.
23h11 $\omega_2 = 313{.}0$
Aspetto SEB dopo M.R.: "montonné". STB più sottile . Metà prec. abbassam. verso N della N.P.R. (confine)

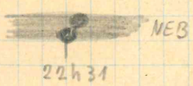


I
Trans. centro nella STB 21h40 ~ $\omega_2 = 229{.}7$
" 2° penn. NEB$_s$ 21h46 $\omega_1 = 341{:}2$
Condens. SEB$_s$ = inizio interruz. SEB$_n$ ~ 22h39 $\omega_1 = 13{:}5$ $\omega_2 = 265{.}4$

5.6.58. 21h20 J. 4
$\omega_1 = 211{:}7$ $\omega_2 = 127{.}0$
rifr. 15 cm. 226× + rifl. 25. 245×

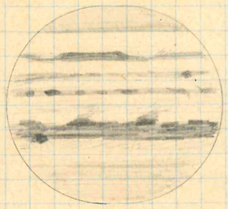


Trans. cond. SEB$_s$ 21h17 $\omega_2 = 125{:}2$
grande cond. NEB$_n$ 22h31 $\omega_2 = 169{.}9$



22h31

8.6.58. 21h20 Jm. 3 245×
+ velato contr. deb.
$\omega_1 = 325{.}3$
$\omega_2 = 217{:}7$



55° dis. 27 '54. 58

14.6.58. 21h00. Imm. 3 245× ϕ 25 velato.
$\omega_1 = 180{:}1$ $\omega_2 = 26{:}9$
SSTB
Trans.:
2° penn. NEB 20h56 $\omega_1 = 177.7$
macch. chiara SEB$_n$ 21h08 $\omega_1 = 185{:}0$ $\omega_2 = 31{:}7$
macch. scure SEB$_n$ 21h09 $\omega_1 = 185{:}6$ $\omega_2 = 32{:}3$
inizio trans. sat. I 21h12 (metà)
(efemeridi 21h13).
NTB quasi invis.: bordo N.Tr.Z.
NNTB visibile
NNNTB meglio vis. di NNTB (sic)
NNNTZ: eccez. chiara
A.B.: come bordo N.P.R.
Immagini a tratti stupende SEB dettagliata.
Centro sella STB 21h24 $\omega_2 = 41{:}4$ "L" = fine "SEB D"
3° penn. NEB$_3$ 21h29 $\omega_1 = 197{:}8$
Oss. sospese alle 21h40: nuvoloso

16.6.58. 21h00 L. 4 245× ϕ 25 nuv. – ϕ 20 + cam. 6¼ 183× (no)
$\omega_1 = 135{:}7$ $\omega_2 = 327{:}3$
chiara
NEB
Transiti:
Centro M.R. 20h42 $\omega_2 = 316{:}5$
e.s. M.R. 21h04 $\omega_2 = 329{:}7$
Aspetto complicato: M.R. con zone più chiare, tinta gen. rosa, dett. interess. SEB prima M.R. e strutture a chiaro-scuri SEB dopo M.R.
Condens. SEB$_n$ 21h11 $\omega_1 = 142.4$ $\omega_2 = 333{:}9$
1° penn. NEB$_3$ 21h27 $\omega_1 = 152{:}2$
Condens. NEB$_n$ 21h31 $\omega_2 = 346{:}0$
condens. SEB$_n$ 21h40 $\omega_1 = 160{:}1$ $\omega_2 = 351{:}4$
fine SSTB 21h40 $\omega_2 = 351{:}4$
NB. Stima colori con 183×: risultato quasi nullo: cielo velato
2° penn. 22h09 $\omega_1 = 177{:}8$
3° penn. 22h48 $\omega_1 = 201{:}6$
metà sella STB: ~ 23h05 $\omega_2 = 42{:}8$ (? "L" ~~grafo fallito~~)
ϕ 20 cm 183× e 245×
} ? Spostam. verso N.?

22h30. Imm. 4
$\omega_1 = 190{:}6$ $\omega_2 = 21{:}7$

25.6.58. 22h15. Imm. 5. 245×
$\omega_1 = 308{:}3$ $\omega_2 = 284{:}3$
Oss. difficili, ma dett. SEB meglio visib. che NEB
e. p. M.R. (grafico) $\omega_2 = 304{:}$

28.6.58. 16h30–17h00: Osservaz. di Mercurio con l'equatoriale Zeiss. 226×; a 52^m dal Sole. Imm. 7.8 – Dischetto ϕ 5",2 agitatissimo.

3.7.58. 21h00. Imm. 6 molto agitato. Schiarite dopo giorni di brutto tempo. Diafr. 18 cm.
$\omega_1 = 298{:}4$ $\omega_2 = 0°{.}2$
NEB molto large ed intensa.
Zona più chiara ~ in M.C. nello E.Z.

21h50 ~
$\omega_1 = 328{:}9$
$\omega_2 = 30{:}4$
Trans. cond. scura tra le 2 zone più chiare: 21h40 ~
SEB$_n$ $\omega_1 = 322{:}8$ $\omega_2 = 24{:}4$

4.7.58. 21h00. Imm. 6 245 ϕ 18 ϕ 20
$\omega_1 = 96{:}2$ $\omega_2 = 150{:}4$
H
Transiti:
metà sella STB 21^{14} $\omega_2 = 158.8$
cond. SEB$_n$ 21^{22} $\omega_1 = 109{:}6$
cond. NEB$_n$ 21^{28} $\omega_2 = 167{:}3$
NEB prima della cond.: nettam. rosso-caffè
dopo: marron più freddo
22h00 L. 7
$\omega_1 = 132{:}8$
$\omega_2 = 186{:}7$
~al M.C. 2155
zona incide E.2.
$\omega_1 = 130°$

6.7.58. 21h00. Imm. 4 ϕ 20 245×
$\omega_1 = 51{:}7$ $\omega_2 = 90{:}7$
S.P.R. più scure che le N.P.R.
Bande a N della NEB: confuse, zona grigia diffusa

8.7.56. 16h00. Mercurio a 1h27 da eq. Zeiss ϕ 150 ~. 226× Imm. 2-3
"Remous" che spostano tutto il dischetto, ma senza onde piccole.
ϕ 6" fase 0.74
Ocul. 6 mm = 376×
imm. ancora buone, contrasti deb.
vaglio "grisâtre"

17.6.58. 21h45 Imm. 4 legg. vel. ϕ 20 245×
$\omega_1 = 302{:}7$ $\omega_2 = 126{:}5$
Transito fine 1ª band. SEB$_s$: 21h15 $\omega_2 = 126{:}5$ $\omega_1 = 302{:}7$
Fine SEB$_n$ scura (v. dis. sotto) stimato alle 23h20 $\omega_1 = 18{:}9$ $\omega_2 = 202{:}1$
} bande confuse velo grigio

Imm. 4-5 22h20 $\omega_1 = 342{:}3$ $\omega_2 = 165{:}8$
id. confus.
Transiti:
cond. NEB$_3$ 22h17 $\omega_1 = 340{:}5$
cond. NEB$_n$ 22h23 $\omega_2 = 167{:}6$
metà sella STB 22h30 $\omega_2 = 171{:}8$ H

18.6.58. 21h00. L. 3-4 ϕ 20 245×. Transito:
$\omega_1 = 91{:}4$ $\omega_2 = 267{:}7$
2ª colonna SEB 20h53 $\omega_2 = 87{:}1$ $\omega_2 = 263{:}3$
cond. SEB$_n$ 21h27 $\omega_1 = 107{:}9$ $\omega_2 = 284{:}0$
pre-penn. NEB$_3$ 21h41 $\omega_1 = 116{:}4$

22h15. L. 4-5
$\omega_1 = 137{:}1$ $\omega_2 = 313{:}0$
Centro M.R.: 22h18 $\omega_2 = 314{:}8$ (non sicura)
M.R. debole
Sat. III

long. graf. (cond. SEB$_n$ $\omega_1 = 46°$ $\omega_2 = 222°$
Oss. sospese alle 23h00: imm. peggiori

Trans. centro M.R.: 21h30 $\omega_2 = 316{:}8$
e. s. M.R.: 21h50 $\omega_2 = 328{:}9$
penn. NEB$_3$ 22h05 $\omega_1 = 200{:}1$
SEB dopo M.R.: struttura fine a nubi chiare e scure (cielo a pecorelle)

23.6.58 21h00. L. 4. ϕ 25 245× velato
$\omega_1 = 160{:}5$ $\omega_2 = 298{:}7$
Trans. e. prec. M.R. 21h10 $\omega_2 = 304{:}7$
Dettagli a chiaro-scuri interessanti SEB prima di M.R.
M.R. e. p. chiara – sfumata verso la fine color grigio rosso.

25.6.58 21h15. Imm. 4-5 245×
$\omega_1 = 271{:}7$ $\omega_2 = 248{:}0$. Transito
3ª colonna SEB 21^{08} $\omega_1 = 267{,}$ $\omega_2 = 243{:}8$
metà cond. scurissima SEB 21h26 $\omega_1 = 277{:}2$ $\omega_2 = 253{:}4$
Colori:
condens. SEB bluastro
NEB marron-rosso

8.7.58. 20h30. Imm. 3 245× ϕ 20
$\omega_1 = 349°{.}0$ $\omega_2 = 12°{.}9$
(Trans. penn. NEB)
Bande a N.: confuse
cond. SEB$_n$ v. 3.7 20^{54} $\omega_1 = 3°{.}6$ $\omega_2 = 27°{.}4$
penn. SEB$_s$ 21^{00} $\omega_2 = 31{.}0$
centro sella STB 20^{57} $\omega_2 = 29{:}2$ L

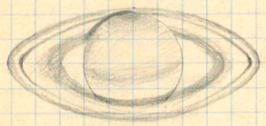
Oss. alle 22h20: aspetto ~ come il 6.7.58 (21h00). $\omega_1 = 56{:}1$ $\omega_2 = 79{:}4$

12.7.58. 20h40 L. 3 ϕ 25 245×
$\omega_1 = 266°{.}0$ $\omega_2 = 259{:}4$
Transiti: cond. SEB$_n$ "a" 21^{07} $\omega_1 = 282{:}5$ $\omega_2 = 275{:}7$
penn. NEB$_3$ 21^{13} $\omega_1 = 286{:}2$ (6)
metà dett. chiaro SEB$_n$ 21h20 $\omega_1 = 290{:}4$ $\omega_2 = 283{:}6$
Grafico: inizio "SEB disturb." $\omega_1 = 320°$ $\omega_2 = 215°$
Spostam. 241°
← sat. II

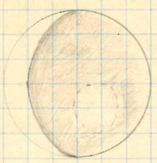
22h00. L. 4 ϕ 20 245× (7 molto basso)
$\omega_1 = 314{:}8$ $\omega_2 = 307{.}8$
Trans. metà M.R. 22^{06} $\omega_2 = 311{:}4$
(difficilissima, l'agg. più scura verso l'e. seg., confusa, velata)

dis. B.A.A. continuo 21h40

12.7.58. 22h00 Imm. 3
245x . Div. Cassini facile
" Encke non vis.
Dn. A più chiaro all'interno

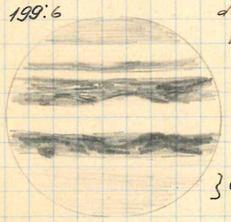


Venere 13.7.58 6h00-7h00 . Dist. ☉ : ~215°. Rifr. 15 cm
226x Imm. 2 (bordi netti)
veli molto vaghi sul disco, zona leggermente più luminosa. Terminatore sfumato. Filtri rosso e giallo non utili.



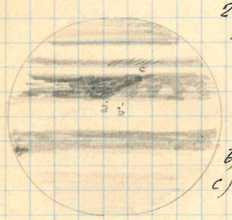
φ 12."3 fase 0.84

14.7.58 20h40 . L. 5. 245x φ25
$\omega_1 = 221°.5$
$\omega_2 = 199°.6$
Fascia STB (I) molto debole ($\omega_2 = 193°$)
Long. grafica cond. NEB_n :
$\Delta\omega = -4°$
$\omega_1 = 179°$ (?)



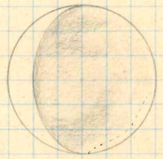
} velata

21h30. L. 4 245x
$\omega_1 = 252°.0$
$\omega_2 = 229°.8$
Trans. a)
21^{25} $\omega_1 = 249°.0$
$\omega_2 = 226°.8$
b) 21^{35} $\omega_2 = 232°.8$
c) 21^{45} $\omega_2 = 238°.8$



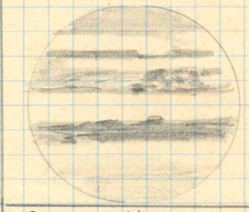
Venere 15.7.58 . 5h30 Rifr. Zeiss 15 cm.
226x Imm. 3-4

Le ombre hanno contrasti debolissimi



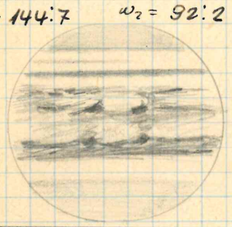
φ 12."2 fase 0.85

15.7.58. 21h10 L. 4.5 245x φ25 velato. bruma
$\omega_1 = 37°.6$ $\omega_2 = 7°.8$ (Trans. inizio SEB_s scura)



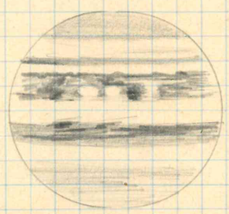
Fascia STB (grafica) $\omega_2 = 19°$ L
Trans. fine SEB Dist":
.ca $\pm 5^m$ 22^{10} $\omega_2 = 44°.1$
$\omega_1 = 74°.2$

18.7.58. 21h00. L. 3.
$\omega_1 = 144°.7$ $\omega_2 = 92°.2$



Trans. metà zona chiara SEB
21^{08} $\omega_1 = 149°.6$
$\omega_2 = 97°.0$
Trans. metà 2 onde NEB
21^{04} $\omega_1 = 147°.1$
Schizzo rapido non curato!

19.7.58. 21h10 L. 4.
$\omega_1 = 308°.5$ $\omega_2 = 248°.3$



. Trans. condens. SEB_n :
21^{16} $\omega_1 = 312°.2$ $\omega_2 = 251°.9$
altre zone chiare SEB
21^{31} $\omega_1 = 321°.3$ $\omega_2 = 260°.9$

Cielo sereno, calmo, bruma.
Gf alle 22h00 : troppo basso.

27.7.58 21h00 . L. 5-6 245x
$\omega_1 = 124°.3$ $\omega_2 = 3°.1$



M.R. scompare al bordo prec.; pennacchio SEB_n nella E-2. (grigia)
Trans. condens. SEB_n 21^{12} $\omega_1 = 131°.6$
$\omega_2 = 10°.3$
Fascia STB quasi invisibile

31.7.58. 20h30. L. 4 velato rust
$\omega_1 = 16°.9$ $\omega_2 = 225°.3$



STZ stretta
SEB complessa, completa

Riassunto presentazione 1957-1958 di ♃ . Telese. 25 cm. Oss. visuali.

1ª oss.: 22 nov. 1957 } 8 mesi 8 d. 80 disegni
ultima: 31 luglio 1958 }

{ media gener. imm. n/ : 3.95
" " " Fl./ : 5.42
~~mattina~~ : ~~sera~~ :

dis. con imm. 1 (Fl. 9) 0 disegni
2 (. 8) 11 "
3 (. 6) 20 "
4 (. 5) 27 "
5 (. 4) 10 "
6 (. 3) 8 "
7 (. 2) 3 "
8 (. 1) 1 "

Oss. a piena apertura (250 mm.) : N° 50
" diafr. 20 cm. : N° 24
" " 18 " : N° 6
} media delle aperture : 23 cm.

Ingrandim. 245x ortosc. : N° 60
203x " : N° 9
183x Ramsden : N° 11
} media ingrandimenti : 232x

Totale transiti .ca 230

x x x x x

Fotografie con rifrattore Zeiss φ150 mm. + camera Leitz

a) con oculare H/25 mm. + ottica cam. integrale. focale ris. = 23 m. f/D = 154. Film 23°DIN posa 10^s
Film: Kodak Verichrome e Tri X - Ilford HP3. Totale lastre: N° 4 (N° 47 fotogrammi)

b) con oculare R/10 mm + ottica cam. integrale. focale ris. = 57,5 m. f/D = 383. Film 23°DIN posa 25^s (oltre)
Film Kodak Tri X e Ilford HP3. Totale lastre: N° 3 (N° 28 fotogrammi)

c) con oculare O/9 mm + ottica cam. integrale. focale ris. = 71 m. f/D = 473. Film 23°DIN posa 30^s (oltre)
Film Kodak Tri X e Ilford HP3. Totale lastre: N° 3 (N° 31 fotogrammi)

d) con oculare H/25 mm. + ottica cam. parziale. focale ris. = 32 m f/D = 213 Film 23°DIN posa 12^s
Film Ilford HP3 (posa eff. cielo vel.: 20^s) Totale lastre: N° 1 (N° 6 fotogrammi)

Totale lastre: N° 11 (N° 112 fotogrammi)

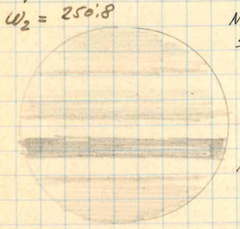
Risultato : mediocre in generale. Aumentando la focale risultante si diminuiscono i contrasti. (Film molto sensibili: contrasti mediocri!)

Conclusione : Adottare foc. ris. $_{max}$ = 10-15 m. (φ ♃ sulla lastra: 2-3 mm.)
Film 17°DIN (o meno) a grana fine. Pose: 2^s-6^s. Eventualmente ingrandire i negativi per fare le misure (latit. bande) e per avere dei positivi decenti. (da 4 a 6 volte)

1959 ore T.M.E.C.

7.II.59 5h00 rifl. 25 203x diafr. 18 J.6 — rifr. 15 226x J.6

ω_1 = 54:8
ω_2 = 250:8



NEB intensa
SEB scura a N, sfumata a S colore bruno-giallo.
EZ stretta
NNTB più vis. che STB

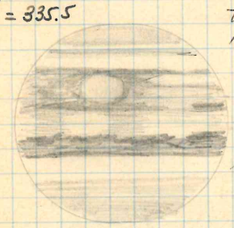
6h15 rifl. J.4 — rifr. J.3

ω_1 = 100:5
ω_2 = 296:1



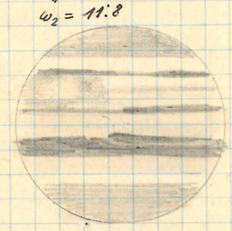
NEB di struttura abbastanza regolare
STZ chiara. SSTB visibile, regolare
M.R. (baia) molto chiara
E.Z. velata e stretta
NNTB come banda NPR
Transito centro M.R.: 7h02 (±5m)
ω_2 = 324:5 (321÷327:)
c. seg. 7h20 ω_2 = 335:3

10.II.59 4h50 . rifl. 25 c. diafr. 18 J.2÷6 . 203x — a tratti molto brumoso
ω_1 = 162:3
ω_2 = 335.5



Transito centro M.R. 4h34
ω_2 = 325:8
Macchia ovale più chiara nella E.Z. un po' prima M.R.

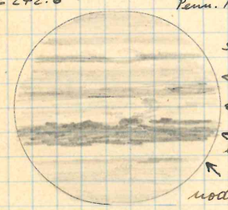
5h50 rifr. 15 c. 226x J.2.3
ω_1 = 198:9
ω_2 = 11:8



Transiti:
onda NEB$_S$ 5h45 ω_1 = 195:9
inizio SEB$_S$ senza: 5h50 ω_1 = 198:9

SEB ben divisa; comp. s. sottile; N scura
NEB a strutture piuttosto regolare, bordi non molto frastagliati.
Esclusa la STZ il pianeta ha un aspetto calmo e regolare (NNTB. STB ecc.

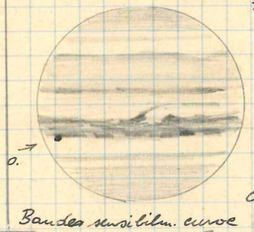
25.IV. 1h05 rifl. 25 203x J.3 (1)
ω_1 = 200:5 → transito centro della STB. Penn. NEB 1° ω_1 = 203:5
ω_2 = 242:6



STZ più chiara zona del pian.
← color marrone
← E.Z. velata color nocciola
← NEB molto larga e intens.
← qualche modo scuro

Qualche condens. nella SEB$_N$ esterna seg.

11.V.59 23h00 rifl. 25/20 cm. 183x/203x J.3-4 ; rifr. 15 cm 226x/252x J.4



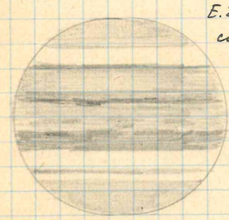
ω_1 = 284:9
ω_2 = 161:7

Transito 1° penn. NEB$_S$ 22h59 ω_1 = 284:3
2° " " 23h24 ω_1 = 299.5
metà della STB 23h55 ω_2 = 194:9 (?)
fine tronco scuro SEB$_N$ 24h04 ω_1 = 323.9 (3°)

STZ chiara
STB non sp. da SEB "velo"
SEB$_N$ visibile, regolare esterna prec.
E.Z. color nocciola
NEB larga, importante
NTZ larga, chiara (meno della STZ)
NTB visibile, id. NTZ ; NNTB visibile come limite più scura NPR

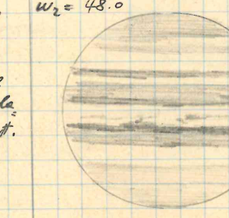
Banda sensibilm. curva
24.15 ω_1 = 330:6

19.V.59. 22h00 rifl. 25 183x J.6(5)
ω_1 = 72:6
ω_2 = 248:7



caratteristica:
E.Z. molto scura, come zona tra SEB$_N$ e STB
STZ/NTZ chiare
qualche irregolarità nella struttura.
NEB$_S$/EZ/SEB$_N$

27.V.59 23h00 rifr. 15 c. 226x J.5 / Rifl. 25 c. 183x J.2.3 (!)
ω_1 = 293:3
ω_2 = 48:0

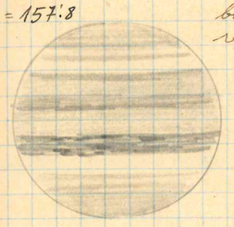


SSTB visibile, SSTZ parzialm. chiara
STZ chiara
SEB non separata, ma SEB$_N$ scura
NEB$_S$ scura, irregolare, bruno scuro
NEB$_N$ più chiara, nocciola, con irregolar.
NTZ larga, chiara
NTB non separata da zone grigie a N fino alla NPR

Misure turbolenza, combinate al rifr. 15 cm. ed al rifl. 25/18 cm angolo ridotto: media (3 misure)

		t_o = 1"½ = Fl 2-3	n/	Fl	t 1",3 = Fl 4	t = 2" = Fl 2-3
27.V.59	22h30 TMEC:	t_o = 0",464	(= imm 3-4 allo zenit)	= 6		
	23h30 " "	= 0",420	(= " 3 " ")	6-7		
2.VI.59	21÷22 "	t_o = 0",720	(= imm. 4-5 " ")	5 misure al rifl. ϕ 6-8-10-18 cm. (media)		
3.VI	21h30 "	t_o = 0.375"	(= imm 2 " ")	8		
	22h30 "	" = 0.50"	(" 3-4 " ")	6 misure al rifl. ϕ 18 e rifr. ϕ 15		
	23h30 "	" = 0.370"	(" 2-3 " ")	7		
15.VI	22h00 "	t_o = 0.360"	(" 2-3 " ")	7 misure al rifl. ϕ 25 e ϕ 18		
22.VI	21-22 "	" = 1",500	(" 7 " ")	2 stime 7		
4.VIII	21.30-22.30 "	= 0",380	(" 2-3 " ")	7 misure al rifl. ϕ 25 18 e 10 cm.		
5.VII	21 "	= 0",720	(" 4-5 " ")	5 stime 7	13.VII 21h00 t_o = 0"900 stime 7	
7.VII	21 "	= 0",300	(" 2 " ")	8 " "		

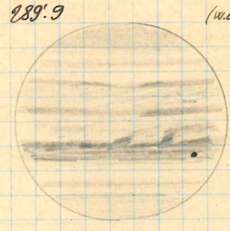
2.VI.59 22h00 rifl. ϕ25 diafr. 18 imm. 5-6
ω_1 = 124:7
ω_2 = 157:8



Nessun dettaglio, bande piuttosto regolari, solo nelle NEB si notano delle condensazioni.

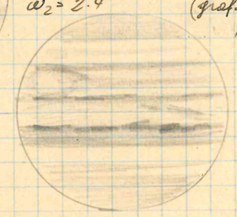
183x

3.VI.59 21h30 rifl. ϕ25 183x J. 3 . Transiti:
ω_1 = 264:4
ω_2 = 289:9



1° pen. NEB 21h33 ω_1 = 266.2
(w.o.s.) stella STB (doppio) 21h35 ω_2 = 292.9
2° pen. NEB 22h08 ω_1 = 287:6

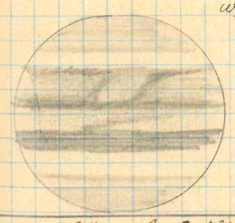
23h30 J..2.3.
ω_1 = 337.6
ω_2 = 2:4



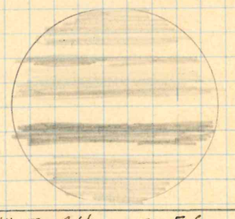
Long. centro M.R. (grafico) ω_2 = 315 ± 5
M.R. debolm. contrastata esta. seg. sup. più scura. centro "ocra".

Venere 18/19.6.59 16h00-17h00 J. 2.3 rifr. 15 c. 226x
Filtri: giallo, arancio, rosso chiaro, rosso scuro, blu-viola.
Nessun miglioram. con filtri: vaghe ombre inafferrabili sul disco, terminatore sfumato.

15.VI. 22h15 J. 4 rifl. 25 c. 183x (Imm. 5 rifr. 15)
ω_1 = 27:4 ω_2 = 321:2
Trans. centro M.R.:
22h30 ω_2 = 324:2
M.R. molto difficile da scorgere col rifr. 15 (188x), meglio vis. al rifl. 25 (183x)

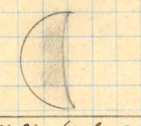


22.VI. 21-22



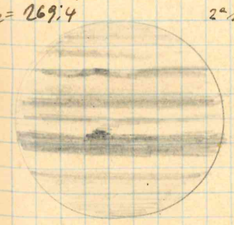
Jun. 7-8 ! 183x rifl. nuvoloso. visibili le bande senza dett.

Venere 4.VII 16h00 J.2.3 rifr. 15 c. 226x



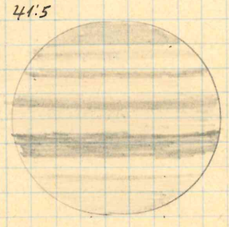
4.VII.59 21h30 J. 3 rifl. 25 183x Transiti:
ω_1 = 120:4
ω_2 = 269:4

Cond. NEB$_S$ 21h25 ω_1 = 117:4
2ª stella STB 21h30 ω_2 = 269:4 I



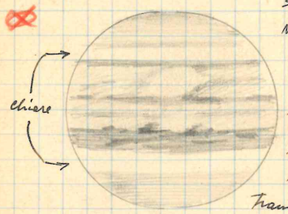
EB vis. a tratti

5.VII 59 21h00 J. 5-6 rifl. 25 183x (calmo - bruma, 22°C)
ω_1 = 260:0
ω_2 = 41:5

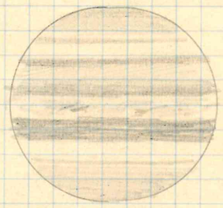


SSTB vis., larga, "flou" a nord della NTB solo vaghe zone grigie (NPR)

7.VII.59 20h30 ♃ 2 rifl. 25 183x
ω_1 = 197.4
ω_2 = 323.9 (centro M.R.) Colori:

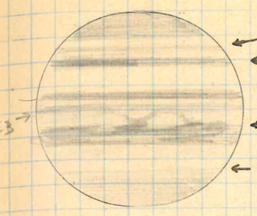


13.VII 21h00 ♃. 6 rifl. 25 183x
ω_1 = 82.9
ω_2 = 163.4

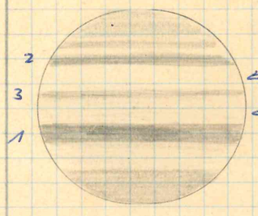


Colori
STB tono freddo (grig. blastro)
E.Z. NEB SEB
come in precedenza

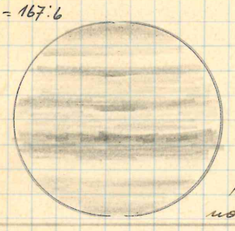
13.VII.1960 23h14 (Trans. pen. NEB$_S$)
Imm. 2-3 rifl 25/18 183x
ω_1 = 325.2
ω_2 = 132.4



21.VII 22h20 Imm. 6.7 caldo
rifl. 25/18 183x
ω_1 = 115.9
ω_2 = 222.4

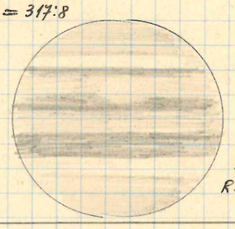


6.VIII.59 21h00 ♃. 3 rifl. 25 183 - bruniccio
ω_1 = 270.2
ω_2 = 167.6



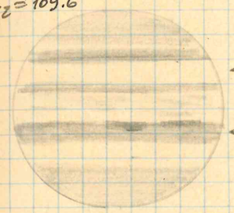
Nessuna particolarità notevole
aspetto normale e come in precedenza osservato.
SSTB tracce "precedenti"
NTB tracce "following"
non sporete da NPR

7.VIII.59 21h00 ♃. 3-4 rifl. 25 183x molto bruniccio
ω_1 = 68.0
ω_2 = 317.8

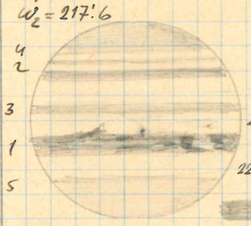


R.S.H. non ancora in M.C., difficilissima da scoprire; in sua corrispond. la SEB$_n$ ha un scollamento EZ velata, stretta.
NEB-EZ-SEB colori caldi
STB colore più freddo.
R.S.H. $\omega_{stimato}$ = 322°

25.VII 22h30 Imm. 5-6 rifl. 15 150x
ω_1 = 33.7
ω_2 = 109.6



26.VII. 21h20 Imm. 3-4 rifl. 25 183x
ω_1 = 148.9
ω_2 = 217.6

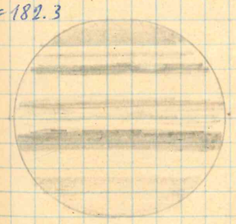


Riassunto presentazione 1959 ♃ Telesc. 25 cm. oss. visuali

1a oss. 7.II.59 } 6 mesi ∑ 19 disegni. Media immagini { n/ 4.1
ultima 7.VIII.59 } { Flamm. 5.0

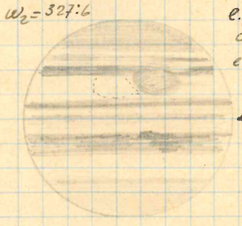
Diafr. usati: ϕ 18 - 20 media 22 cm. Ingr. 183x 203x

28.VII 22h00 Imm. 5-6 rifl. 25 183x
ω_1 = 129.2
ω_2 = 182.3



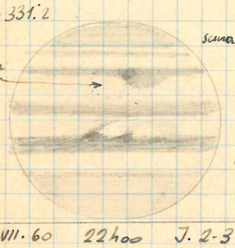
Solito aspetto, bande senza dett. Opposizione normale nelle STB (longitud. grafica centro: $\omega_2 \cong 203°$)

3.VIII. 21h00 Imm. 4-5 rifl. 25/18 183x
Transito
ω_1 = 319.9
ω_2 = 327.6
c.p. M.R. 21h15m ω_2 = 336.6
cent. NR 21h34 ω_2 = 348.1
e.o. " —— ω_2 = ——

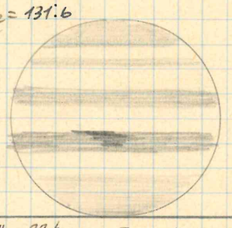


prime della M.R.: ST$_2$ chiarim.
← EB vis. sfumata

14.IV.1960 4h50 THEC ♃ 4-5
ω_1 = 191.3 rifl. 15. 150x 250x
ω_2 = 331.2
M.R.!
Transito centro macchia scura ST$_2$: 5^{10} ω_2 = 343.3
Stimati:
1° pen. NEB 4^{40} ω_1 = 185.2
2° " " 5^{05} ω_1 = 200.4
Centro macchia chiara ST$_2$ (R.S.H.?)
ω_2 = 331.2

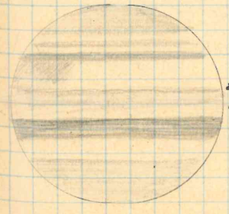


14.V.60 4h00 ♃ 6 Torbia
ω_1 = 220.4
ω_2 = 131.6
rifl. 15 150x 250x



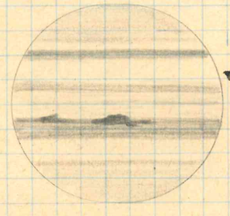
Bande regolari
1 NEB (più scura al MC)
2 SEB marcata
3 STB

16.VIII. 22h30 Imm. 5 rifl. 15 150x
ω_1 = 109.2 ω_2 = 24.8



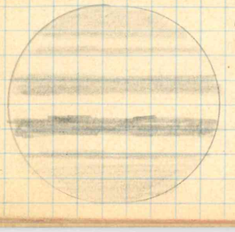
Al bordo p.: M.R.
ancora più debole
molto velata

16.VIII. 21h15 Imm. 4 rifl. 25/18 183x
ω_1 = 221.2 ω_2 = 129.6



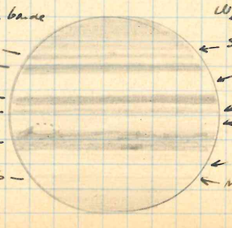
Transito dett. scarso NEB$_S$ ω_1 = 221.2
per il resto bande regolari molto chiare

2.VIII.60 22h00 ♃ 2-3 rifl. 15 125x 150x
ω_1 = 342.3
ω_2 = 233.9



Bande regolari
Om. affievolita

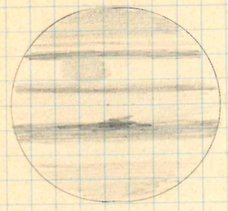
13.VII. 22h00 Imm. 4 rifl. 25(D18) 183x 146x (Oc 25x Barlow)
Imp. bande
ω_1 = 280.1 ω_2 = 87.7



20.VIII.1960 21h10 Imm. 6 rifl. 15 150×

$\omega_1 = 129.6$ $\omega_2 = 7.4$ (trans. ~ dett. sono NEB)

M.R. poco evidente, grigia
SEB_n più scura



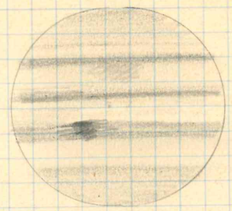
22. VIII. 22h30 Imm. 5-6 rifl. 15 150×

$\omega_1 = 134.0$
$\omega_2 = 356.2$

Transito centro M.R. ~ 22h30

$\omega_2 = 356.2 \pm 5°$

parte scura NEB:
22h15 $\omega_1 = 124.9$
$\omega_2 = 347.2$

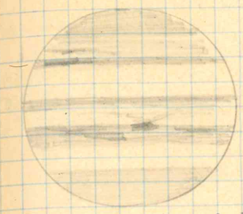


10.IX.60 20h30 I. 3-4 rifl. 15/150×

$\omega_1 = 178.7$ $\omega_2 = 256.7$

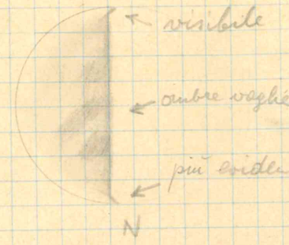
long. dett. scuro NEB (grafico) : $\omega_1 \tilde{=} 186°$

Spost. +7° in 7ᵈ = rot. 9ʰ 51ᵐ 10ˢ.4



Venere 28.I.1961 18h15

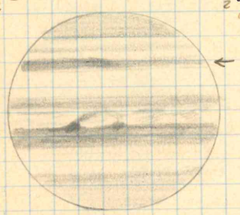
I. 4
rifl. 15
300×



24.VIII. 21h05 I. 4 rifl. 25 183×

$\omega_1 = 34.7$
$\omega_2 = 242.2$

Trans.
2° pen. NEB_S 21h05 $\omega_1 = 37.7$



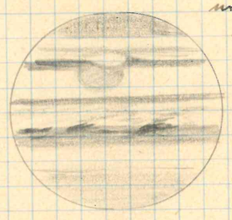
← più scura e prec. forse "sella" di M.C.

25.VIII. 20h05 I. 3-4 rifl. 25 183×

$\omega_1 = 159.0$
$\omega_2 = 359.2$

Transiti:
metà W.O.S. 20h02 $\omega_2 = 357.6$
Grafico: metà M.R. $\omega_2 = 350.0$
pen. prima di NEB 20h37 $\omega_1 = 178.5$

SPR più scura di NPR



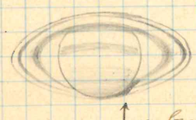
Riassunto presentazione 1960 7

Tel. 15 e 25 cm. oss. visuali

dal 14.III.1960 / al 10.IX.1960 } 5 mesi ≷ 20 disegni. Media immagini { n/ 4,5 / Flamm. 4,5

Ingrandimenti: 125× 150× 183× Totale transiti: 18

25.VIII. 21h00 I. 3-4 rifl. 25 183×
rifl. 18 (Rima) 143×

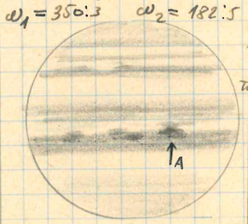


↑ ombra ben visibile

Foto "Echo II" 25.VIII.60 (Dacora Diginette) 21h35 (2ᵐ) - 21h37 (3ᵐ) - 21h40 (3ᵐ) f/2,8

26.VIII. 21h00 I. 5 rifl. 25/18 183×

$\omega_1 = 350.3$ $\omega_2 = 182.5$



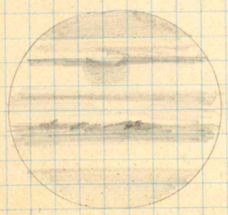
↑ A

Aspetto regolare senza dett. (cattive imm.)
Trans. "A" 21h40 $\omega_1 = 14.7$
sella STB (graf.) $\omega_2 = 164°$

Foto "Echo II" 26 VIII.
21h12 (2ᵐ) - 21h14 (2ᵐ) - 21h16 (4ᵐ) f/21h20

27.VIII. 21h30 Im. 6 rifl. 25/18 183×

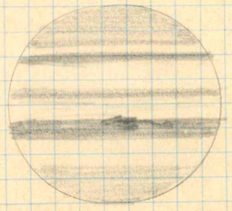
$\omega_1 = 166.4$ $\omega_2 = 350.8$



M.R. difficile, ovale, grigia.

3.IX 21h00 Im. 5-6 rifl. 18 143×

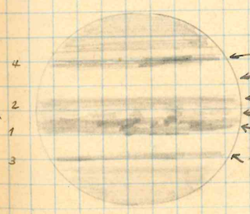
$\omega_1 = 172.6$ $\omega_2 = 303.9$



Trans. dett. scuro NEB_S
21h10 $\omega_1 = 178.7$

17.III.1961 - 6h20 - Imm. 6 rifl 25/20 183×

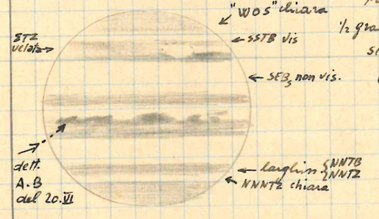
$\omega_1 = 157.6$ $\omega_2 = 235.7$



← visibile
← chiara, libera
← regolare
← sottilissima, velata
← più stretta de inizio
← ben visibile

16.VI.61 4h00 Imm 4.5 rifl. 25/20 183× - V.i.s. fino alle 4h40 (03 sg. 5.36) (detto) ½

Transiti:
½ grande onda NEB_S 4.03 $\omega_1 = 33.5$
sella STB (molto) 4.32 ± 1 $\omega_2 = 165.3$
(grafico $\omega_2 = 167$)



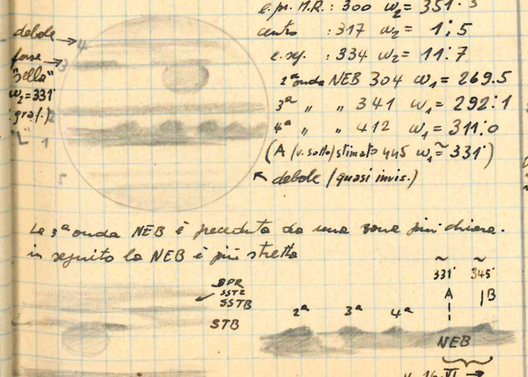
B-C (I)

20.VI. 3h00 Imm 5(6) rifl 25/20 183× (4h00 Imm. 4)

M.R. assai cupo - SEB_S/NEB bruno ocra - NNTB/NPR grigio verde SPR grigio-bruno-ocra

$\omega_1 = 267.1$ $\omega_2 = 351.3$

Transiti:
c.p. M.R.: 300 $\omega_2 = 351.3$
centro: 317 $\omega_2 = 1.5$
c.sg.: 334 $\omega_2 = 11.7$
1ª onda NEB 304 $\omega_1 = 269.5$
3ª " " 341 $\omega_1 = 292.1$
4ª " " 412 $\omega_1 = 311.0$
(A (v. sotto) stimato 445 $\omega_1 \tilde{=} 331$)

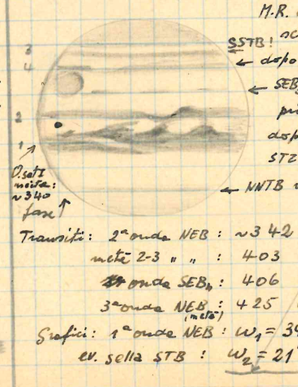


Le 3ª onda NEB è preceduta da una zona più chiara. In seguito la NEB è più stretta

25.VI. 3h30 Imm 2-3 rifl. 25/183× (4h TS Imm. 5)

$\omega_1 = 355.5$ $\omega_2 = 41.4$

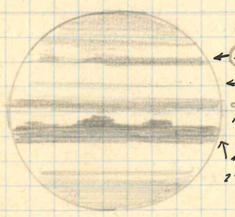
M.R. evidente; bordo seg. più scuro verso sud.
SSTB! ← dopo M.R. sella? $\omega_2 \tilde{=} 16°$ (graf.)
← SEB_S! tracce
prima M.R.: STB-SSTB più distanti
dopo M.R. STB più debole SSTB
STZ bgr. velata
← NNTB vis. come limite più scuro NPR



Transiti: 2ª onda NEB: ν 342 $\omega_1 = 2°.8$
metà 2-3 " " : 403 $\omega_1 = 15.6$
2ª onda SEB_S: 406 $\omega_1 = 17.4$ $\omega_2 = 63.1$
3ª onda NEB (metà): 425 $\omega_1 = 29.1$ Sat.: inizio: 431 fine: 425
Grafici: 1ª onda NEB: $\omega_1 = 345°$ (8" v. 20.VI) ultimo c. 434
ev. sella STB: $\omega_2 = 21°$

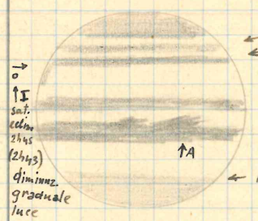
3.VIII.1961 3h50 J.4 molto caliginoso riff.25/183×

$\omega_1 = 192{:}0$ $\omega_2 = 176{:}7$



10.VII.61 2h15 J.6-7 (vento leg.) riff 25/10 183×

$\omega_1 = 160{:}2$ $\omega_2 = 92°.0$

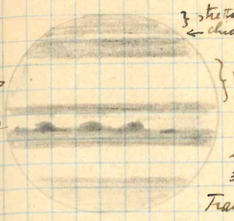


Osserv. di dett. impossibile.

(A: trans. stimato 2h56 $\omega_2 \simeq 185°$)
(graf.: $\omega_2 = 184°$)

27.VII.1961 0h30 Tel.25/183× J.2.3

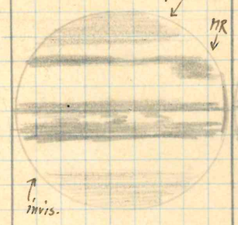
$\omega_1 = 299{:}5$ $\omega_2 = 101{:}7$



(grafiche: non v/c.!)
1ª onda NEB $\omega_3 = 260°$
2ª " $\omega_3 = 288°$
3ª " $\omega_3 = 313°$
Trans. ~ 0h50 $\omega_4 = 312°$

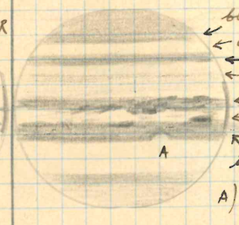
2.VIII. 22h30 J.6-7
riff. 25/10 183×

$\omega_1 = 215.9$ $\omega_2 = 325{:}7$ forse WOS



4.VIII. 21h30 J.3 riff.25/10 183×

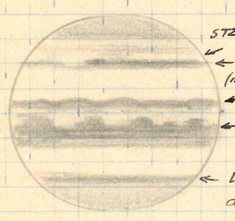
$\omega_1 = 135{:}3$ $\omega_2 = 230{:}2$



A) $\omega_2 \simeq 250°$ (graf.)

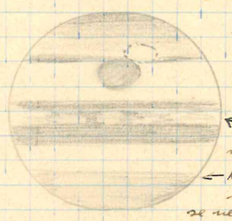
15.VIII. 23h20 Imm.5 riff 25/10 183×

$\omega_1 = 281{:}8$ $\omega_2 = 168{:}7$



17.VII 0h30 Imm.5 riff. 25/10 183×

$\omega_1 = 122{:}5$ $\omega_2 = 1°.4$

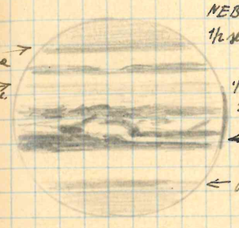


Transiti:
inizio M.R. 24h14 $\omega_2 = 351{:}8$
centro " 24h31,5 $\omega_2 = 2°,3$
fine " 24h49 $\omega_2 = 12.8$
centro WOS 24h43m $\omega_2 \simeq 9.2$ FA=H
(dopo M.R. STB invisib. per 20°)

Colori: SEB$_N$ – NEB nocciola
M.R. rosa carico
varie onde e pennecchi non precisabili
2 SEB$_S$ tr.
NNTB come >STB/ non vis. per imm. cattive. Le M.R. evidentissime dai transiti analoghi con J.6

4.VIII. 23h30 J. 1-2 ! riff. 25 183× 305×

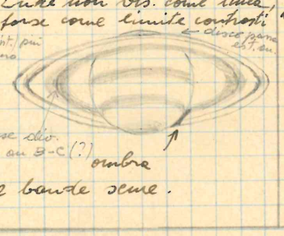
$\omega_1 = 208{:}5$ $\omega_2 = 302{:}7$



Transiti:
metà 1° dett/ scuro
NEB 22h50 $\omega_4 = 184°.1$
½ sella STB (E/L):
23h26 $\omega_2 = 297{:}3$
½ 2° parasit. NEB$_S$
23h43 $\omega_1 = 216{:}4$
← dett. interessanti (NEB doppia ecc.)
← parte più scura

4.VIII.61 23h00 J.1-2

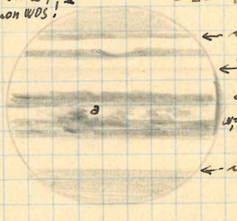
Enke non vis. come linea, forse come limite contrasto



2 bande scure.

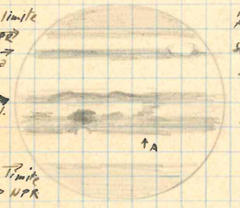
9.VIII. 22h20 riff. 25 183×
J. 3-4 (L)

$\omega_1 = 235{:}8$ $\omega_2 = 292{:}3$ Trans. sella STB 2221 $\omega_2 = 293°$
"Sella" non WOS!



18.VII. 23h30 Imm. 3-4 riff. 25 183×

$\omega_1 = 42°.0$ $\omega_2 = 265°.9$

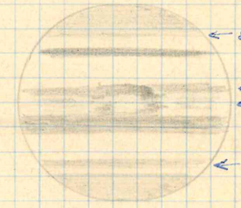


Transiti:
A 24h10 $\omega_1 = 66{:}4$
sella STB (DE=L)
24h44 $\omega_2 = 310{:}6$

nodulo chiaro NEB$_4$:
$\lambda_2 \simeq 243°$ (graf.)
$\pm 10°$

20.VII 23h30 J. 6 riff. 15 225

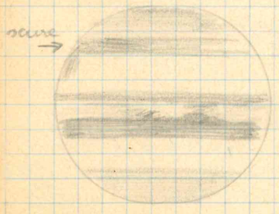
$\omega_1 = 358.1$ $\omega_2 = 206.8$



Oss affrettata

24.VII. 23h30 Imm 6.7 riff. 25/10 183×

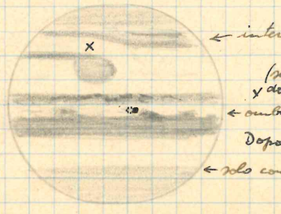
$\omega_1 = 270{:}3$ $\omega_2 = 88{:}4$



Nessun dettaglio osservabile (forte turb. in alto. $t_0 = 1'',1$) ($t_{\frac{1}{2}} = 2''$)

26.VII 23h00 Imm. 4 riff. 25 183×

$\omega_1 = 208.0$ $\omega_2 = 11.1$

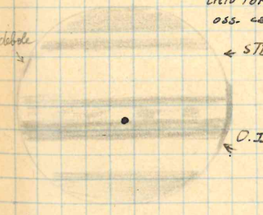


Transiti:
C.M. M.R 22h30 $\omega_2 = 353{:}0$
centro 22h44 $\omega_2 = 1{:}5$
C. Sg. MR 22h59 $\omega_2 = 10{:}5$
(sembra più cattiva che in precedenza!)
y dovrebbe esserci una WOS: invisibile!

Dopo M.R.: STB invis.!
← solo come limite non partic. scuro

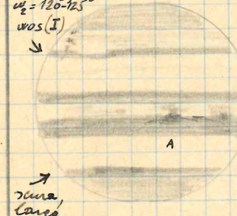
15.VIII. 21h30 J.6 schiar. → sopra

$\omega_1 = 73°.1$ $\omega_2 = 84°.1$



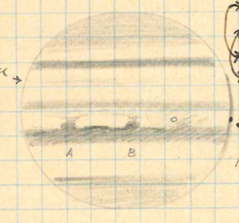
18.VIII. 21h00 J.4-5 riff. 25/183

$\omega_1 = 168{:}7$ $\omega_2 = 157°$



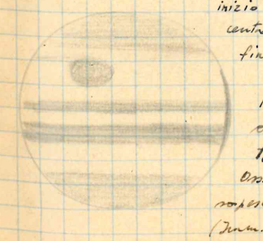
22h20 J.4-5

$\omega_1 = 217{:}5$ $\omega_2 = 205.4$ Transiti:



22.VIII. 20h30 J.6.7 riff. 25/10 183×

$\omega_1 = 62{:}3$ $\omega_2 = 20{:}2$



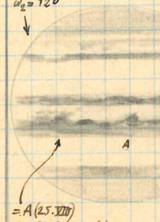
Long. graf. M.R.: (m+1°)
inizio $\omega_2 = 353°$
centro $\omega_2 = 3°$
fine $\omega_2 = 13°$

Nessun dett. con. (foro $t_0 > 2''$)
Oss. malsicure, sospese alle 21h30
(Imm. 6-7 → 8 vento alto)

23.VIII. 20h15 J.(E)4 riff. 25 183×

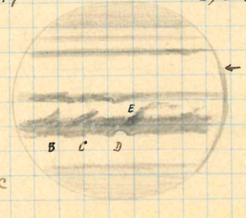
$\omega_1 = 211{:}1$ $\omega_2 = 161.4$

Trans.: A) 20.31 $\omega_1 = 220{:}3$; B) $\omega_1 \simeq 247°$ (graf.); C) 21.52 $\omega_1 = 270{:}2$
B) 22.30 $\omega_2 = 242{:}9$ E) 22.32 $\omega_4 = 294{:}6$



22h30 J.3

$\omega_1 = 293{:}4$ $\omega_2 = 242.9$

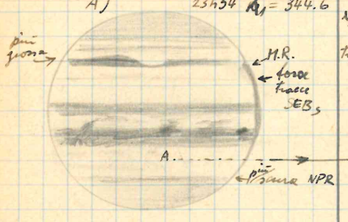


23. VIII. 1961 23h45 J.3-4 rifl 25

$\omega_1 = 339{:}1$ $\omega_2 = 288{:}3$ "L"

Transito: centro WOS 23h43 $\lambda_2 = 287{:}1$ — 23h54 $\lambda_1 = 344{:}6$

A)



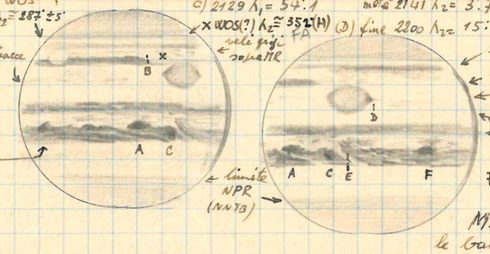
24. VIII. 20h50 J.5)4 rifl 25 183x — 21h55 J.4

$\omega_1 = 30{:}3$ $\omega_2 = 332{:}9$ — $\omega_1 = 70{:}0$ $\omega_2 = 12{:}1$

Trans.: A) 2101 $\lambda_1 = 37{:}0$ — B) 2110 $\lambda_1 = 344{:}9$ — M.R. inizio 2124 $\lambda_2 = 353{:}4$ — E) 2150 $\lambda_1 = 67{:}0$

C) 2129 $\lambda_1 = 54{:}1$ — metà 2141 $\lambda_2 = 3{:}7$ — $\lambda_2 = 9{:}1$

(D) fine 2200 $\lambda_2 = 15{:}2$



SSTB sinuosa, legge STB inoltre !

M.R. estremità a punta, più scura (specialmente nella sfg.)

dettagli tracce e veli leggeri (SEB)

F (graf.) $\lambda_1 = 105° \pm 5°$

M.R. color rosa intenso le bande: marrone-ocra

31. VIII. 1961 22h20 J.3-4 rifl. 25/183x (calig.)

$\omega_1 = 110{:}7$

$\omega_2 = 359{:}4$

Trans.: B) 2211 $\lambda_1 = 105{:}2$

e.p. MR 2212 $\lambda_2 = 354{:}6$ C) 2230 $\lambda_1 = 116{:}8$

centro MR. 2228 $\lambda_2 = 4{:}2$? forse 5°.5 (metà ca 43)

e. o. MR. 2248 $\lambda_2 = 16{:}3$

(M.R visibile più corta di rifl 25 per imm. peggiori: calig.)

veli debolissimi (all'limite vis)

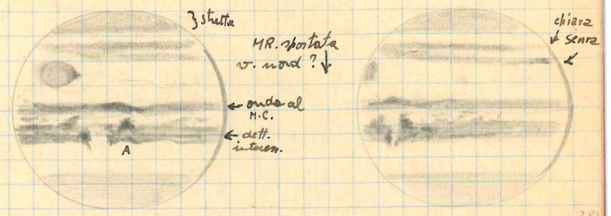
centro WOS $\lambda_2 = 343°$ (graf.)

15. IX. 20h50 J.3 rifl: 25/183x — 22h00 J. 4 V

$\omega_1 = 264{:}0$ Trans. A 2057 $\lambda_1 = 268{:}3$ — $\omega_1 = 306{:}7$

$\omega_2 = 38{:}8$ — $\omega_2 = 81{:}1$

e.o. M.R $\lambda_2 \cong 76.8$ (graf.) : mett. apparentisa è più scura



38

25. VIII 20h00 J.5.6 rifrazione rifl 25

$\omega_1 = 157{:}8$

$\omega_2 = 92{:}9$

Transiti: centro WOS 2034 $\lambda_2 = 118.4$

A) 2036 $\lambda_1 = 179.8$; inizio NNTB 2038 $\lambda_2 = 115.8$ - C) 2140 $\lambda_1 = 268{:}8$

B) 2050 $\lambda_2 = 123{:}2$

21h00 $\omega_1 = 194{:}4$ J.3-4 — $\omega_2 = 129{:}2$

22h00 J.2 rifl. 25 - 183 x

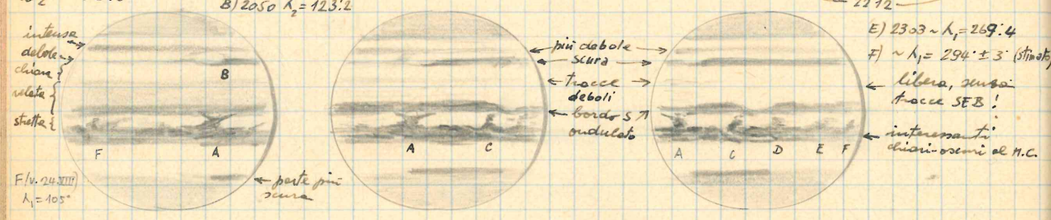
$\omega_1 = 231.0$ $\omega_2 = 165.5$ ("½ sella EB)

D) fine tratto scuro NNTB 2217 $\lambda_1 = 244.4$ • $\lambda_2 = 172.7$

— 2212 —

E) 2303 ~ $\lambda_1 = 269{:}4$

F) ~ $\lambda_1 = 294° \pm 3°$ (sfumata)



16. IX. 2100 J. 3 rifl 25 183x

$\omega_1 = 68{:}0$

$\omega_2 = 195{:}1$

Trans A) 2110 $\lambda_1 = 74{:}4$

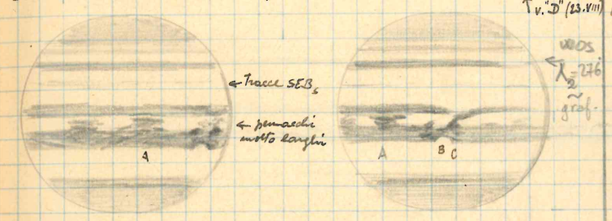
C) 2208 $\lambda_1 = 109.5$

2200 J. 3

$\omega_1 = 104{:}6$

$\omega_2 = 231{:}4$ (Trans. B)

v. "D" (23.VIII)



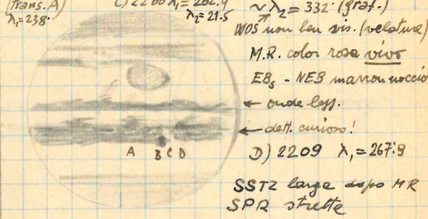
17. IX. 21h20 J.4 rifl 25 183. Transiti:

$\omega_1 = 238{:}0$ e.p. MR 2118 $\lambda_2 = 355.2$; centro MR 2136 $\lambda_2 = 7{:}0$

$\omega_2 = 357{:}4$ e.o. MR 2155 $\lambda_2 = 18{:}5$; B 2154 $\lambda_2 = 258{:}7$

(trans. A) $\lambda_1 = 238°$ C) 2200 $\lambda_1 = 262.4$ $\lambda_2 = 21.5$ $\sim\lambda_2 = 332°$ (graf.) $\lambda_2 = 17{:}9$

WOS non bene vis. (velature)



D) 2209 $\lambda_1 = 267{:}9$

SSTZ larga dopo MR

SPR sfuma

26. VIII 22h40 J.5 rifl. 15 - 183x

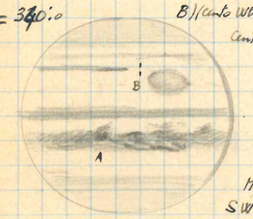
$\omega_1 = 53{:}3$ $\omega_2 = 340{:}0$

Transiti A) 2211 $\lambda_1 = 37{:}3$ = A (24. VIII)

B) (centro WOS ?) 2252 $\lambda_2 = 347{:}2$

Centro M.R. 2322 $\lambda_2 = 5,4$

↑ ? Controllare !



STB prima d. M.R.: sfuma e larga.

M.R. : ora inclinata SW - NE; colore rosa corico

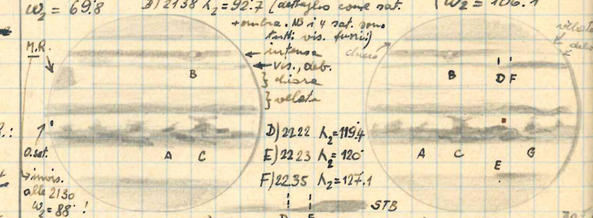
27. VIII. 21h00 J.4 rifl. 25 183x — 22h00 J. 3-4

$\omega_1 = 150{:}2$ — $\omega_1 = 186{:}8$

$\omega_2 = 69{:}8$ — $\omega_2 = 106.1$

Trans.: A) 2118 $\lambda_1 = 161.2$; C) 2150 $\lambda_1 = 186.7$

B) 2138 $\lambda_2 = 92.7$ (attacco come nat. + ombra. NO i 4 nat. sono tutti vis. tranne)



D) 2222 $\lambda_2 = 119.4$

E) 2223 $\lambda_2 = 120°$

F) 22.35 $\lambda_2 = 127{:}1$

STB

G) 2254 $\lambda_1 = 219{:}7$ (= C 25. VIII)

32 bis

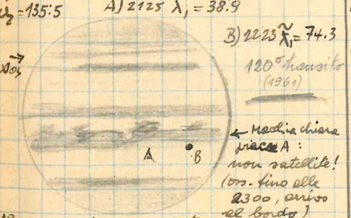
18. IX. 2100 J.5 rifl 25 /183x

$\omega_1 = 23{:}7$ (Trans. macchia chiara NEB$_S$)

$\omega_2 = 135{:}5$ A) 2125 $\lambda_1 = 38{:}9$

B) 2225 $\lambda_1 = 74.3$

120° transito (1961)



NB 1 solo sat. vis. a destra

20. IX. 19h50 J.4 Trans. (Rossero)

$\omega_1 = 296{:}6$

$\omega_2 = 33{:}6$

(c. M.R. 1913 $\lambda_2 = 11.2$) esp. inverito di λ_2 !

A) 2005 $\lambda_1 = 303°$ B) 2042 $\lambda_2 = 65°$ (= B 23. VIII)

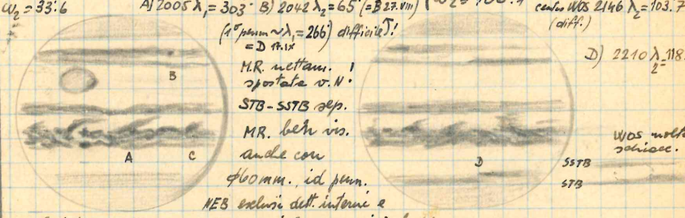
(1° passaggio $\sim\lambda_1 = 266°$) = D 19.IX) diffidente !

21450 J.5

$\omega_1 = 9{:}8$ — C) 2106 $\lambda_1 = 340.2$

$\omega_2 = 106{:}1$ — centro WOS 2146 $\lambda_2 = 103.7$ (diff.)

D) 2210 $\lambda_2 = 118{:}2$



29. VIII. 20h00 J.3-4 rifl. 25 - 183x — 21h30 J.3

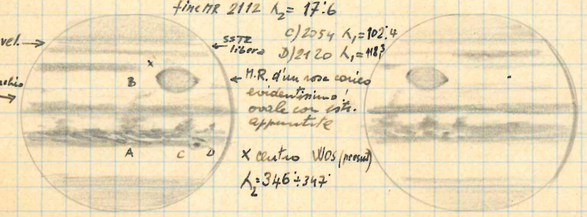
$\omega_1 = 69{:}5$ Trans. A) 2005 $\lambda_1 = 72.5$; B) 2008 $\lambda_2 = 338{:}9$ — $\omega_1 = 124{:}4$

$\omega_2 = 334{:}1$ inizio MR 2030 $\lambda_2 = 352{:}2$; C. MR 2050 $\lambda_2 = 4°.3$ — $\omega_2 = 28{:}5$

fine MR 2112 $\lambda_2 = 17{:}6$

C) 2054 $\lambda_1 = 102.4$

D) 2120 $\lambda_1 = 118.3$



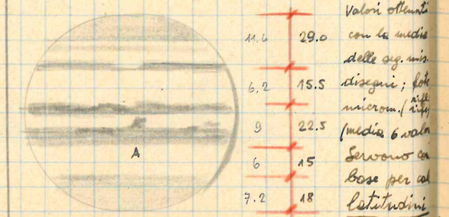
× centro WOS (presunto) $\lambda_2 = 346 \div 347°$

NB: M.R. vis. (diffic.) in rif. 60 mm., bie. con 70 mm.

31. VIII. 20h10 J.5 rifl. 25 183x

$\omega_1 = 31{:}4$ Trans. WOS (centro) 2008 $\lambda_2 = 279.6$

$\omega_2 = 280{:}8$ A) 2013 $\lambda_1 = 33{:}2$



Valori ottenuti con le misure delle sg. misurazioni; foto microm. (media 6 valori)

Servono da base per le latitudini

22 IX. 20h20'35 Rifl 25/70 183x

$\omega_1 = 270{:}6$ (Trans. A) e.p. M.R. 2028 $\lambda_2 = 356{:}9$

$\omega_2 = 352{:}1$ c. M.R. 2045 $\lambda_2 = 7°.2$

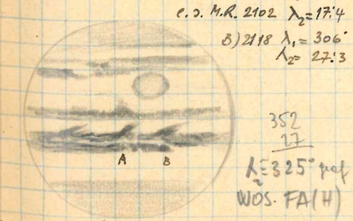
c. o. M.R. 2102 $\lambda_2 = 17{:}4$

B) 2118 $\lambda_1 = 306°$ $\lambda_2 = 27{:}3$

352 / 17

$\lambda_2 = 325°$ graf

WOS. FA(H)

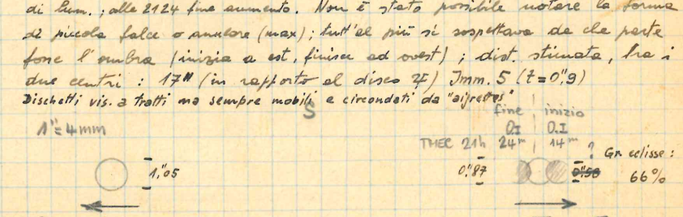


Eclisse sat. II da ombra I : effem.: inizio penombra 2112 ombra 2113 fine o. 2125 pen. 2127

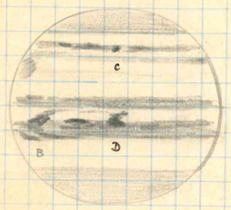
Non si nota nessun effetto penombra, ci si accorge alle 2114 che la lum. di II è diminuita; fase max. alla 2118,5 luminosità molto diminuita; alla 2119 si nota l'aumento di lum.; alla 2124 fine aumento. Non è stata possibile notare la forma di piccola falce o anulare (max); tutt'al più si sospettava che la parte fosse l'ombra (inizio a est, finisce ad ovest); dist. stimata, fra i due centri: 17M (in rapporto al disco ♃) Imm. 5 (t = 0".9)

Dischetti vis. a tratti ma sempre mobili e circondati da "aigrettes"

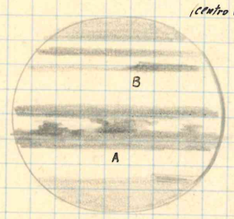
1" = 4 mm



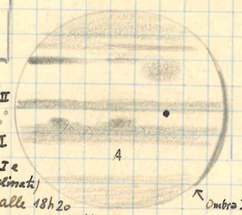
22.IX.1961 22h20 J.4
ω_1 = 343:8 (Trans. D) C) 2219 λ_2 = 64°
ω_2 = 64:6
Tracce SEB$_s$ sfr., debole



25.IX. 20h50 J.4 molto caldo 183×
ω_1 = 42:4 Trans. A (molto) 2048 λ_1 = 41.2 I
ω_2 = 100:8 ~ centro WOS 2055 λ_2 = 103.8!-2?
B) 2109 λ_2 = 112.2 ?!
(centro vero λ_2 ≅ 101.8)!

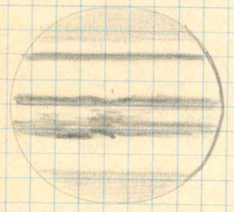


27.IX. 19h10 J.6 velato 25/183×
ω_1 = 297:0 Trans. A) 1915 ~ λ_1 = 300.
ω_2 = 340:8 C.M.R. 1952 λ_2 = 6°.2
E.S.MR 2010 λ_2 = 17:0

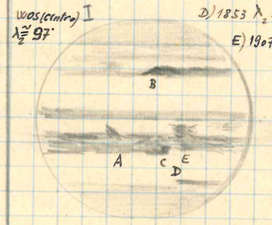


(Sat. I e IV estimati)
NB: alle 18h20 nessun sat. vis.!!

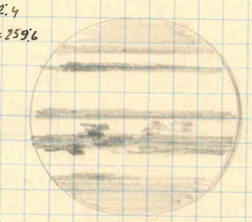
28.IX.1961 20h00 J.5-6 v. rifl. 25 183×
ω_1 = 125:3
ω_2 = 161:1



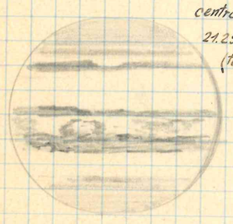
10.X. 18h30 J.5-4 Trans A) 1802 λ_1 = 219.9
ω_1 = 237:0 B) 1830 λ_2 = 108.6
ω_2 = 108:6 C) 1849 λ_2 = 120:0
WOS (centro) I D) 1853 λ_2 = 122.4
$\lambda_2 \cong$ 97. E) 1907 λ_1 = 259.6



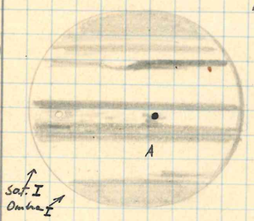
19.40 J.3-4 rifl. 25 183×
ω_1 = 279:7
ω_2 = 150:9



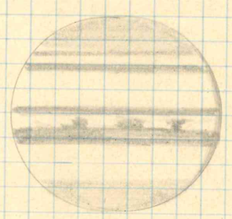
11.X. 18h25 J.3.4 "L"
ω_1 = 31:7 centro WOS 1820 λ_2 = 252:7
ω_2 = 255:7 e.s. WOS 1838 λ_2 = 263.5
centro M.R.: 21.29 λ_2 = 6.9
(Tel. 15.150 m) J.6



12.X. 20h00 J.4 centro WOS 1950 ~ λ_2 = 97.3
ω_1 = 247:4 A) 2020 λ_1 = 259:6 I
ω_2 = 103:3 inizio NNTB ~ 2031
λ_2 = 122°



13.X. 18h10 Tem. 4 velato
ω_1 = 338:1
ω_2 = 186:9



Calcolo delle latitudini di Sirio:

$\phi_{pol} = 2.0$

Misurata: distanza dal centro del disco = $y = \text{sen}\, x$; data: lat. centro = φ

Cercate: β (lat. zenocentrica) β'' (lat. zenografica: più usata) (β' angolo fittizio di calcolo)

(1) $\text{tg}\,\beta' = 1.0714\ \text{tg}\,x$ (1/1.07)

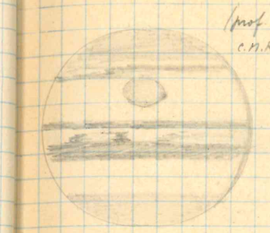
(2) $\text{tg}\,\beta = 0.871157\ \text{tg}\,\beta''$

(3) $\beta'' = \beta' + 1.0714\,\varphi$

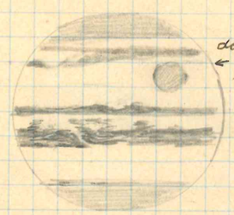
14.X.1961 19h00 J.4-5 rifl. 25 183×
ω_1 = 166:3 Trans. centro MR 1859 λ_2 = 6.7
ω_2 = 7.3 e.s. MR 1918 λ_2 = 18.5

(Prof. Rozzero: C.M.R. 1904 λ_2 3.7)

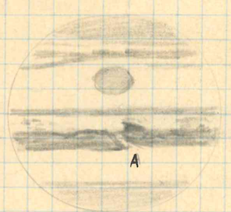
Oss. con Dall'Ara (Trans. C.M.R.: 1868), alla elett. conferm.



21.X. 19h00 J.4 limp. (contrasti buoni)
ω_1 = 190:5 e.p.m.M.R 19h34 λ_2 = 358:6
ω_2 = 338:1 e.M.R. 1950,5 λ_2 = 8°.6
M.R. colore netto, rosa vivo | e.s. 2012 λ_2 = 21.6

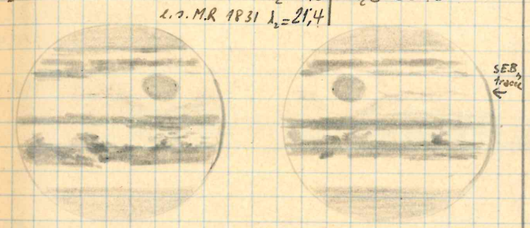


24.X. 17.25 J.5-6 (contr. buoni)
ω_1 = 245:8 centro M.R. 1723 λ_2 = 9.8 (?) ≅ 1°
ω_2 = 11:0 e.s. " 1742 λ_2 = 21.2
A) 1745 λ_1 = 258°



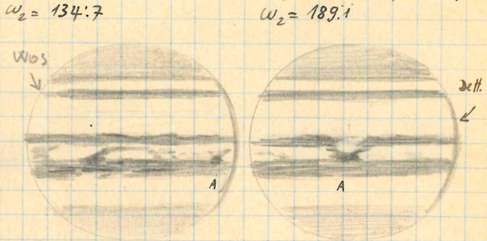
31.X. 17h30 J.5-6 rifl. 25 183×
ω_1 = 272:8
ω_2 = 344:6 C. MR 1811 λ_2 = 9.3
e.s. M.R 1831 λ_2 = 21.4

18450 J.5
ω_1 = 321:6
ω_2 = 32:9



1.XI.61 17h30 J.4
ω_1 = 70:5
ω_2 = 134:7

19h00 J.3-4
ω_1 = 125:4 A) 1853 ~ λ_1 = 121.1
ω_2 = 189:1



Riassunto presentazione 1961 ♃. Telesc. 25 cm (visuale) rifr. 15 (foto)

dal 17.III.1961 al 1.XI.1961 } 7½ mesi ≅ 61 disegni - Media imm. n/ 4,4 ; Fl. 4,6

Ingr. 183× - Totale transiti d'M.C.: ~ 160 τ = 0".7 $t_0 = \frac{0".7}{2.36}$ = 0",3

Fotografie al riflettore D 15 cm: $f_{ris.}$ 28 m. : 19 fotogrammi pos. migliore 5^s-10^s

Film Typon FRP (18/10 DIN) sviluppo M. Hyqu. f_{ris} 10,30 m. : 50 " " " 3^s-4^s (ris. migliori)

f_{ris} = 28 m : tavolo proiezione + oc. 40 mm - f_{ris} = 10.30 m : oc. 40 mm + camera senza ottica, tiraggio ~ 20 cm

Oss. cometa Seki-Lines: (da Locarno-Soldano)

11 aprile 1962: ad occhio nudo e col binocolo 7×50 condensaz. testa non partic. brillante (4ª m), coda di ~ 10° ⊾ all'orizz. nord-ovest.

Posiz. rip. su carta Meyer AR = 2h28m δ = +16° Ariete

1. VIII. 1962 - 2h45 TMEC Jmm. 2-3 183x C=1-2 — 4h10 Jm. 2-3
ω_1 = 48:9 ω_2 = 267:9 rifl. 250 — ω_1 = 100:8 ω_2 = 319:2

centro WOS (stimato) 2h40 ω_2 = 265°.0 (B-C ?)

T = 3.5 5 6 2.5-3 5.5-6 5.5-6 2 3 2.5 — 15.0 13.0 5.5 14.0 15.5 20.5 (Fo) A 18.5 18.0 (2 100) stima 3h40

A) 3 00 ω_1 = 58:0 ω_2 = 276:9
← lin. vis. regol.
← intensa
← debole, vis.
} fascia color nocciola-rossastro parte più chiara dello stesso colore
← debole, vis.

SSTB più deb. — M.R. — quasi non visib.

Centro M.R. stimato a λ_2 = 10÷15° (colore nett. rosso intr.)

5. VIII. 62 24h00 J. 5 C 1-6
ω_1 = 18:5 ω_2 = 200:.1 rifl 250 183x

← colore più freddo di
← marron rossastro vago; dett. più chiari, stesa più fra.

4. X. 1962 22h00 TMEC Jmm. 2-3 183x C=1-2
ω_1 = 65:6 ω_2 = 150:.2

T — T ← 3 ← 3 ← 5 ← 2.5 ← 5.5 ← 5 ← 4.5 ← 3.5/3 ← 2.5

5. X. 22h30 Jmm 2-3 C3-4 — 24h04 J. 4 C 3
ω_1 = 241:8 ω_2 = 318.6 — ω_1 = 299:1 ω_2 = 15:4

C. WOS 23h20 $\nu\lambda_2$ = 348.8 (D-E)
e. pr. MR 23h43 $\nu\lambda_2$ = 3:3
c. MR 2404 λ_2 = 15.4
es. MR 8423 λ_2 = 26.8

M.R. scura "zona" STB
← ombra

12. VIII 0h05 J.5 C 1-2 183x
ω_1 = 249:7 ω_2 = 25:5

Centro WOS: (D-E)
0h04 λ_2 = 25°.0
e.p. MR:
0h06 λ_2 = 26:.1
Colori:
M.R. = NEB marron rossastro 5-5.5
SEB$_n$ = " scuro 6
WOS chiara, si vede sul fondo STZ grigiast.

dett. striati in corrisp. banda all'equatore

SRR grigio "caldo" NNTB+NPR grigio nettam. freddo (bluastro)

1h10 J. 2-3
ω_1 = 289.3 ω_2 = 64:.8

WOS centro (stim.) λ_2 102° (F.A)

13. VIII 23h30 J.2 C 2 183x
ω_1 = 184:.6 ω_2 = 305.1 Centro macchia chiara EZ.
23h28 λ_1 = 183.4
B) ν 0h10 $\lambda_1 \cong$ 208:.8

Impossibile rendere nel dis. l'aspetto dei delicati dett. E.Z.

10. X 21h00 TMEC Jmm 3 C 2 — 22h00 J.4 C 1-2
ϕ 25 183x
ω_1 = 256:.4 ω_2 = 295.6 — ω_1 = 293:0 ω_2 = 331.9

2.5-3 8 4-3 5-6 3-3.5 large → color grigio-blu 2.5 ↑ — MR color rosa netto anche al bordo ← color bruno-rosso — MPR stretto

18. X 18h00 J.4-5 — 19h48 Jmm. 3-4 ω_1 = 35:.7
ω_1 = 329:.8 ω_2 = 308:.8
e.p. MR. 1930 λ_2 = 5:.2 ; c. MR. 1949 λ_2 = 14:.7
e.s. M.R 2007 λ_2 = 25:.5
c. WOS 20h40 λ_2 = 45:.4 (molto chiara)
(FA)

14. VIII 1h30 J.2-3 C2 . Transiti:
ω_1 = 257:.8 ω_2 = 17:.6
e.p. MR 1h05 λ_2 = 2:.5
c. MR 1h23 λ_2 = 13:.4
e.p. MR 1h42 λ_2 = 24:.8
c. WOS 1h40 λ_2 = 23:.6
dett. NNTB 1h44 λ_2 = 26:.0

- Foto -
3 4.5 6 3 5.5 6.5 3.5 3 — (D-E)

} dett. striati — color nocciola bordi più scuri
M.R. nettam. rossa in contr. con nocciola
STB marron freddo
NNTB grigio bluastro

Dett. scuro EZ. 206 λ_2 = 279.8

Rilievo fotogrammi 14.8.62 per calcolo latitudini
ω_1 = 200-250 ω_2 = 320-10° y = (fot.) (ϕ pol = 20°)

	foto	viz.	y (vis.)
	14.8.62	1.8.62	
	15.7	16.5	
	9.8	9.0	
	16.0	17.5	49.6 68.8
	21.8	21.0	94.6 27.6
	16.3	18.0	63.6
	20.4	18.0	
	± 100.0		

mets STB 68.8 — 48.0 — 16.8 — 26.4 — 58.6 — mets NNTB — D=200

media misure su 7 ingr. su carta (8.7x) (ϕ pol. 20 mm.)

23.X ~17h43 TMEC Jm. 4-5 C 2 — 19h47 J.3-4 C1-2 — 21h10 J.5-6 C 1 — 24.X 20h30 TMEC J. 2-3 C 3 (21h30 C 2)
$\omega_1 \cong$ 28:.6 — centro WOS 19h47 λ_2 = 44:.6 — ω_2 = 154:.8 — ω_1 = 288:.4 — fine tronco NTB(?)
$\omega_2 \cong$ 329:.7 ? (Trans. centro WOS)? (DE) — ω_1 = 104:.3 (chiara) (FA) — ω_2 = 94:.7 — ω_2 = 220:.7 — 20h53 λ_2 = 234.6
stimato

misurati:
centro WOS (B-C) λ_2 = 190° (= cond SEB$_s$)
testa pert. -1/2
color bruno-giallo

3.5 → ← 3 ← 3 ← 6 ← 2 — 5 / 5.5 — ← 2.5/3 ← 2.5

18. VIII 23h20 J.6 C1 183x
ω_1 = 248:.6 ω_2 = 331. 2

STB molto larga ← MR

28. VIII. 23h30 J.2-3 C2 — rifl. 250 183x
ω_1 = 35:.1 ω_2 = 41:.2

M.R. sopra STB
3 — 3.5 4.5 — 5/4.5 — STB meno scura — 2.5-3 SEB$_s$ più netta — 6.5/6 — 5.5 — 1.5 — 3 — 2 — 3.5
} chiarezze bellini-i color marrone-crema
MR bordo sp. più scuro, color rosa carico.
T = 5-5.5

MR λ_2 = 15.7 (mezzo)

24h40 J.2-3 C1
ω_1 = 77:.8 ω_2 = 83:.5 (centro WOS) (F.A)

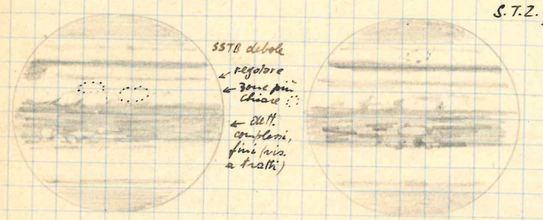
WOS nettam. contrastata, chiara su fondo scuro

3.XI. 62 17h40 TMEC Jmm 5-6 C 2-3 — 19h10 Jm. 3
ω_1 = 322.9 testa perturb. 1743 λ_2 = 181:.7 — ω_1 =
ω_2 = 179:.9 inizio NTB(?) 1751 λ_2 = 186:.5 — ω_2 = 234:.3
c. WOS (B-C) 18 15 $\lambda_2 \cong$ 201

5. XII 17h15 TMEC Jmm. 4-6 C 1 — 20h00 J. 6-7 C=0
ω_1 = 315.5 Trans. WOS (DE) — ω_1 = 56:.1
ω_2 = 288:.5 17h45 λ_2 = 306:.6 — ω_2 = 28:.3
~ c. M.R 19h45 non oss. $\lambda_2 \cong$ 18°

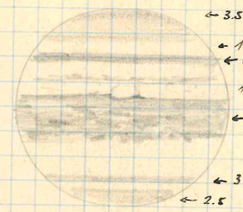
luminosa

6.XII.1962 17h15 Imm 3 C1 — ω_1 = 113:2 — ω_2 = 78:6 — Φ25 183x



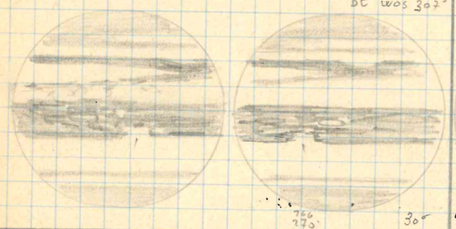
18h15 J.4 C1 — ω_1 = 149:8 — ω_2 = 114:9 (macchia chiara in merid. S.T.Z.)

7.XII. 17h00 J.3 C1 — ω_1 = 261:8 — ω_2 = 219:7 (macchia chiara al mer. SEB$_s$)



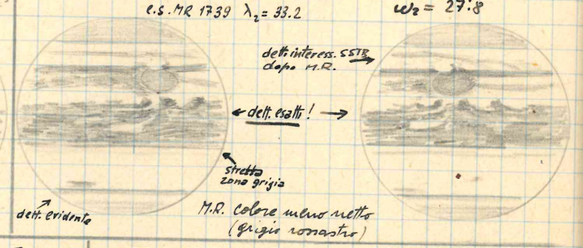
7.XII 18h00 J.4 C1 — ω_1 = 298.4 — ω_2 = 256.0 — Φ25 183x

19h00 J.4 C1 — ω_1 = 335:0 — ω_2 = 292.3 — DT wos 307°



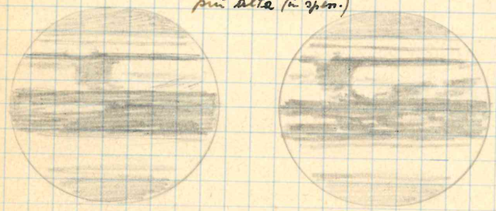
8.XII 16h40 J.2 C3 Φ25 183x/245x — ω_1 = 47:3 — ω_2 = 357:6 — e.p. M.R. 1654 λ_2 = 6:1 ; c. WOS. 1704 λ_2 = 12:1 — c. M.R. 1715 λ_2 = 18:7 — e.s. MR 1739 λ_2 = 33.2 (FA)

17h30 J.3 C1-2 — ω_1 = 77:8 — ω_2 = 27:8



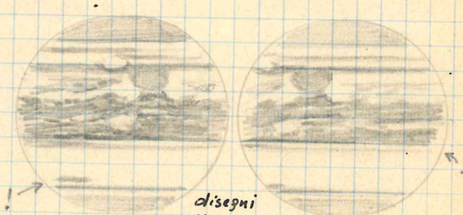
25.XII.1962 16h45 J.5-6 C3 — ω_1 = 211:1 — ω_2 = 31:7 — C.M.R. 1624 λ_2 = 19:0 — M.R. più corta e più alta (in oppos.)

17h20 J.4 C2 — ω_1 = 232:4 — ω_2 = 52.8



27.XII 17h40 Jr.2 C1 — ω_1 = 199.9 (FA) WOS 1738 λ_2 = 6.7 — ω_2 = 4:9

18h30 J.3 C1 — c.M.R. 18h05 λ_2 = 20:0 (esatto a ± 30^s = ± 0:3)



Riassunto presentazione 1962 Tel. 25 cm (vis.) Rifr. 15 cm (foto)

dal 1.8.62 al 27.12.62 (5 mesi) Σ 36 disegni. Media imm. Fl. 5.40 (4/9.7)

Ingr. 183x. Passaggi M.C. Σ 42. Cotes Int. Σ 64. Latitudini 2 stime (x 7)

Foto al rifr. 15 cm. Σ 74 fotogrammi ϕ_{fin} 10.50 m film FCK (Typon) 14 DIN (pose 5-10^s)

1965

Cometa Ikeya-Seki (1965 f) fine ottobre - inizio novembre : nessuna oss. (coperto)

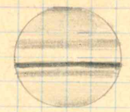
Dal 1963 in avanti : oss. 2f (disegni) su formulari S.A.S. Gr. pl.

(83)

Saturno senza anelli : 1ª oss. 8.XI.1966 anello invisibile (Imm. 4) 244x

26.XII.1966 17h30 TV Imm.5 anello visibile come sottile striscia chiara dalle due parti (0".14) 244x

20.XI.66 anello invis. 244x 458x



24.XI : idem



Nessuna condensazione

16.I.67 17h00 TV : anello ben vis., sottile (0".6)

Cometa Bennett (1969 i) : segnalaz. Luciano 28.III.70. Oss. vis. 29.III 5h15 TMEC da via Frantoni (balcone cucina). Luminosità 1,5 m coda 5°

30.III.70 foto con Edixa + Tessar 45/150 1ª 4h13-4h24 2Ilford FP4 (fissata al rifr. in cupola) 2ª 4h25-4h37 3ª 4h38-4h40 4ª 4h40-4h55 5ª 4h55-5h00 6ª Travenar 2.8/50 5h00-5h10 7ª Zeiss 15/250 + oc. 40 pr. + oc. 50 = 5h32-5h28 diff. resto

3.IV.70 4h45 oss. da Soldano (ris.): luminosità 1,2 m coda 8° - 10° !!! (aumenta invece di dim.)

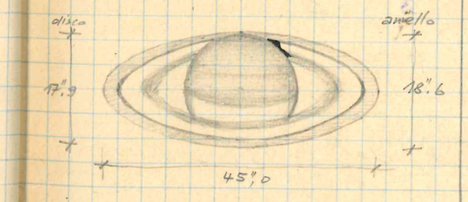
4.IV foto : 1) 0405-0406 rifr. 15/225 2) 408-409 rifr. 3) 412-416 rifr. 4) Travenar 50, fisso, 2^m 5) 433-448 Trav. 50/2,8 6) 4.50-500 Tessar 45/150 - Svil. PQ 1:9 4^m

5.IV foto : 1) 430-445 Trave 2.8/90 2) 4.45-4.55 Trave 2.8/90 (cielo già chiaro) δ = +30°

12.IV " 1) 355-4.15 " " 2) 4.18-4.33 " " " δ = +43°

29.IV 2h30 TMEC oss. da Soldano (vis.): lumin. 4.5 m. coda 5° sottile, diritta.

6.I.1972 17h00 TV Imm.5 Bi 280x - 244x



1ª oss. cometa **Halley** alla Specola m_v = 7.8

11.XI.85 : con binocolo 16x50 - " cercatore 90x900 " rifratt. 50x150 " riflett. 50x250 " " vari x500

nei pressi della stella χ (Kappa Tau) doppia

25.XI.85 : invisibile (a una decina di gradi dalla ~Luna Piena) con binocolo, rifratt. 15, riflett. 25

Visibile solo nel 500 (Newton) con 36x, 78x e 140x ; pallidissima nebulosità con condens. centrale di 10^m.

1.XII 20^h TV cercata nel rifr. 15 cm con coord. : trovata subito (a 8^m dal transito al mer.)

+3.XII aspetto : nucleo stellare + larga chioma diffusa Φ 10' oculare 56x - Idem nel (id) telesc. 250, 72x ; molto debole nel cercatore 7x50 (= al binocolo)

Osservata : 10-11-12-XII. Foto 11.XII (Mike Tele 300/4.5)

3-4-6-7-8 genn. ecc. Coda vista per la prima volta il 4.I.86 ~ 1°

9-10 f.to N. Cagnoli, tele 300 ~.

19-29-30 aprile 1986 : " come in gennaio. Ultima oss.: 30 aprile

17.XI.1987 Foto Cometa Bradfield : 066-50 m f/11.8 Kodacolor 200 pose 30^s-1^m-2^m-3^m 19^{h}30-3... TMEC

20. " " " 066-200 - f/4 " " " 4^m-7^m-10^m 19.15-40

Continuazione : v. quaderno grande

Flam 10 9 8 7 6 5 4 3 2 1 0

n/ 1 2 3 4 5 6 7 8

Indice attività empirico

Data	SSTB	STB	SEBs	SEBn	EZ	NEB	NTB	NNTB	Σ
XI. 1952	0	3	3	5	0	8	1	0	20
II. 1955	1	4	3	3	0	8	2	1	22
III. 1956	1	3	4	4	0	7	1	1	21
II. 1957	2	4	1	2	1	6	1	2	19
VI. 1958	1	3	3	3	1	7	1	2	21
VIII. 1959	1	3	1	3	2	8	1	0	19
VII. 1960	1	3	0	2	1	6	0	1	14
VI. 1961	2	3	0	3	1	6	0	1	16
IX. 1962	2	3	1	3	4	6	0	2	21
VI. 1963	1	4	1	3	4	6	0	2	21

8.8.94 Segnalazione telefonica del Gruppo Astrofili di Berzano in campo osservativo nelle Alpi Piemontesi – Francesi oggetto cometario vicino a 1733 molto luminoso che si spostava di ca. 2° in 2⁴ (!) sospetta di coda (oss. fotografiche con tel. + FP 2415)

28. XII. 1960. Bolide 17h21 TMEC a destra falce Lunare M3g4. −8°-10 !
Oss. dalla rotonda Arbedo → sud-ovest. durata 2-3s verticale, consistenza persistente prima rettilinea poi a serpentina ~ 5 min

Qualità immagini : Flammarion

N/	= t	
0		10
1	0".20	9
2	0".25	8
3	0".35	6
4	0".55	5
5	0".9	4
6	1".2	3
7	1".6	2
8	2"→	1

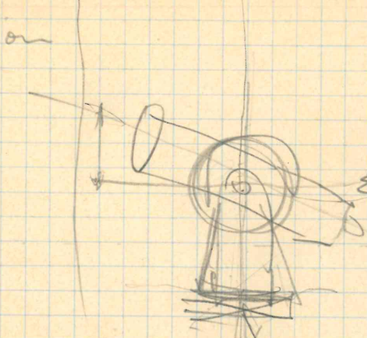
Calcolo imm. media per un lungo periodo

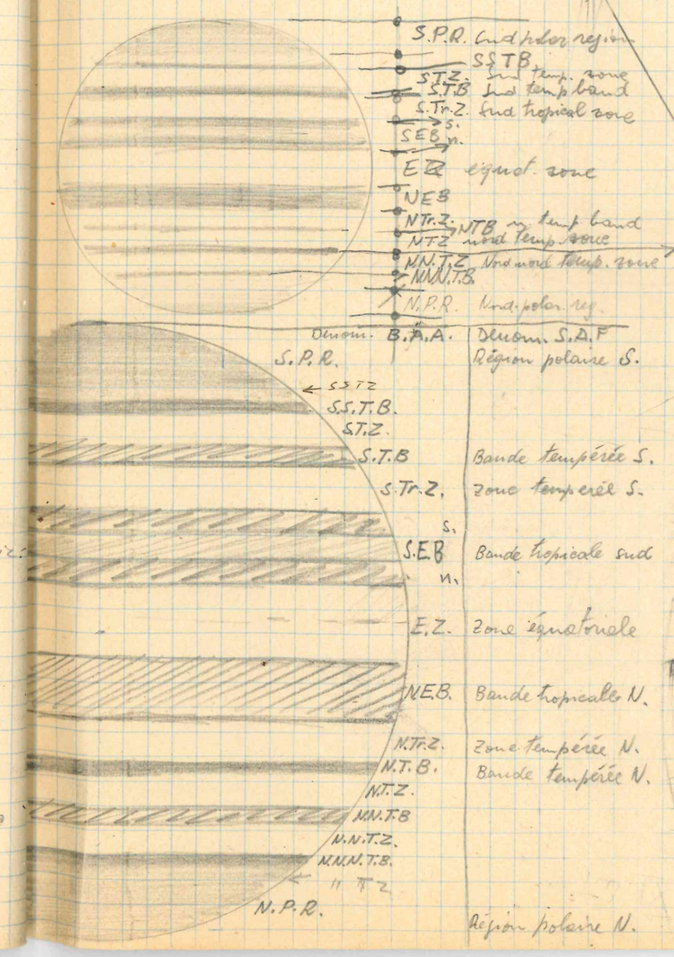
$a \times b = x$
$a' \times b' = x'$
$a^h \times b^h = x^h$

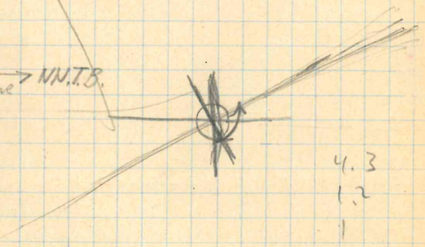
Σa Σx

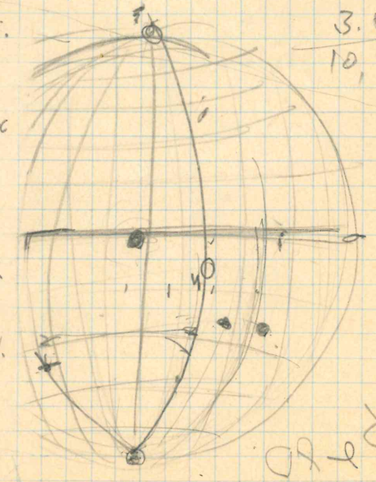
$\text{media} = \frac{\Sigma x}{\Sigma a}$

a = N° sere con imm. b
a' = " qualità imm. b'







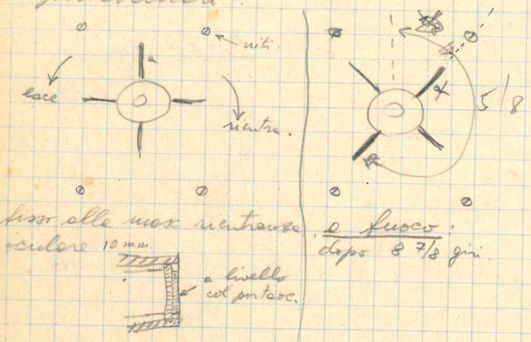


12 Rue Kléberg. Genève
(Café des Arts et Métiers)

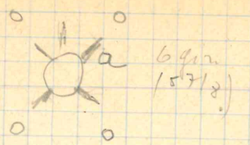
Mimì Sabinda

Fotografie tel. 25 cm

portaoculari:

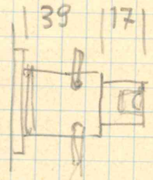


a fuoco:
dopo 8 7/8 giri



376 186
↑ ↑
37,5 19

39 17



15.X.53 Ore 21 N°1 foto istantanea zona sud. Tempo nebbioso + fumo

18.X.53 Ore 22 N°7 foto istantanee varie zone - Brevi schiarite, tempo molto nuvoloso, coperto.

Risultato Nullo: espos troppo breve, ingrand. troppo forte

II° prova 31.X.53. Ore 05[15]; N°3 foto istantanee (nud, centr, nord) + N°1 ~ 1/2 sec (nud) oculare 20 mm. Cielo limpidissimo ma velato.

1.XI.53 Ore 05[15]: N°4 foto ~ 1/2 sec. (id.) Cielo nebbioso

III°: 16.XI.53 Ore 19 - N°3 f. istant. + 1 ~ 1/3 sec.

Locarno-Monti H = 370 m s/m

φ = +46° 10', 378 (384 ✓) E Greenwich 35[m] 09,[s]3 E Parigi 25[m] 48[s]

λ = 8° 47', 33 (35 ✓)

Vernate E Parigi 26[m] 12[s]

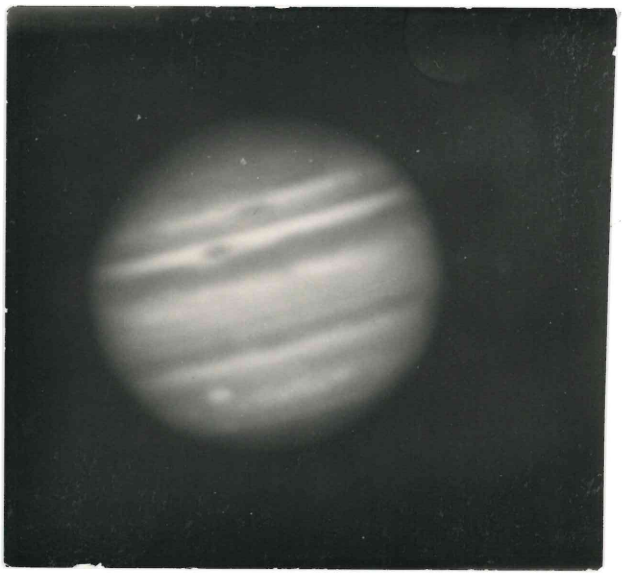
Bellinzona (Jeker)

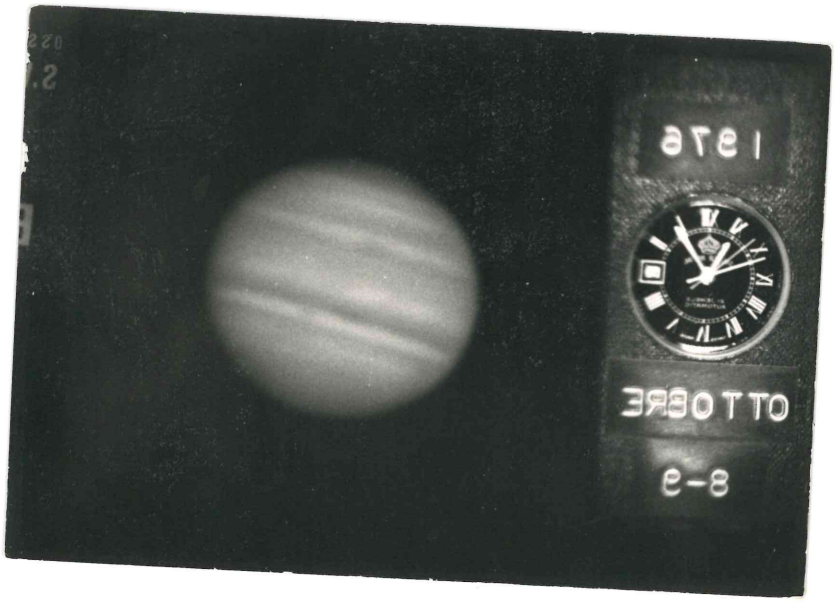
φ = +46° 11', 5

λ = 9° 01', 5 E Greenwich 36[m] 06[s] E Parigi 26[m] 45[s]

NB Controllate con carta 1:25.000 (precis. ± 5")

Coordinate		lat. N. α =	long. E (Parigi) δ =
Morchino (Ing. Antonielli)	calcolate (con astron.)	45° 58' 55"	6° 36' 37",8 (8° 56' 51",3 Greenw.)
	della carta	45° 59' 10"	6° 36' 31",5
Δ Parigi - Greenw. 9^{m}21^s,333 = 2°20'.20"	Δ	~ 15"	Δ 6",3 (8° 57' 40",8 Greenw.)
Via Madonnetta 17	calcolate	46° 00' 25"	6° 37' 27",3
Via Madonnetta 17	della carta	46° 00' 40"	6° 37' 21" Parigi
Diff. Morch. - V. Med.	della carta	+ 1' 30"	+ 49",5





NB Controllate con carta 1:25.000 (precis. ± 5")

Coordinate		lat. N. α =	long. E (Parigi) δ =
Morchino (Ing. Antonelli)	calcolate (con astron.)	45° 58' 55"	6° 36' 37",8 (8° 56' 51",3 Greenw.)
	della carta	45° 59' 10"	6° 36' 31",5
Δ Parigi - Greenw. 9m 21s,333 = 2°20'.20"	Δ	15"	Δ 6",3 (8° 57' 40",8 Greenw.)
Via Madonnetta 17	calcolate	46° 00' 25"	6° 37' 27",3
Via Madonnetta 17	della carta	46° 00' 40"	6° 37' 21" Parigi
Diff. Morch. - V. Mad.	della carta	+ 1' 30"	+ 49",5

1/1

1/1

40